

M A R M A R A Ü N İ V E R S İ T E S İ  
F E N B İ L İ M L E R İ E N S T İ T Ü S Ü

Y ü k s e k L i s a n s T e z i

Yöneten : Doç. Dr. NESRİN TARKAN

Hazırlayan: ÖZGÜL VAYVAY

Tez Konusu: Enerji İletim Hatlarında

Emüktans ve Kapasitans Hesabı

Teslim Tarihi: 4 Haziran 1984

## Ö N S Ö Z

Alternatif akım devrelerinde, devreden alternatif akım geçmesi ile, iletken etrafında olduğu gibi iletken içermesinde değişken alternatif manyetik alan meydana gelir. Bunun sonucunda meydana gelen girdap akımları, eksene yakın yerlerde telden geçen akımın zayıflamasına, tel yüzeyine yakın yerlerde ise kuvetlenmesine neden olurlar. Bundan ötürü akım iletken kesitine düzgün olarak yayılmaz ve yüzeye doğru sıkışır. Bunun neticesi olarakta akımın geçtiği kesit küçülmüş olur.

Alternatif akım devrelerinde tel etrafında oluşan değişken manyetik akımın yine o iletkeni kesmesinden dolayı tel üzerinde özindükleme e.m.k. indüklenir. Bu uzun enerji iletim hatları için oldukça önemlidir. Çünkü özindükleme e.m.k. değeri esas akım değişmelerine karşı koyacak şekilde etkili olacağından, bunun neticesi olarak meydana gelen reaktans dan ötürü hat üzerinde gerilim düşümü meydana gelir.

Yine uzun iletim hatlarında iletkenlerin birbirine yakın seyretmesi, akımın yüksek gerilimli bulunması nedenleri ile bir iletim hattında telin iki ucundaki akımın birbirine eşit olmadığı görülür. Bunun nedeni ise, kaçak akımlar ile, hatlar arasında oluşan kapasitans akımlarıdır.

Enerji iletim hatlarında, gerilim düşümü, enerji kaybının tayin edilebilmesi için hatların yapılına bağlı olan (R,L,C,) sabitelerinin hesaplanması gerekmektedir. Bu sabitelerin değerleri hat malzemesine ve hatların düzenlenmesine

bağlıdır.

Yüksek lisans bitirme tezi olarak hazırlanan bu yapıtta, enerji iletim hatlarında hat sabitelerinin hesabı konusu 3 kısımda manyetik olan, 4 kısımda elektriksel alan, teorik olarak incelenmiş, (L,C) sabitelerinin hesabı hatların Dizayn şekillerine göre etraflıca anlatılmıştır.

Bu tezin enerji iletim sistemleri ile uğraşan tüm teknik elemanlara yararlı olmasını diler, tezin hazırlanmasında beni her bakımdan teşvik eden, bilgi, tecrübe ve desteklerinden yararlandığım değerli Hocam Sayın Doç. Dr. Nesrin Tarkan'a burada teşekkürlerimi sunarım.

25 Mayıs 1984

Özgül KAYVAY

## İ Ç İ N D E K İ L E R

<u>KONU</u>	<u>SAYFA</u>
1- Giriş	1
2- Enerji iletim hatlarında direnç hesabı	1
3- Endüktans	3
3.1- Elektromanyetizma	3
3.1.1-Doğrusal iletkenin alan şiddeti hesabı	10
3.1.2-Biot- Savart formülü	11
3.1.3- Alanların birleştirilmesi	13
3.1.4- Konularını farklı iletkenlerin bileşke alanlarının bulunması	14
3.2- Elektromanyetik endüksiyon	17
3.2.1- Endüksiyon E.M.K. yönü ve değeri	21
3.2.2- Self endüksiyon	25
3.2.3- Alternatif akım devrelerinde endüktans	28
3.2.4- Karşılıklı endüktans	30
3.3- İletim hatlarında endüktans hesabı	33
3.3.1- Üç iletkenli hat	35
3.3.2- Bir fazlı hatlarda endüktans hesabı	38
3.3.3- Simetrik Üç fazlı enerji iletim hattında endüktans hesabı	39
3.3.4- Simetrisiz fakat çaprazlanmış üç fazlı iletim hatlarında endüktans hesabı	43
3.3.5- Simetrik olarak çaprazlanmış çift üç fazlı iletim hatlarında endüktans hesabı	45
3.4- İletkenlerin geometrik ortalama yarı çaplarının bulunması	49
4- Kapasitans	52

4.1-	Elektriksel alan	52
4.2-	Alan şiddeti	56
4.3-	Elektrik akısı ve yoğunluğu	63
4.4-	Gerilim ve Potansiyel	65
4.5-	Gauss teoremi	71
4.6-	İletkenlerde elektrik yükü	76
4.7-	Çizgisel yük kaynağı alanı	80
4.7.1-	Dairesel kesitli bir iletkenin alanı	82
4.7.2-	Eş eksenli iki silindir arasındaki alan	84
4.8-	Kapasite	84
4.8.1-	Küresel kondansatör kapasitesi	87
4.8.2-	Silindir şeklindeki kondansatör kapasitesi	88
4.8.3-	Paralel iki iletkenli hattın kapasitesi	88
4.9-	Yüklerin potansiyele etkisi	91
4.9.1-	Toprak üstünde bir iletkenli hattın potansiyeli	93
4.9.2-	Toprak üstünde üç iletkenli hattın potansiyeli	95
4.10-	İletim hatlarında kapasite hesabı	97
4.10.1-	Kapasite hesaplarında kullanılan bazı terim ve tarifler	97
4.10.2-	Kapasite denklem sistemleri	103
4.10.3-	Bir iletkenli hat sistemi	112
4.10.3.1-	Bir iletkenli hat sistemi	113
4.10.4-	Üç fazlı tek hat sistemi	119
4.10.4.1-	Koruma iletkenli çaprazlanmış sistem	119
4.10.4.2-	Hat sisteminin işletme bakımından durumu	122
4.10.4.3-	Çaprazlanmış üç fazlı hat sistemi	128
4.10.5-	Üç fazlı çift hat sistemleri	133
4.10.6-	Koruma iletkenli hat sistemleri	138
4.10.6.1-	Bir koruma iletkenli tek hat sistemi	138

4.10.6.2- Bir koruma iletkenli çift hat sistemi	144
4.10.6.3- İki koruma iletkenli çift hat sistemi	146
4.10.7- Demet iletkenlerde kapasite hesabı	148
5- Programlar	155
5.1-Örnek hesaplamalar	164
6- Sonuç	174

## 1 - GİRİŞ :

Elektrik şebekelerinin işletilmesi, korunması ve stabilitenin sağlanması için hat parametrelerinin bilinmesi gerekir. Türkiye Elektrik kurumunun 380 kv ve 154 kv'luk enerji iletim hatlarının çeşitli direk tiplerine göre parametrelerinin, yaklaşık hesap metodu yardımı ile hesaplanması burada incelenecektir. Teorik olarak bulunan sonuçlar pratikte tam olarak gerçekleştirilmeyeceği için; bulunan sonuçların kabul edilebilir sınırlar içinde kalması öngörülmüştür.

Enerji iletim hatları, tesis ve şartlar nedeni ile tam simetrik olarak düzenlenemezler. Bu bakımdan hattın her fazının endüktans ve kapasitansları bir birine eşit olmayabilir. Bunun etkisiyle de alıcı tarafından simetrik bir çalışma sağlanamaz. Dengeli ve simetrik bir çalışma sağlamak maksadı ile enerji iletim hatları çeşitli tertiplerde çaprazlanırlar. Böylece mümkün olduğu kadar her fazın endüktans ve kapasitansları bir birine eşit yapılır. Tablolardaki endüktans ve kapasitans değerleri çaprazlanmış hatlar için bulunan değerlerdir. Hesaplarda iki direk tipi göz önüne alınmış kesit olarak da belli değerler alınarak tablolar oluşturulmuştur.

Hat parametrelerinden endüktans ( L ) ve Kapasitans ( C ) konuları burada geniş olarak incelenecektir.

## 2 - ENERJİ İLETİM HATLARINDA DİRENÇ HESABI :

Bir iletkenin direnci, iletkenin cinsine, kesitine ve uzunluğuna bağlıdır. Direnç; enerji iletim hatlarında gerilim düşümüne ve güç kaybına neden olduğundan çok iyi hesaplanması gerekir. Burada söz konusu edilen etkin direnç olup değeri;

$$R = \frac{P}{I^2}$$

- 2.1 -

bağıntısından bulunur. Bağıntıda (R) efektif direnç, (P) hattaki güç kaybı, (I) de hattan çekilen akımdır. İletkenin doğru akım direnci ise;

$$R = \frac{L}{K.S}$$

dir. (L) iletkenin uzunluđu (m), (K) iletkenin iletkenlik katsayısı (m/sz mm<sup>2</sup>) (S) de iletkenin kesiti (mm<sup>2</sup>) dir.

Enerji iletim hatlarında kullanılan elik-Alüminyum (s-t-AL)iletkenlerin direnleri hesaplanırken, ortada bulunan elik ekirdek kesiti ihmal edilerek sadece alüminyum kesit hesaba katılır. Havai hatlarda kullanılan iletkenler eşmerkezli bir yapıya sahip olup, damarlar eksene paralel olmayıp, eksen boyunca spiral şeklinde bir yol yapıya sahiptir. Bundan dolayı pratik olarak iletkenin direni %2 artırılır.

Bir iletkenin doğru akım direni başka, alternatif akım etkin direni başkadır, İçinden doğru akım geen bir iletken- de akım yoğunluđu her noktada aynıdır. Alternatif akımda ise self endüksiyon (özindükleme) e.m.k. nedeniyle akım yoğunluđu tüm kesitte aynı değildir.

Bir iletken içinde akım, birbirlerine paralel birçok akım yoğunluđundan akar. Bu akım yollarının endüktansları, ince akım yollarının kesit üzerindeki yerlerine bađlıdır. İletkenin merkezindeki paralel akım yolları diğerlerine göre daha büyük manyetik akı zincirleri oluřturduklarından, buralarda daha büyük endüktif reaktans oluřur. Bu nedenle akım, daha az endüktif reaktans oluřan evredeki paralel akım yollarını tercih edecektir. İşte bir iletken- den geen akımın iletkenin merkezindeki büyük endüktif reaktansın nedeni ile iltkenin merkezinden evresine yayılmasına veya başka bir deyiřle akım yoğunluđunun iletkenin evresinde büyük deđerler alması olayına skin effect(yüzey etkisi) denir.

Skin effect nedeni ile akım tařınma yönünden iletken kesiti küülmüş olacađından; diren kesitle ters orantılı olduğundan alternatif akım etkin direni, doğru akım direninden daima büyüktür. Yüksek frekanslarda bu ok daha büyük olur. Pratikte enok kullanılan ARNOLD formülü ile doğru akım direncinden alternatif akım etkin direni ařađıdaki gibi bulunur.

Dođru akım direni;  $R = \frac{L}{K.S}$  dir.



$$X = \sqrt{\frac{8\pi \cdot f}{R \cdot 10^9}}$$

- 2.3 -

bağıntısından bulunan x sabiti

$$X < 3 \text{ ise } R_e = \frac{1}{2} R \left( 1 + \sqrt{1 + \frac{x^2}{48}} \right)$$

$$X > 3 \text{ ise } R_e = R \left( \frac{x}{2\sqrt{2}} + 0,26 \right)$$

- 2.4 -

Değerlerine göre 2.4 nolu bağıntılardan alternatif akım etkin direnç hesaplanır. Bağıntılarda R doğru akım direnç,  $R_e$  alternatif akım etkin direnç, f frekanstır.

### 3 - ENDÜKTANS :

#### 3.1. ELEKTROMANYETİZMA :

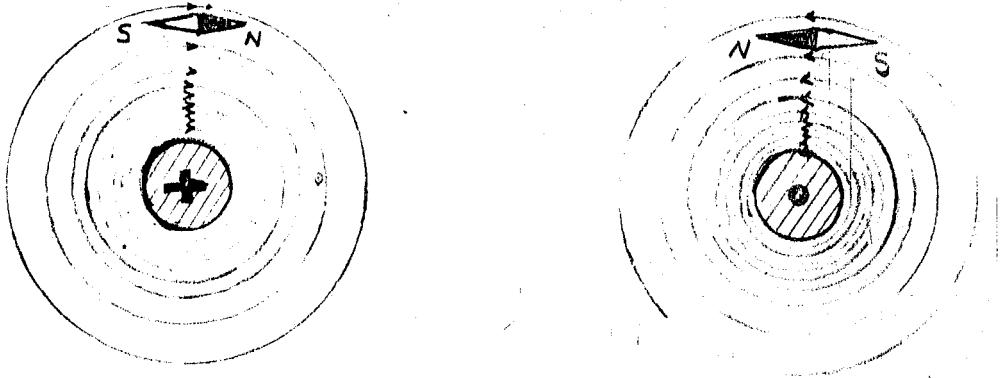
Elektrik akımlarında aynen tabii mıknatıslar gibi bir manyetik alan meydana getirdiği çeşitli deneylerle tesbit edilmiştir. Bir pusula iğnesinin, akım geçen bir iletken civarında saptması, elektrikle manyetizma arasında bir ilişkinin olduğunu göstermesi bakımından önemlidir. Danimarka'lı fizikçi Öersted 1820 yıllarında bir tel yakınına konulan pusula iğnesinin telden akım geçtiğinde saptığını tesbit etmiştir. Öersted deneylerinde; bir tel yakınına konulan ufak bir mıknatısın telden akım geçince saptığını, akım kesildiğinde mıknatısın derhal eski durumunu aldığını, telden geçen akım yönü değiştirildiğinde mıknatısın evvelkinin aksi yönünde saptığını tesbit etmiştir.

Manyetik alan mıknatıslar üzerine bir kuvvet momenti tesir eden bölge olarak tarif edildiğinden, bu deneyler akım geçen iletkenler civarında manyetik bir alanın meydana geldiğini gösterir.

Elektrik alanları durmakta olan elektrik yükleri tarafından meydana getirildiği halde; manyetik alanlar hareket eden elektrik yükleri yani elektrik akımları tarafından meydana getirilirler. Amerika'lı bir fizikçi olan H.A. Rowland (1876) klasik deneyi ile manyetik alanların yüklerin hareketleri ile hasıl olduğunu ispatlamıştır.

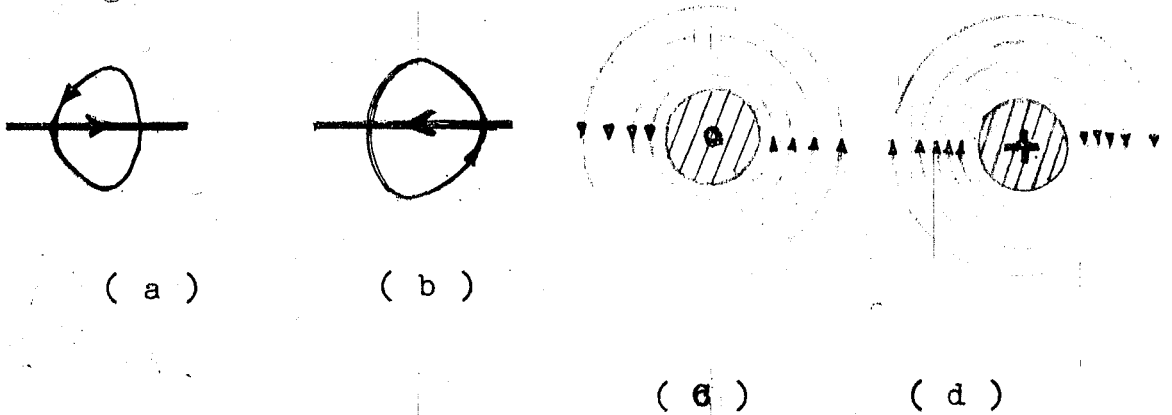
Bir iletken civarındaki manyetik alanın şekli daimi mik-

natıslarda olduğu gibi demir tozları ile tayin edilebilir. Bir mukavvayı ortasından delip içinden akım geçen bir iletkeni bu delikten geçirip, mukavva üzerine demir tozları serpip, mukavvaya elimizle dokunduğumuzda; demir tozlarının iletken etrafında daireler şeklinde dizildiklerini, kesiksiz oldukları ve demir tozlarının iletken'e yakın yerlerde sık iletkenden uzaklaştıkça seyrek olarak dizilmelerinden, iletken etrafında meydana gelen kuvvet çizgilerinin ; iletkene yakın yerlerde sık, iletkenden uzaklaştıkça seyrekleştiği anlaşılmaktadır. Şekil 3.1 de doğru şeklindeki iletkenin akım yönüne göre alan çizgileri görülmektedir.



Şekil 3.1

Hareket halindeki elektrik yüklerinin meydana getirdiği manyetik alan yönü çeşitli usullerle bulunabilir. Doğrusal bir iletkenin meydana getirdiği alanın yönünün bulunması için şekil 3.2 de görüldüğü gibi iletkeni dört ayrı durumda incelemek gerekir.

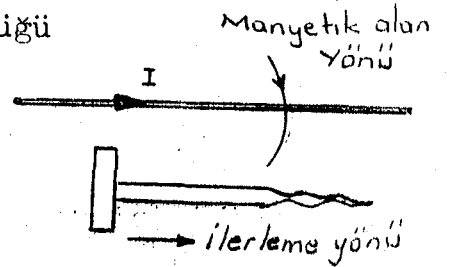


Şekil 3.2

Şekil (a) da akım iletkenen soldan sağa doğru geçmekte  
Şekil (b) de " " sağdan sola " "  
Şekil (c) de ise akım iletken içersinden bize gelecek yönde  
(akım iletkenen çıkıyor kabul edilir.)  
Şekil (d) de ise akım yönü bizden düzleme doğrudur.  
(akım iletkene giriyor kabul edilir.)

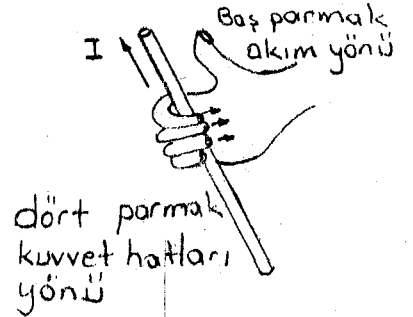
İçinden akım geçen iletkenler etrafında meydana gelen manyetik kuvvet çizgilerinin yönü; burğu kaidesi, sağ el kaidesi gibi usullerle bulunabilir.

Burğu kaidesi: Şekil 3.3 de görüldüğü gibi içinden akım geçen bir iletkene paralel olarak tutulan burğunun akım sapından girip uçundan çıkacak şekilde tutulduğunda burğunun akım yönünde ilerlemesi için döndürülen yönü manyetik alanın yönünü gösterir.



Şekil 3.3

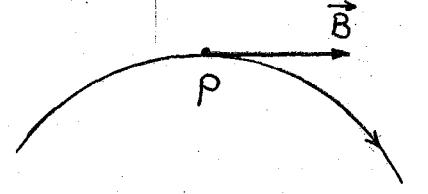
Sağ el kaidesi: İçinden akım geçen tel baş parmak akım yönünü gösterecek şekilde sağ el avuç içine alındığında diğer dört parmak kuvvet çizgilerinin yönünü gösterir. Şekil 3.4



Şekil 3.4

Manyetik alanın her noktada bir yönü olduğu gibi her noktada değişen bir şiddeti vardır. Öersted'in deneyinden bir kaç ay sonra Fransız fizikçileri Biot ve Savard; içinden akım geçen çok uzun bir tel civarındaki bir P noktasındaki manyetik alanın P nin tele olan dik mesafesi ile ters orantılı (I) akımı ile doğru orantılı olduğunu bulmuşlardır. Bu neticeye göre orantı sabiti b olmak üzere  $H = b \frac{I}{r}$  dir. Biot ve Savard bu eşitliği, telden farklı mesafelere koydukları ufak bir mıknatısın titreşimlerinin periyodunu tayin ederek bulmuşlardır. Telden r mesafedeki alan H ise mıknatısın titreşim periyodu  $T = 2\pi \sqrt{\frac{e}{H.M}}$  dir. (e) eğlemsizlik momenti (M) de manyetik momentidir.

Alan şiddeti manyetik endüksiyon denilen ve B harfi ile gösterilen bir yüklükle belirtilir. Manyetik endüksiyon vektör karakterinde olan bir vektörel büyüklüktür. Hem yönü ve hemde şiddeti vardır. Manyetik alanın her hangi bir noktasında  $\vec{B}$  vektörünün doğrultusu bu noktadan geçen alan çizgisinin o noktadaki teğeti doğrultusunda olup yönüde alanın yönünden ibarettir. Şekil 3.5 de P noktasındaki manyetik endüksiyon vektörü görülmektedir. Düzgün alanda  $\vec{B}$  her noktada aynı değer ve yöndedir. Manyetik endüksiyon Birim yüzeyden geçen manyetik kuvvet çizgisi sayısıdır.  $m^2$  ye weber olarak seçilir. Bir yüzey arasından geçen kuvvet çizgilerinin toplam sayısına manyetik akı adı verilir  $\Phi$  harfi ile gösterilir. Birimi weberdir. Alan çizgilerine dik olarak yerleştirilen bir s yüzeyinden geçen akı  $\Phi = B.S$  weber'dir. Şayet s yüzeyi ( $m^2$ ) alan çizgilerine dik değilse bu takdirde  $\Phi$  akısı;  $\Phi = B.S.Cos \varphi$  olur. Manyetik akı skaler bir yüklüktür.



Şekil 3.5

Manyetik akı ve manyetik endüksiyon için Maxwell (M) ve gauss (G) birimleride kullanılır.

$$1 \text{ Vs} / m^2 = 1 \text{ wb} / m^2 \quad \text{birimine T esla denir. T ile gösterilir.}$$
$$1 \text{ M} = 1 \text{ Gcm}^2 = 10^{-8} \text{ wb}$$

$1 \text{ G} = 10^{-4} \text{ wb} / m^2 = 10^{-4} \text{ T}$  bağıntısı vardır. Manyetik alanı göstermek maksadı ile faydalanılan endüksiyon çizgilerinin sayısını sınırlamak için bu çizgilere dik olan birim yüzeyden geçen çizgi sayısını B ye eşit yapılır. Aslında her noktadan bir kuvvet çizgisi geçer. Bir noktadaki B endüksiyonu yüzölçüm biriminden geçen akıya eşit olduğundan B ye akı yoğunluğuda denir.

Baher uzunluk birime düşen amper-sarımı gösteren  $H = \frac{NI}{l}$  ye manyetik alan şiddeti denir. Devre bir iletken-den ibaretse  $H = \frac{I}{r}$  A/cm. yada A/m birimi elde edilir. Manyetik akının maxwell ve manyetik endüksiyonun da gauss birimleri ile ölçüldüğü birim sisteminde alan şiddetinin birimi örsted'dir.

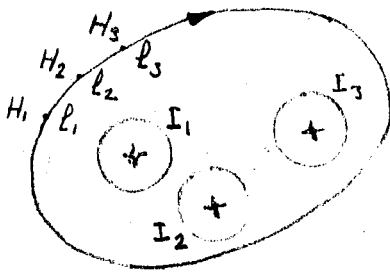
Bu birim ile A/cm birimi arasında  $1 \frac{A}{cm} = 0,4 \text{ Örsted} : 1,256 \text{ örsted}$  dir.

Manyetik alan şiddeti ile manyetik endüksiyon arasında  $B = \mu . H$  bağıntısı vardır. Alan şiddeti de manyetik endüksiyon gibi vektörel bir büyüklüktür.  $\vec{H}$  vektörünün yönü  $\vec{B}$  vektörü ile aynıdır.  $B = \mu . H$  bağıntısında  $\mu$  ye ortamın permeabilitesi adı verilir. Birimi  $VS/mA = \sqrt{Zs}/m$  olup  $\sqrt{Zs}$  ye kısaca Henri adı verilir.  $h$  harfi ile gösterildiğinden böylece  $\mu$  nün birimi  $h/m$  olur. Ortamın permeabilitesi yani magnetik geçirgenlik  $\mu = \mu_0 . \mu_r$  şeklinde iki faktörden teşekkül eder. Burada  $\mu_0$  boşluğun daha çok havanın geçirgenliğini gösterir, değeri pratik birim sisteminde  $\mu_0 = 4\pi . 10^{-7} h/m = 1,256 . 10^{-6} h/m$  dir. Bağıl geçirgenlik adını verdiğimiz  $\mu_r$  ise, her hangi bir malzemenin içindeki geçirgenliğin boşluğa nazaran ne kadar büyük yada küçük olduğunu gösterir. Hava için  $\mu_r = 1$  olup  $\mu_r : \mu_0$  alınabilir.

Alan şiddeti; bir p noktasına konulan birim kutba tesir eden kuvvet olarakta tarif edilebilir.

$$H = \frac{NI}{l} \text{ ifadesini } F = H . l = NI \text{ şeklinde yazalım.}$$

Manyetik alan şiddetini alan çizgisinin uzunluğu ile çarpılarak bulunan  $H . l$  ye manyetik gerilim yada manyetomotor kuvvet adı verilir  $F$  harfi ile gösterilir. Manyetik bir devrede manyetik kuvvet çizgilerini yaratan kuvvettir. Elektrik devrelerinde E.M.K. tekabül eder. Birimi Amper sarım dır. Şekil 3.6 da bir sarımdan ibaret olan üç akımın meydana getirdikleri manyetik alana ait her hangi bir alan çizgisi görülmektedir.  $I_1, I_2, I_3$  akımların meydana getirdikleri alan-



Şekil 3.6

lar  $H_1, H_2, H_3$  olsun. Buna göre alan çizgisi boyunca her noktada alan farklı yönde ve farklı değerdedir. Bununla beraber alan çizgisi üstünde alınan  $l_1, l_2, l_3$  ..... gibi küçük parçalar boyunca alanın  $H_1, H_2, H_3, \dots$  gibi sabit değerler aldığı kabul edi-

lirse bu takdirde ;

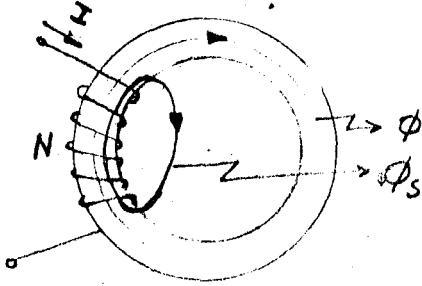
$$F = N.I = H.L \text{ ifadesi } H_1 l_1 + H_2 l_2 + H_3 l_3 + \dots + H_n l_n = I_1 + I_2 + I_3 = F$$

Yazılabilir. Bunu genel olarak;

$\sum Hl = \sum I = F$  şeklinde yazabiliriz. Bobin halinde ise  $\sum Hl = NI = F$  olur. Bu ifadelere Amper kanunu adı verilir. Manyetik alanların hesabı için önemli bir kanundur.

Aşağıda manyetik devrelerde kullanılan başlıca terimler ve tarifler kısaca özetlenmiştir.

1-Manyetik devre : Manyetik kuvvet çizgilerinin dolaştığı devreye manyetik devre adı verilir. Elektrik devrelerinde akımın geçtiği belli bir yol vardır. Bir telden elektrik akımı geçerken telin üzerindeki yalıtkan ve etrafındaki havanın



Şekil 3.7

direnç o kadar büyüktürki bunlardan geçen akım pratik olarak sıfırdır. Oysa akı için yalıtkan bir madde yoktur. Örneğin hava oldukça iyi manyetik bir iletkendir. O halde elektrik devrelerinde olduğu manyetik kuvvet çizgilerini istediğimiz bir yoldan (manyetik devreden) geçirmek olanaksızdır. Şekil 3.7 de manyetik devre dışındaki kaçak  $\Phi_s$  akısı görülmektedir.

2-Manyetik akı ( $\Phi$ ) : Bir manyetik devredeki toplam kuvvet hattı sayısıdır.  $\Phi = B.S$  wb. dir. Veya  $\Phi = \frac{F}{R}$  dir.

3-Manyetik direnç (Relüktans)R : manyetik kuvvet çizgilerinin geçtiği yolun dirençidir.

$$R = \frac{F}{\Phi} \text{ veya } R = \frac{L}{\mu_s} \text{ dir.}$$

4-Manyetik gerilim (Manyetomotor kuvvet) F : Manyetik bir devrede manyetik kuvvet çizgilerini yaratan kuvvettir. Elektrik devrelerinde gerilime takabül eder.

$F = N.I$  Amper Sarım yada  $F = 1,256 N.I$  Jilbert veyahut  $F = \Phi.R$  dir.

5-Geçirgenlik ( $\mu$ ) : Bir metaryelin içindeki kuvvet çizgisi sayısının, bu metaryol boşlukla değiştirildiği zamanki kuvvet çizgisi sayısına oranıdır.

$\mu = \frac{B}{H}$  veya  $\mu = \mu_r \cdot 4\pi \cdot K$  veyahut  $\mu = \mu_r \cdot \mu_0$   
olup  $\mu_0 = 4\pi \cdot 10^{-7} \text{ h/m}$  dir.

6-Alan Şiddeti (H) : Bir noktadaki alan şiddeti; o noktada bulunan birim kutba tesir eden kuvvet olarak tarif edilir. (NI) ; Amper Sarım/cm veya Amper-Sarım/m olarakta ölçüldüğü gibi Jilbert/cm veya kısaca Öersted olarakta ifade edilir.

$$H = \frac{NI}{L} = \frac{F}{L}, \quad H = \frac{B}{\mu} \quad \text{ve} \quad H = \frac{1,256NI}{L} \text{ Jilbert/cm},$$

(örsted) formülleri ile hesaplanır. (C.GS de havada lcm<sup>2</sup>den 1 kuvvet hattı geçtiği takdirde o noktadaki alan şiddetine birim alan şiddeti denir.)

7-Manyetik endüksiyon (B) : Birim yüzeyden geçen kuvvet hattıdır.  $B = \frac{\Phi}{S}$  olup birimi wb/m<sup>2</sup> yada kısaca (T) Tesladır. Gauss da (G) kullanılan diğer bir birim sistemidir.

1G = 10<sup>-4</sup> T dir.  $B = \mu \cdot H$  bağıntısı şu şekilde de ifade edilebilir. Bir demir parçası iki zıt kutup arasına veya akım geçen bir bobin içine konulduğunda; manyetik tesirden dolayı demirin içindeki molekül sel mıknatıslar yön alırlar. Bu suretle evvelce mevcut olan H şiddetindeki alana H<sub>1</sub> şiddetinde yeni bir alan ilave olur. Bu durumda lcm<sup>2</sup> den veya 1m<sup>2</sup>den geçen kuvvet çizgisi sayısı artar. İşte bu durumda birim yüzeyden geçen kuvvet hattı sayısına manyetik endüksiyon adı verilir. Manyetik endüksiyon  $B = \mu \cdot H$  bağıntısına göre hem ( $\mu$ ) ye ve Hemde (H) alan şiddetine Bağlıdır. Formülleri kısaca tekrarlırsak;

$$\Phi = B.S = H \cdot \mu \cdot S = \frac{NI}{L} \cdot \mu \cdot S = \frac{NI}{L} \cdot \frac{\mu \cdot S}{\mu \cdot S} = \frac{NI}{R} = \frac{F}{R} \text{ wb. olur.}$$

### 3.1.1. D OĞRUSAL İLETKENİN ALAN ŞİDDETİ HESABI:

Çok uzun doğrusal bir iletkenin civarında meydana gelen alanın şiddetini amper kanunu  $\oint H \cdot dl = NI = F$  bağıntısından yararlanarak bulabiliriz. Şekil 3.8 de görülen ve yarı çapı iletkenin merkezine göre  $r$  olan kuvvet çizgisinin alan şiddeti her noktada simetriden dolayı aynı değerdedir. Alan çizgisi boyu  $2\pi r$  ye eşit olduğundan Amper kanununa göre

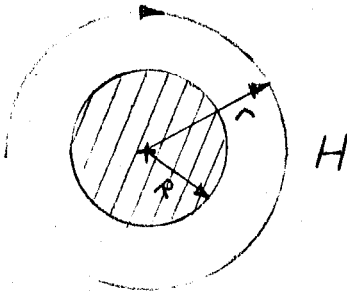
$H \cdot 2\pi r = I$  olacaktır. Buradan  $H = \frac{I}{2\pi r}$  olur. Bu bize iletkenin uzaklaştıkça alan şiddetinin azaldığını gösterir. Havada  $\mu = \mu_0$  olduğundan  $B = \mu \cdot H = 4\pi \cdot 10^{-7} \cdot \frac{I}{2\pi r} = \frac{2I}{r} \cdot 10^{-7} \text{ T}$ .

olarak manyetik endüksiyon bulunur. Telin dışında olduğu gibi içinde de bir manyetik alan meydana gelir. Şekil 3.9 da görüldüğü gibi iletkenin yarı çapını  $R$  ile gösterirsek  $r$  yarı çaplı alan çizgisine göre bu alan içinde kalan akımı  $I'$  ile gösterirsek amper formülüne göre  $H_i \cdot 2\pi r = I'$  olur.

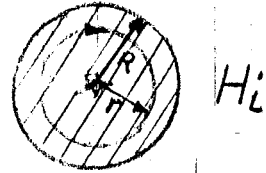
Akım yoğunluğu  $I/\pi R^2$  olduğundan  $I' = \pi r^2 I / \pi R^2 = r^2 I / R^2$  olur.

Böylece içteki alan şiddeti  $H_i \cdot 2\pi r = r^2 I / R^2$  den

$H_i = \frac{I}{2\pi R^2} \cdot r$  bulunur.



Şekil 3.8



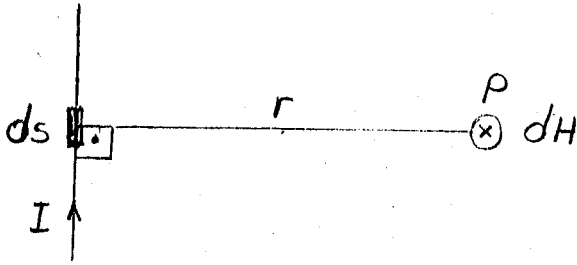
Şekil 3.9

Bu ifadeye göre alan şiddeti merkezden çevreye doğru  $r$  uzaklığı ile orantılı olarak artmaktadır.



### 3.1.2. BIOT - SAVART FORMÜLÜ:

Matematik ve fizikçi olan Pierre Laplace (1749-1827) Biot-Savard deneyleri neticelerini; sonsuz küçük bir  $I ds$  akım elemanın alanı; elemana dik mesafenin karesi ile ters orantılı kabul edilmek şartı ile izah edilebileceğini göstermiştir. (Şekil 3.10).



$$dH = \frac{b \cdot I \cdot ds}{r^2}$$

bağıntıda (b) orantı sabitidir.

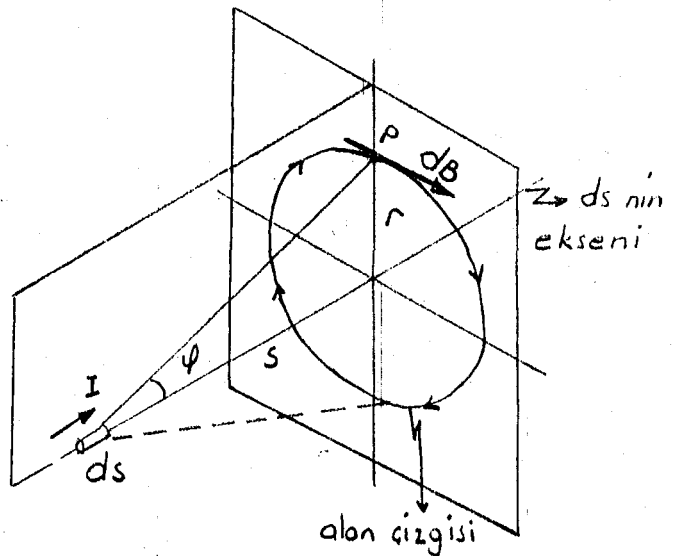
Şekil 3.10

$H = \frac{I}{2r}$  alan şiddeti formülü çok uzun iletkenlerin alan şiddetinin hesaplanmasında doğru sonuç verir. Her hangi bir şekilde tertiplenmiş iletkenlerin etrafındaki alanların hesaplanmasına yarayan formül  $dH = \frac{Id \sin \psi}{4\pi a^2}$  olup, bu formüle Biot-Savart formülü denir. Formülde (ds) iletken üzerinde alınan sonsuz küçük bir iletken elemanını, (a) bu elemanla alanın hesaplandığı p noktası arasındaki uzaklığı ( $\psi$ ) ise (ds) elemanı ile (ds) yi P noktasına birleştiren doğru arasındaki açıyı göstermektedir. Şekil 3.11. de

(dB) sonsuz küçük manyetik endüksiyon değeri;

$$dB = k \cdot \frac{I \cdot ds \cdot \sin \psi}{a^2} \text{ dir.}$$

denklemdaki k çarpanı, seçilen birimlere bağlı olan bir orantı sabitidir. M.K.S birim sisteminde k'nin değeri  $10^{-7}$  weber/Amp-metre ye eşit kabul edilmektedir.

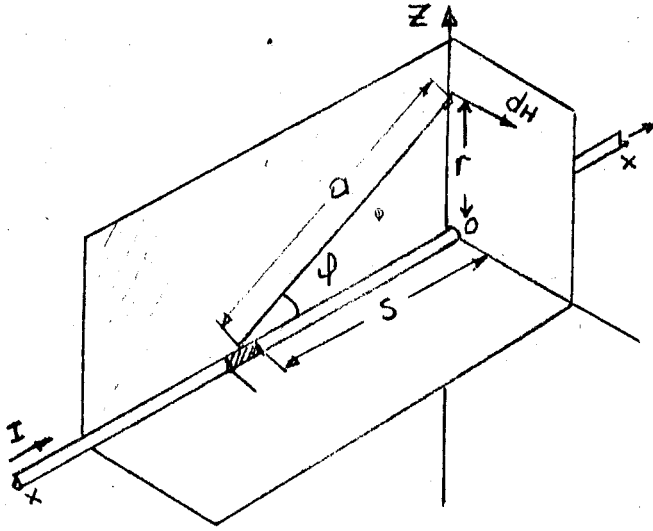


Şekil 3.11.

$$K' = \frac{M_0}{4\pi}, M_0 = 4\pi K' = 4\pi 10^{-7} \text{ wb/Amp.m. dir.}$$

Bu takdirde dB =  $\frac{M_0}{4\pi} \cdot \frac{I ds \sin \psi}{a^2}$  şeklini alır. Bu denkleme göre bir akım elamanından ileri gelen dB manyetik endüksiyonu, elamanın eksenini üzerindeki bütün noktalarında sıfırdır. Çünkü buygibi noktalarda  $\sin \psi = 0$  dir. Elamandan verilen bir a uzaklığında elamandan kendi eksenine dikey olarak geçirilen bir düzlem için, manyetik endüksiyon maksimumdur. Zira düzlemin bütün noktalarında  $\psi = 90^\circ$  ve  $\sin \psi = 1$  dir.

Şekil 3.12 de gösterilen uzun bir doğrusal iletkenin (r) kadar uzaklıkta bulunan P noktasının manyetik alanını hesaplamak için Biot-Savard formülünü kullanalım.



Şekil 3.12

$$dH = \frac{I ds \sin \psi}{4\pi a^2} \text{ bu}$$

denkleme şekil 1.12 de görüldüğü gibi  $a = r \cdot \text{Cosec} \psi$ ,  $S_r \cdot \text{Cotg} \psi$  türevi alınırsa  $ds = -a \text{Cosec}^2 \psi \cdot d\psi$  olacağından ds ve r yerine bu yeni bulduğumuz değerlerini yazarsak.

$$dH = - \frac{I \cdot r \cdot \text{Cosec}^2 \psi \cdot d\psi \cdot \sin \psi}{4\pi \cdot r^2 \cdot \text{Cosec}^2 \psi} = - \frac{I \cdot d\psi}{4\pi r} \cdot \sin \psi \text{ bulunur.}$$

Eğer iletken sonsuz uzun ise yada r uzaklığına göre uzun ise integral limitleri  $-\infty$  dan  $+\infty$  'a kadardır. ( $\psi$ ) açının buna karşılık limitleri ise  $\pi$  'den 0'ra kadardır. O halde

$$dH = - \frac{I}{4\pi r} \cdot \sin \psi \cdot d\psi \text{ bağıntısının integralini alırsak}$$
$$H = - \int_{\pi}^0 \frac{I}{4\pi r} \cdot \sin \psi \cdot d\psi = - \frac{I}{4\pi r} \int_{\pi}^0 \sin \psi \cdot d\psi = - \frac{I}{4\pi r} \left[ -\cos \psi \right]_{\pi}^0$$
$$H = \frac{2I}{4\pi r} = \frac{I}{2\pi r} \text{ bulunurki buda amper kanunundan faydalanılarak}$$

çıkartılan formülden başka bir şey değildir. O halde pratik olarak doğrusal uzun bir iletkenin;

Dışındaki her hangi bir noktadaki alan şiddeti

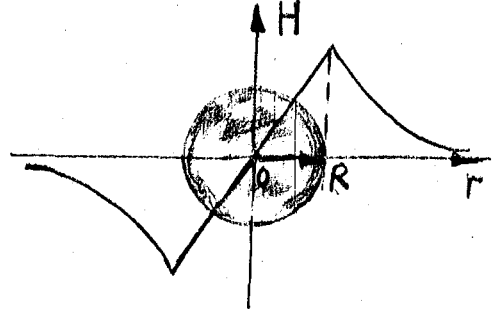
$$H_d = \frac{I}{2\pi r} \text{ bağıntısından}$$

içindeki her hangi bir noktadaki alan şiddeti ise

$$H_i = \frac{I}{2\pi R^2} \cdot r \text{ bağıntısından hesaplanabilir.}$$

Şekil 3.13 de H nin telin içinde ve dışında r uzaklığı ile nasıl değiştiğini gösteren grafik görülmektedir. iletkenin yüzeyinde  $R=r$  olacağından

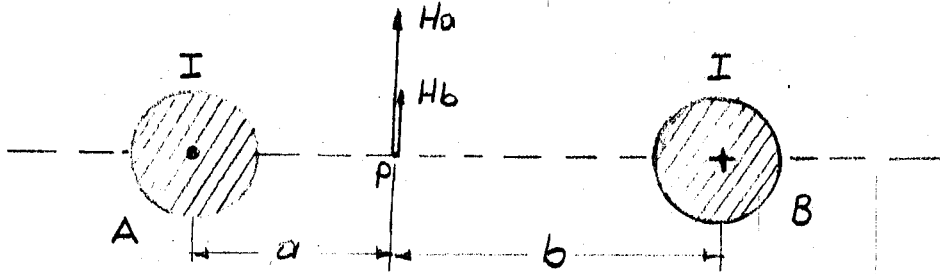
$$H = \frac{I}{2\pi R} \text{ olur.}$$



Şekil 3.13

### 3. 1.3 ALANLARIN BİRLEŞTİRİLMESİ :

Şekil 3.14 de çok uzun paralel iki iletken görülmektedir. Bu iletkenlerden eşit değerde fakat zıt yönlü I akımının geçtiğini farz edelim.

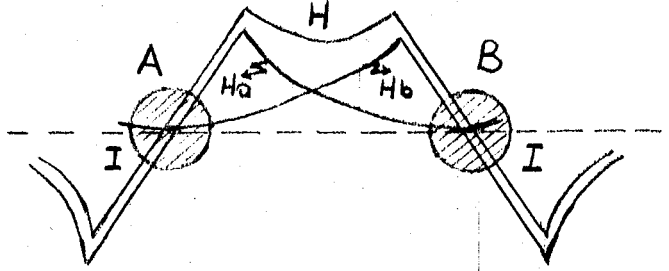


Şekil 3.14

A iletkeninin B noktasında meydana getirdiği alan şiddeti  $H_a = \frac{I}{2\pi \cdot a}$ , B iletkeninin aynı P noktasındaki alan şiddeti ise  $H_b = \frac{I}{2\pi b}$  dir. Her iki iletkenin meydana getirdikleri alan yönleri sağ el yada burğu kaidesi ile bulunabilir. Bu kaidelere göre P noktasındaki alan yönlerinin aynı olduğu görülür. Mesela iki iletken arasındaki P noktasında A teline ait olan  $H_a$  alan şiddeti bu noktadan geçen alan çizgisini gösteren daireye teğet olup yukarı doğru yöndedir. B teline ait  $H_b$  alan şiddeti de yine aynı noktadan geçen fakat B iletkenine ait olan alan çizgisini gösteren daireye teğet olup aynı yöndedir. Bunların Bileşkesi ise

$H=H_a+H_b$  ve  $H = \frac{I}{2\pi} \left( \frac{1}{a} + \frac{1}{b} \right)$  dir.

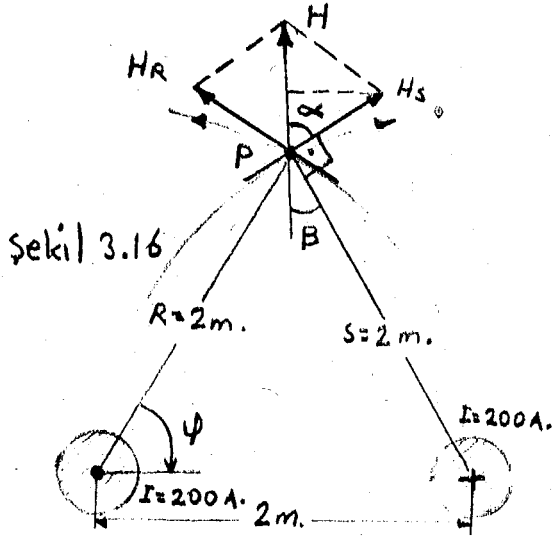
Şekil 3.15 de iki paralel iletkenin bulunduğu düz- lende  $H_a$  ,  $H_b$  ve  $H$  alan- larının nasıl değiştiği görülmektedir.



Şekil 3.15

### 3.1.4. KONUMLARI FARKLI İLETKENLERİN BİLEŞKE ALANLARININ BULUNMASI :

Şekil 3.16 da ki sistemde bileşke alan  $\vec{H} = \vec{H}_R + \vec{H}_S$  dir.



Şekil 3.16

$$H_R = \frac{I}{2\pi \cdot R} = \frac{200}{2\pi \cdot 2} = \frac{200}{12,56} = 16 \text{ A/m}$$

$$H_S = \frac{I}{2 \cdot s} = \frac{200}{2 \cdot 2} = \frac{200}{4} = 50 \text{ A/m}$$

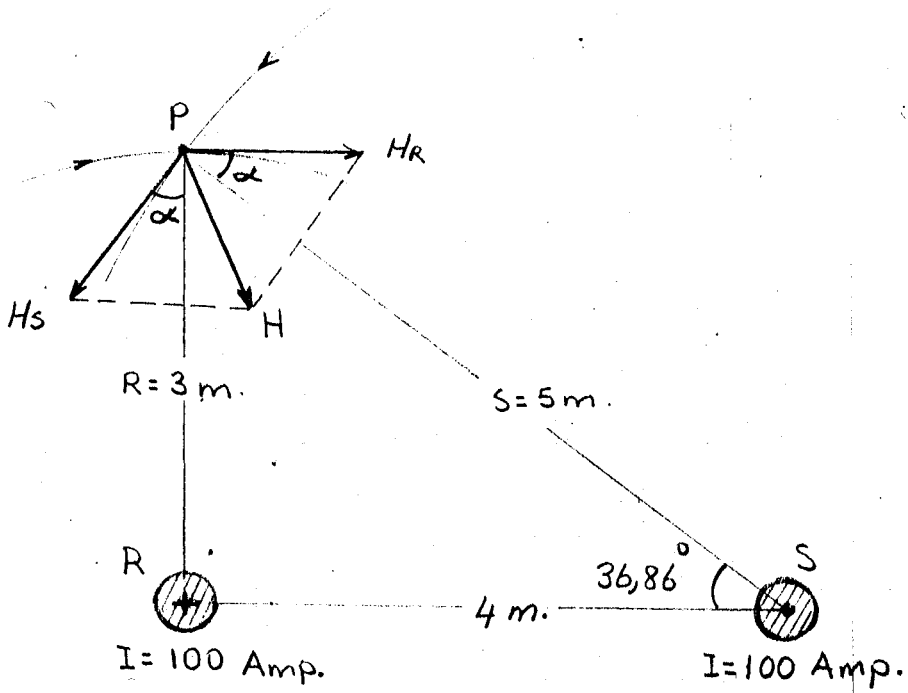
$\psi = 60^\circ$  olduğundan  
 $\beta = 30^\circ$  ve  $\alpha = 180 - (90^\circ + \beta)$   
 $= 180 - (90^\circ + 30^\circ) = 60^\circ$  olur.

$\cos 60^\circ = \frac{H}{H_S}$  den

$\vec{H} = H_S \cdot \vec{H}_R = 16 \text{ A/m}$  bulunur.

Şekil 3.17 de  $H_R = 5,3 \text{ A/m}$ ,  $H_S = 3,18 \text{ A/m}$  ve  $\alpha = 36,86^\circ$  dir.

$\vec{H}_R$  ve  $\vec{H}_S$  alanları bulunduktan sonra çizimle  $\vec{H}$  birleşke alanı kolaylıkla bulunabilir. Hesap Yolu ile  $\vec{H}_R$  ve  $\vec{H}_S$  vektörleri Yatay ve düşey bileşenlerine ayrılır. Bileşke alan bu bileşenlerden bulunur.  $H_R$  nin Yatay bileşeni  $H_{Rx} = H_R = 5,3 \text{ A/m}$  düşey bileşeni  $H_{Ry} = 0$  dir.  $H_S$  nin Yatay bileşeni  $H_{Sx} = H_S \cdot \sin \alpha = 3,18 \cdot 0,6 = 1,9 \text{ A/m}$ .  $H_S$  nin düşey bileşeni ise  $H_{Sy} = H_S \cdot \cos \alpha = 3,18 \cdot 0,8 = 2,54 \text{ A/m}$ .  $\vec{H}$  bileşke alanının yatay bileşeni  $\vec{H}_x = \vec{H}_{Rx} - \vec{H}_{Sx}$   $H_x = 5,3 - 1,9 = 3,4 \text{ A/m}$ .



Şekil 3.17

Şekil 3.17 de ki sistemde bileşke alan

$$\vec{H} = \vec{H}_R + \vec{H}_S$$

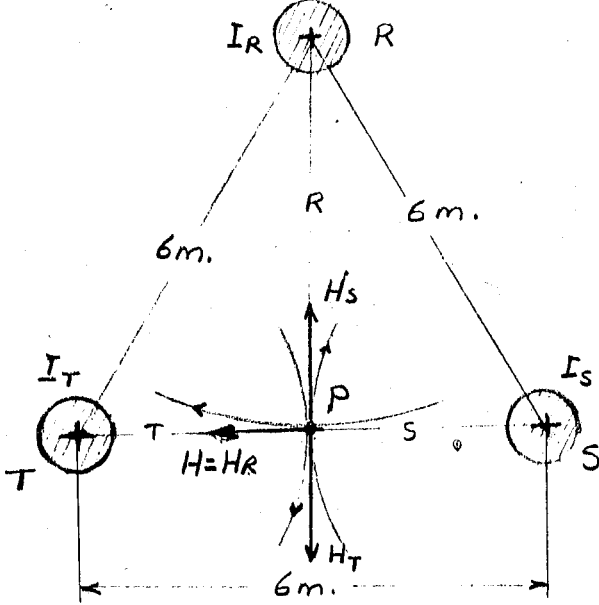
$$H_R = \frac{I}{2\pi \cdot R} = \frac{100}{6,28 \cdot 3} = 5,3 \text{ A/m}$$

$$H_S = \frac{I}{2\pi \cdot S} = \frac{100}{6,28 \cdot 5} = 3,18 \text{ A/m} \text{ bulunur.}$$

Düsey bileşeni  $H_{Ry} = 0$  olduğundan  $H_y = H_{Sy} = 2,54$  A/m Bileşke alan şiddeti ise

$$H = \sqrt{H_x^2 + H_y^2} = \sqrt{(3,4)^2 + (2,54)^2} = 4,24 \text{ A/m} \text{ bulunur.}$$

Şekil 3.18 de ise eş kenar üçgenin köşegenlerine yerleştirilmiş 3 fazlı simetrik sistemin P noktasındaki bileşke alan görülmektedir.



Şekil 3.18

$I_R = I_S = I_T = 100$  Amper ise

$T = S = 3$  m ve  $R = 5,196$  m olduğundan.

$$H_R = \frac{I}{2\pi.R} = \frac{100}{6,28 \cdot 5,196} = 3 \text{ A/m}$$

$$H_S = \frac{I}{2\pi.S} = \frac{100}{6,28 \cdot 3} = 5,3 \text{ A/m}$$

$$H_T = \frac{I}{2\pi.T} = \frac{100}{6,28 \cdot 3} = 5,3 \text{ A/m}$$

$I_R, I_S, I_T$  fazlası P noktasında yukarıda şiddetleri bulunan alanları meydana getirirler.

Bu alanlar vektörel olarak şekil 1.18 de gösterilmiştir.

$H_S = H_T$  olup yönce zıt yönde olduklarından bir birini yok ederler.

Böylece P noktasındaki bileşke alan  $H = H_R = 3$  A/m olur.

Bu noktadaki manyetik endüksiyon ise

$$B = \mu_0 \cdot H = 4\pi \cdot 10^{-7} \cdot 3 = 3,768 \cdot 10^{-6} \text{ Tesla bulunur. Veya}$$

$$B = \mu_0 \cdot H = 1,256 \cdot 10^{-8} \cdot 0,03 = 1,256 \cdot 3 \cdot 10^{-10} = 3,768 \cdot 10^{-10} \text{ G.}$$

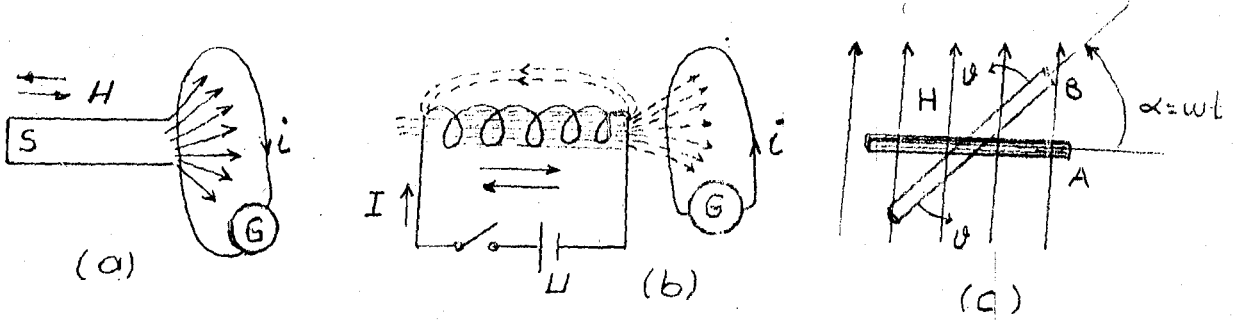
yada B nin birimi VS/cm<sup>2</sup> olur. Burada  $H = 0,03$  A/cm alınmıştır.

### 3.2. ELEKTROMANYETİK ENDÜKSİYON :

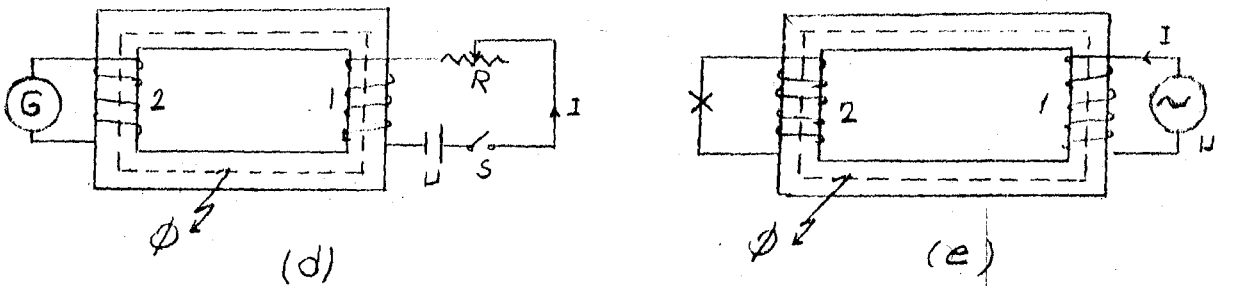
1820 de Öersted bir elektrik akımının daima bir manyetik alan meydana getirdiğini keşfettikten sonra o zamanki fizikçiler bir birlerine şu soruyu sormaya başlamışlardır. Devamlı bir elektrik akımı devamlı bir manyetik alan meydana getirdiğine göre; devamlı bir manyetik alanda devamlı bir akım meydana getiremezmi ? Böyle bir elektrik akımı bulmakta sarfedilen bütün gayretler o zaman için başa çıkmış Ampere ve Arago olaya rasladıkları halde farkını varamamışlardır. 1830 da Joseph Henry elektromagnetinin birinin kutupları arasındaki demir köprüdeki bobinde, elektromagnetinin bobinindeki akımın başladığı veya süresiz olduğu zamanlarda, akım geçtiğini görmüştür. Başlangıçta Michael Faraday da bu olayı başarı ile çözemeyenler arasında idi Faraday deney ve uğraşlarını sıklaştırmakla nihayet 1831 de bir demir nüve üzerine sarılan bobinden akım geçmeye başladığı veya akım kesildiği anda, aynı nüveye sarılmış diğer bir bobinden akım geçtiğini izlemiştir. Bu neticeyi hemen açıklaması, deney neticelerini açıklamamış olan Henry'den evvel bulmuş olmasını sağlamıştır.

Faraday'ın buluşunun önemi ve bugünkü modern teknolojinin gelişmesindeki katkısı şüphesiz inkâr edilemez. Çünkü elektrik enerji kaynakları, elektrik enerjisinin naklini sağlayan transformatörler Faraday'ın elektromanyetik endüksiyon olayının keşfedilmelerinin neticeleridir.

Elektromanyetik endüksiyon olayları; manyetik alanlardan istifade edilerek elektrik akımının meydana gelmesini sağlayan olaylardır. Elektrik akımının manyetik alan meydana getirmesinin tersine olarak; endüksiyon olayları, manyetik olayların elektrik akımı meydana getirmesidir. Endüksiyon akımına ait Faraday deneyleri şekil 3.19 da görülmektedir. Bu deney neticelerini genel olarak; hareket endüksiyonu ve Transformasyon endüksiyonu olarak ikiye ayırmak mümkündür.



Hareket endüksiyonları



Transformasyon endüksiyon

Şekil 3.19

Şekil (a) da görüldüğü gibi daimi mıknatısın kuzey kutbu bir galvanometereye bağlı iletken halkaya doğru hareket ettirilirse, galvanometre şekilde görülen yönde bir akım gösterir. Mıknatıs yada halka birbirine göre hareket etmezlerse galvanometreden akım geçmez mıknatıs halkaya doğru ne kadar hızlı hareket ettirilirse galvanometre göstergesi o kadar fazla sapar. Mıknatıs geriye doğru hareket ederse galvanometre aksi yönde bir akım gösterir. Halkadan (telden) bir akım geçmesi bir gerilimin bulunmasını icap ettirir. Bu endüksiyon e.m.k. halka ile mıknatısın birbirlerine bağlı hareketinden meydana gelmektedir. Yani e.m.k. tel içindeki manyetik alanın zamanla değişmesi neticesinden hasıl olmaktadır.

Mıknatıs yerine şekil (b) de görüldüğü gibi bir selenoid alınıp, selenoid ten akım geçirilip selenoid ve halka birbirlerine göre hareket ettirilirse yine galvanometrenin saptığı görülür. Hareket endüksiyonu şekil (c) de daha iyi anlaşılmaktadır. İletken manyetik alan içinde saat ibresinin ters yönünde sabit bir açısal hızla döndürülürse, bu dönme esnasında bir devirde her an değişik sayıda kuvvet hattı



keseceğinden zamana bağlı olarak üzerinde bir endüksiyon e.m.k. meydana gelir.

Şekil (d) de ise Faraday'ın yapmış olduğu bir başka deneyeye göre, bir üreteç tarafından beslenen birinci bobin bir manyetik alan meydana getirir. Bu alan çizgileri 2 inci bobin içinden de geçerler. 2 inci bobin uçları hassa bir galvometreye bağlanmıştır. Anahtar açıkken galvometrede hiç bir hareket görülmez. Fakat anahtar kapatıldığı anda veya açıldığı anda galvometre ibresinde sapma görülür. Bir devreden akım geçebilmesi için o devrenin iki ucu arasında bir gerilimin bulunması gerektiğinden, bu deneydede gerek anahtar kapatıldığında ve gerekse anahtar açıldığında 2 inci bobinde bir gerilimin meydana geldiği anlaşılmaktadır. 2 inci bobinde bir akımın geçmesine sebep olan şey; gerek anahtar kapatıldığında ve gerekse anahtar açıldığında 1 inci bobindeki akımın değişmesi dolayısıyla bu anlarda değişik manyetik alanın ikinci bobini kesmesidir. Endüksiyon esnasında bobinde meydana gelen e.m.k. te endüksiyone.m.k. ve bu esnada bobinden geçen akımda indüksiyon akımı adı verilir.

O halde endüksiyon yapabilmek için 2 inci bobini kesen akıyı değiştirmek gerekir. Bunun için direnç yardımı ile birinci bobinden geçen I akımını değiştirirsek bu akım tarafından meydana gelen manyetik alan değişir. Bu değişken manyetik alanı kesen 2 inci bobinde, manyetik alanda bir değişiklik yapıldığı müddetçe bir endüksiyon e.m.k. hasıl olur.

Şekil d de 1 inci bobine zamanla yönünü ve şiddetini değiştiren bir alternatif akım üretici bağlanmıştır. Burada 1 inci sargıdan geçen akım her an yönünü ve şiddetini değiştirdiğinden, bu akım tarafından meydana getirilen manyetik alanda her an yönünü ve şiddetini akımla beraber değiştirmektedir. Çünkü bir manyetik alan akıma tabi olarak değişir. Akım artarsa manyetik alanda artar akım azalursa manyetik alanda azalır. İşte 2 inci bobin devamlı suretle değişen bir manyetik alan içinde kalacağından ikinci bobinde devamlı surette bir endüksiyon e.m.k. endüklenir. İşte bu şekilde çalışan elektrik makinalarına T ransformatör adı verilir. İkinci bobinde bu yolla endüklenen e.m.k. karşılıklı endüksiyon e.m.k. dir.

Bu deneylerden endüksiyon e.m.k. nin manyetik endüksiyon B nin zamanla deęişmesine baęlı olduęu anlaşılmaktadır. Keza bu alanda yapılan deneylerden endüksiyon e.m.k. nin bobinin yüzeyi ile bu yüzeyin B nin deęişmelerine göre durumuna baęlı olduęu anlaşılmaktadır. Bobinin yada iletkenin yüzeyi B ye normal olduęu zaman (dik) e.m.k maksimum, paralel olduęu zaman sıfırdır.

### 3.2.1. ENDÜKSİYON E.M.K. YÖNÜ VE DEĞERİ:

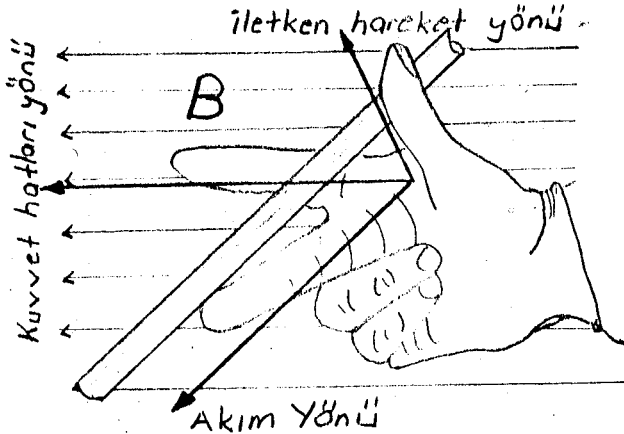
Değişen bir manyetik alanın kestiği bir bobinde meydana gelen endüksiyon e.m.k. veya endüksiyon akımının yönü, manyetik alanın yönüne bağlıdır. Yukarıdaki deneylerde meydana gelen endüksiyon akımının yönü kendisini meydana getiren manyetik akıyı doğuran akım yönüne zıt olduğu görülür. Yani endüksiyon akımının Yönü, esas akım yönüne tersdir. Bu bakımdan bu endüksiyon akımında meydana getireceği manyetik alanın yönü, kendisini meydana getiren manyetik alana zıt olup, ondaki değişimleri önleyecek şekildedir.

Bir endüksiyon olayı esnasında meydana gelen endüksiyon e.m.k nin Yönü Lenz kaidesi denilen bir kaide yardımı ile açıklanabilir. 1834 de bir Rus fizikçisi olan Emil Lenz(1804-1865) Henry'nin çalışmalarını hiç bilmeden ve Faraday'ın çalışmalarını da çok az öğrenerek elektromanyetik endüksiyonu keşfeden bir bilgidir.

#### LENZ KANUNU:

Bir endüksiyon olayı esnasında meydana gelen endüksiyon elektromotor kuvveti, hâsıl ettiği elektrik akımının manyetik alanı, kendisini hâsıl eden manyetik akı değişmelerine mani olacak yödedir.

Endüksiyon olayları neticesinde meydana gelen endüksiyon e.m.k Yönünü bulmak için fleming tarafından konulmuş olan sağ el kaidesi kullanılır. Şekil 3.20



Sağ el kaidesi: Baş parmak iletkenin hareket Yönünü işaret parmağı alan Yönünü gösterecek şekilde, iletken sağ ele alındığında, orta parmak meydana gelen endüksiyon e.m.k. Yönünü gösterir.

Şekil 3.20

Faraday Kanunu:

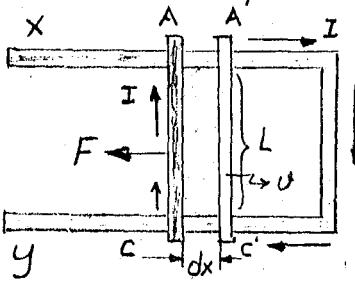
Faraday yaptığı deneylerden, bir bobinde ya da iletkeni kesen manyetik akı değiştiği zaman bobinde endüksiyon e.m.k meydana geldiğini ve bu e.m.k tin değerinin bobinin sarım sayısı ve akımın değişim hızı ile orantılı olduğunu bulmuştur. Sarım sayısını N'le ortalama e.m.k E<sub>ort</sub>la gösterilirse; bobindeki manyetik akı (t) saniyede  $\Phi$ , Weber değerinden  $\Phi_2$  Weber değerine geçtiği zaman, ortalama e.m.k tin değeri

$$E_{ort} = -N \frac{(\Phi_2 - \Phi_1)}{t} \text{ volt şeklinde elde edilir. Burada-}$$

ki (-) işareti e.m.k tin kendisini meydana getiren etkiye ters olduğunu gösterir. Endüksiyon e.m.k ti manyetik akının değişim hızı ile orantılı olduğuna göre manyetik akının (t) zamanına göre değişim hızı matematikte  $d\Phi/dt$  türevi ile ifade edildiğinden yukardaki bağıntı  $E = -N \frac{d\Phi}{dt}$  şekline sokulabilir. Bunu akı yoğunluğu cinsinden yazarsak  $E = -N.S \frac{dB}{dt}$  elde edilir. Bu eşitliğin kullanılabilmesi için S nin büyüklüğü ve yönü sabit olmalıdır. Halbuki şekil 3.19 (C) deki hareket endüksiyonunda iletken yukarı doğru yönelmiş düzgün bir alan içersine yerleştirilmiş olup her an iletkenin konumu değişmektedir. İletken A durumunda iken iletken  $\Phi_m = B.S$  maksimum kuvvet hattı kesmektedir. Burada B alanın manyetik endüksiyonu S de iletken yüzeyini göstermektedir. (S) m<sup>2</sup> ve B (Tesla) biriminde seçilirse ( $\Phi$ ) wb. biriminde bulunur. Şimdi bobin sabit bir açısal hızla ( $\omega$ ) saat ibresinin ters yönünde döndürüldüğüne göre her hangi bir (t) anında (S) iletken yüzeyinden geçen akı; yüzeyle, B'nin yüzeye normal bileşeninin çarpımına eşit olacağından  $\Phi = B.S \cos\alpha = \Phi_m \cos\omega t$  olacaktır. Bu suretle iletkenden geçen akımın zamanla değiştiği anlaşılır. Endüksiyon e.m.k'nin her hangi bir andaki değeri için;

$$e = -N \frac{d\Phi}{dt} = -N \frac{d(\Phi_m \cos\omega t)}{dt} = N.\omega.\Phi_m \sin\omega t = E_m \sin\omega t$$

bağıntısı elde edilir. Tek bir sarım için  $e = - \frac{d\Phi}{dt}$  dir.



Şekil 3.21

Şekil 3.21 de hareket endüksiyonuna ait başka bir örnek verilmiştir. X,Y paralel iki iletkeni AC de bu iletkenler üzerinde selbesçe kayabilen bir teli göstermektedir. U şeklindeki X,Y telinin düzleminin düzgün bir manyetik alanın B akı yoğunluğuna normal olacak şekilde yer aldığını farz edelim.  $\vec{v}$

B nin doğrultusu kağıt düzleminin arkasından önüne doğru olsun. AC nin sağa doğru dx gibi ufak bir miktar kaydığını farz edelim. Bu kayma dt zamanı zarfında olsun.  $e = - \frac{(\phi_2 - \phi_1)}{t}$  yada  $e = - \frac{d\phi}{dt}$  eşitliğine göre meydana gelen kapalı devrede bir en-

düksiyon e.m.k ve dolayısıyla bir endüksiyon akımı meydana gelir. Manyetik alanda bulunan bir akım Ampere kanununa göre bir  $F = B \cdot I \cdot L$  kuvvetine maruz kalır. Burada B akı yoğunluğu I akım L de hareketli AÇ telinin boyudur. F kuvveti lenz kanununa göre akı değişmelerine mani olarak Yönde, yani Şekil 3.21 de olduğu gibi sola doğrudur. Kuvvetin bu yolda olması için (I) akım sol el kaidesine göre A C üzerinden A ya doğru olmalıdır. Telin bu kuvvet tesirinde dx kadar hareket etmesi için  $dw = Fdx = -BLdx$  işi yapılmalıdır. L. dx = ds yüzey değişimini gösterdiği için manyetik endüksiyonla (B) çarpılırsa  $d\phi = BLdx$  akı değişimi elde edilir.

$$dw = -I d\phi, I = \frac{dq}{dt} \text{ ve } \frac{dw}{dt} = E \text{ olduğundan}$$

bu eşitlikler  $dw = I \cdot d\phi$  bağıntısında yerine konulursa

$$E dq = - \frac{dq}{dt} \cdot d\phi \text{ ve } E = - \frac{d\phi}{dt} \text{ bulunur. N sarımlı}$$

olarak AC teli düşünülürse  $E = -N \frac{d\phi}{dt}$  bulunur.

$$dw = F \cdot dx = -BLI \cdot dx \text{ eşitliğinin terimleri ;}$$

$$dw = E \cdot dq = -BLI \cdot dx \text{ ve } I = \frac{dq}{dt} \text{ olduğundan}$$

$$E \cdot dq = - \frac{B \cdot dq \cdot L \cdot dx}{dt} \text{ ve AC telinin hızı } v = \frac{dx}{dt} \text{ oldu-}$$

ğundan  $E = -BL \cdot v$  elde edilir. Başka bir şekilde hareketi iletkene etkileyen itme kuvveti

$F = I \cdot L \cdot B$  ve dt müddetince hız v olduğuna göre gidilen yol  $dx = v \cdot dt$  Yapılan iş  $dw = F \cdot dx = I \cdot L \cdot B \cdot v \cdot dt$  dir.

Bu iş dt çarpıma da müddet zarfında

Fakat  $Idt$  çarpımı bu müddet zarfında yer değiştiren  $dq$  yüküdür. O halde  $dw = BL\theta dq$  yazılabilir.  $dw/dq$  e.m.k. eşitlenirse  $E = B.L\theta$  bulunur. (B) wb/m<sup>2</sup> (L) metre ve ( $\theta$ ) m/S alınırse E volt olarak bulunur. Endüksiyon e.m.k.  $E = - \frac{d\phi}{dt} B.L\theta$  olduğunu şu şekilde ispatlayabiliriz.

Şekil 3.21 de AC iletkeni  $dx$  kadar uzaklığa giderken taranan alan  $ds = L.dx$  olup bu yüzeyden geçen akı  $d\phi = B.ds = B.L.dx$  dir. Her iki taraf  $dt$  ye bölüldüğünde  $\frac{d\phi}{dt} = B.L \frac{dx}{dt} = B.L\theta$  elde edilir. Böylece bir devrede endüklenen e.m.k in sayıca değerinin, arasından geçen akının değişim oranına eşit olduğunu gösterir.

Alan çizgileri hareket düzlemine dik değilse B yerine B nin  $\theta$  ye dik bileşeni kullanılacağından endüksiyon e.m.k

$E = -B.L\theta \sin \alpha$  yazılmalıdır.

Transformasyon endüksiyonunda endüksiyon e.m.k ti

$$e = -N \frac{d\phi}{dt} = N.W.\phi_m \sin wt = E_m \sin wt$$

$$E_m = E.\sqrt{2} \text{ ve } W = 2\pi f \text{ olduğundan}$$

$$E_m = N.W.\phi_m = N.2\pi f .\phi_m \text{ olduğundan her iki tarafı } \sqrt{2} \text{ bölersek}$$

$$E = \frac{2\pi}{\sqrt{2}} \cdot f.\phi.N = 4,44.f.\phi.N \text{ bağıntısı elde edilir.}$$

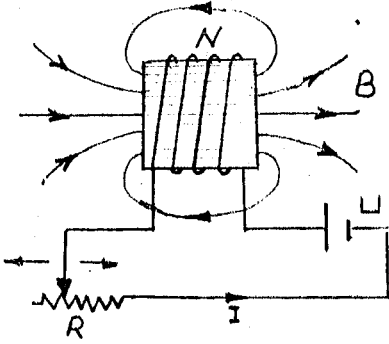
( $\phi$ ) manyetik akı maksvel cinsinden seçilirse

$$E = 4,44.f.\phi.N.10^{-8} \text{ volt bulunur. } \phi = B.S \text{ olduğundan kar-}$$

sılıklı yada transformasyon endüksiyon e.m.k. ti için

$$E = 4,44.f.B.S.N. \text{ bağıntısı yazılabilir.}$$

### 3.2.2. ÖZ İNDÜKLEME (SELF ENDÜKSİYON)



Şekil 3.22.

Her hangi bir devrede bir akım var olduğu vakit bir manyetik alan hasıl olur. Bu alan şekil 3.22 de görüldüğü gibi devrenin kendisindedinde geçmekte olup, akım değiştiği vakit alanda değişir. O halde içersinden değişken bir akım geçmekte olan her hangi bir devrede, kendi manyetik

alanın değişimi sebebi ile bir e.m.k indüklenir. Örneğin şekil 3.22 de görüldüğü gibi reasta yardımı ile akım değiştirildiğinde bobinden geçen  $\Phi$  akısı değişir ve dolayısıyla N sarımlı bobinde bir e.m.k indüklenir. O halde bir devreden geçen akım değişimi, bu akım tarafından meydana getirilen akıyı değiştirmekte, aynı devre bu değişik manyetik alan içinde kalacağından devre üzerinde bir endüksiyon e.m.k meydana gelmektedir. Bu e.m.k. lenz kanununa göre kendisini doğuran sebebe ters yöndedir. E.M.K. sebebi akımdaki artma yada azalmadır. Eğer akım artmakta ise, endüksiyon e.m.k nin yönü eşas akım Yönüne terstir. Eğer akım azalmakta ise endüksiyon e.m.k ve akım aynı yöndedir. Görülüyorki endüksiyon e.m.k ti tarafından kendisine karşı gelinen şey akımın kendisi değil, fakat akımdaki değişimdir.

Manyetik akınının değişmesi bobinin yada iletkenin kendi akımında değişmeden dolayı meydana geldiğinden bu suretle meydana gelen gerilime; kendi kendine manasına gelen self endüksiyon e.m.k yada öz indükleme e.m.k adı verilir. Olayada özindükleme olayı *denir*.

Diğer endüktanslarda olduğu gibi self endüksiyon (özindükleme) e.m.k, ti de benzer şekilde

$$e_s = -N \frac{d\Phi}{dt} \quad \text{yada} \quad e_s = - \frac{d\Phi}{dt} \quad \text{formülleri yardımı ile}$$

bulunur.

Akım birimi başına geçen akı sarım sayısına, devrenin (L) self endüktansı (özindükleme kat sayısı veya self endüksiyon kat sayısı) adı verilir.

$$L = \frac{N \cdot \Phi}{I} \quad \text{Buna göre self endüktans birimi amper}$$

başına Weber-Sarım dırki, buna Joseph Henry onuruna kısaca henri adı verilir. Tek sarımlı düz bir iletken için  $L = \frac{\Phi}{I}$  dir. I yerine  $\dot{I}$  kullanmamız, akımın değiştiğini ve değişen büyüklüğü göstermemiz içindir.

Bir devrenin self-endüktansı (özindükleme katsayısı) devrenin sarım sayısına, biçimine, büyüklüğüne kısacası fiziksel yapısına bağlıdır.  $L = \frac{N \cdot \Phi}{I}$  bağıntısını

$N \cdot \Phi = L \cdot I$  şeklinde yazıp her iki tarafın t ye göre türevini alırsak;

$$N \frac{d\Phi}{dt} = L \frac{dI}{dt} \quad \text{elde edilirki, self endüksiyon e.m.k ti}$$

$e_s = -N \frac{d\Phi}{dt}$  olduğundan benzer şekilde eşitlikten  $e_s = -L \frac{dI}{dt}$  yazılabilir. Bu ifadeye göre; eğer bir devreden geçen akım her bir saniyede 1 amper değiştiği vakit, o devrede endüksiyonla bir voltluk bir e.m.k endükleniyorsa bu devrenin endüktansı (L) bir henridir denir. Pratikte bu birim değeri büyük olduğundan bunun yerine ekseriye mili henri değeri kullanılır.  $1mH = 10^{-3} H$  dir.

$$\text{Manyetik devrelerde } \Phi = \frac{F}{R} = \frac{NI}{R} = G \cdot NI \quad \text{dir.}$$

Burada R manyetik direnç olup buna relüktans da denir. Şayet endüktanslı bir devrede her sarımdan aynı  $\Phi$  akısı geçecek olursa N sarım için toplam akı  $\Phi_T = N \cdot \Phi = \frac{N^2}{R} \cdot I$  olurki

$\frac{N^2}{R}$  ye L denirse  $\Phi_T = L \cdot I$  yazılabilir. Bu eşitlikten

$$L = \frac{\Phi_T}{I} = \frac{N \cdot \Phi}{I} \quad \text{bağıntısı tekrar bulunur. Self endüksiyon}$$

gerilimi  $e_s = -N \frac{d\Phi}{dt}$  veya  $e_s = -L \frac{dI}{dt}$  olup bu iki for-

mülü eşitlersek;

$N \cdot d\Phi \cdot dt = L \cdot dI \cdot dt$  her iki tarafın integralini alırsak

$$N \cdot \Phi = L \cdot I \quad \text{den } L = \frac{N \cdot \Phi}{I} \quad \text{tekrar bulunur. } \Phi = B \cdot S = M \cdot H \cdot S = \frac{NI}{L} \cdot S$$

olup  $\Phi$  nin yerine bu değeri yazarsak;

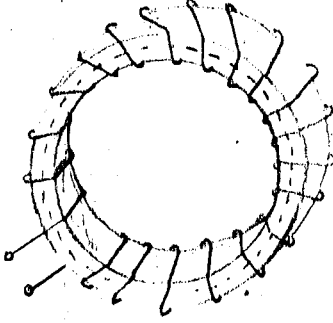
$$L = \frac{N \cdot NI}{I} = \frac{N^2 \cdot M \cdot S}{L} \quad \text{Henri bulunur.}$$



Bu bağıntıya göre devrenin endüktansının, devrenin fiziksel yapısına bağlı olduğu anlaşılır.

$$L = \frac{N^2 \cdot \mu \cdot S}{l} = \frac{N^2}{\frac{l}{\mu \cdot S}} \quad \text{JLS} = 1 \text{ Henri bulunur.}$$

Örnek :



Yandaki nüvenin çevresi 20 cm ve kesit yüzölçümü  $1 \text{ cm}^2$  dir. Nüve 100 siper olacak şekilde sarılmıştır.  $\mu_r = 1000$  olduğuna göre endüktansını hesaplayınız.

$$B = \mu_r \cdot \mu_0 \cdot \frac{N \cdot i}{L} = \frac{1000 \cdot 4\pi \cdot 10^{-7} \cdot 100 \cdot i}{0,20}$$

$$B = 0,63 \cdot i \text{ wb/amp-m}^2 \text{ dir.}$$

$$\Phi = B \cdot S = 0,63 \cdot i \cdot 10^{-4} \text{ m}^2 = 6,3 \cdot 10^{-5} \cdot i \text{ wb/Amp}$$

$$L = \frac{N \cdot \Phi}{i} = \frac{100 \cdot 6,3 \cdot 10^{-5} \cdot i}{i} = 6,3 \cdot 10^{-3} \text{ wb-sarım/Amp} = 6,3 \cdot 10^{-3} \text{ Henri}$$

bulunur.

### 3.2.3 ALTERNATİF AKIM DEVRELERİNDE ENDÜKTANS:

Endüktans; Bir devredeki akımın her türlü değişmelerine karşı o devrenin karşı koyma özelliği olarak ifade edilebilir. Endüktans, üzerinden geçen akım değişmelerine karşı koyan, manyetik enerji depolayan devre elamanıdır. L harfi ile gösterilir birimi Henridir.

Bir iletken yada bir bobin etrafında meydana gelen manyetik alan, o iletken yada bobinden geçen akıma tabi olarak değişir. İletkenden geçen akım alternatif akımsa, iletken etrafında meydana gelen alanda alternatif manyetik alandır. Bir iletkenden geçen akım artarsa, meydana gelen manyetik akı yine o iletkeni keser ve onda öyle bir gerilim endüklerki bu gerilim akımın artmasına karşı koyar. Eğer akım azalacak olursa meydana gelen manyetik akının kuvvet hatları iletkeni bir evvelkinin karşı yönde keserek ondan geçmekte olan akımın aynı yönde devam etmesine çalışan bir gerilim endükler. Bu gerilime self endüksiyon yada özindükleme gerilimi denirdiği daha önce açıkladık. Bu gerilimin zıt etkisi lenz kanununa göre ifade edilir.

Doğru akım devrelerinde zıt etki ancak anahtar kapandığı yada açıldığı anlarda kısa bir müddet için meydana geldiği halde; Alternatif akım devrelerinde akımın sinüsoidal olarak değişmesinden bu zıt etki; devamlı suretle self-endüksiyon e.m.k meydana geldiğinden, bu gerilim akımdaki değişmelere karşı durur, Bundanda anlaşıldığı gibi alternatif akım devrelerinde akımın geçmesine omik dirençten başka self endüksiyon gerilimi yani devrenin endüktansı da karşı koyar.

Endüktansın etkisi kısa doğrusal bir iletkende oldukça küçüktür. Devre bir bobin şeklinde bir çok sarımdan meydana gelmişse endüktans oldukça büyük olur. Bobin içersine demir konursa endüktansın etkisi bir kat daha artar. Uzun iletim hatlarında endüktansın etkisi oldukça önemlidir.

Endüktansın her hangi bir akım değişmesine karşı durması, akımın en büyük ve en küçük değerlerini gerilimden daha sonra almasına sebep olur. Bir alternatif akım devresinde akımın geçmesine endüktansın gösterdiği zorluğa "endüktif reaktans" adı verilir.

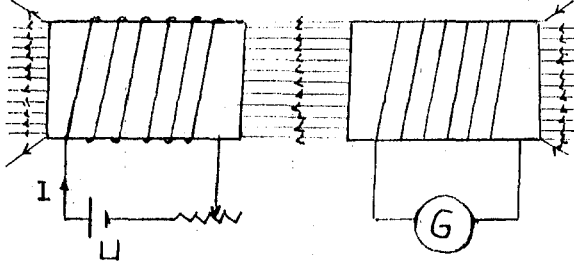
Endüktif reaktans,  $X_L = \omega.L = 2\pi.f.L$  formülünden ohm olarak hesaplanır. Bağlıtıdan anlaşılacağı üzere endüktif reaktans; frekans ve endüktansla doğru orantılıdır.

Yalnız endüktansı olan bir alternatif akım devresinden geçen akım  $i = I_m \sin \omega t$  şeklinde bir sinüsoidal fonksiyon olsun. Endüktans uçlarındaki gerilim

$$e = L \frac{di}{dt} = L \frac{d}{dt} (I_m \sin \omega t) \text{ den}$$

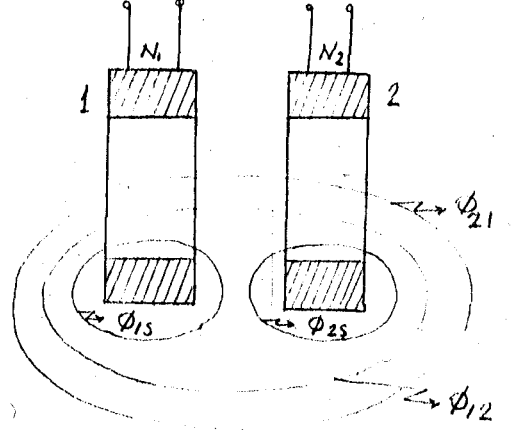
$e = L.\omega.I_m \cos \omega t = \omega L.I_m \cos \omega t = E_m \cos \omega t = E_m \sin(\omega t + 90^\circ)$  bulunur. Bu ifadeye göre sırf endüktanslı bir devrede akım gerilimden  $90^\circ$  geri kalmaktadır.

3.2.4 KARŞILIKLI ENDÜKTANS (ORTAK ENDÜKTANS):



(a)

Şekil 3.23



(b)

Şekil a da görüldüğü gibi eksenleri aynı doğrultuda olan veya bir birine yakın iki bobin alalım bu bobinlerden birinden doğru akım geçirdiğimizde meydana gelen manyetik alan öbür bobinide kavrar. Eğer bobinden geçen akım şiddetini değiştirirsek manyetik alanın değeride değişir. Bu değişen alan içinde kalan ikinci bobinde endüksiyonla bir e.m.k endüklenirki bu e.m.k te karşılıklı endüksiyon e.m.k. adı verilir. Eğer bobine doğru akım yerine alternatif akım uygulanırsa; 2 inci bobin devamlı suretle değişen bir alternatif manyetik alan içinden kalacağından üzerinde devamlı surette karşılıklı endüksiyon e.m.k. hasıl olur. Bobinler transformatorlardaki gibi bir demir nüve üzerine yerleştirilirse bir bobinin meydana getirdiği manyetik akı öbür bobini daha çok kavrar. Buna sıkı kuplaj adı verilir. Bobinler arasındaki uzaklık çok fazla veya bobin eksenleri bir birne dik ise kuplaj sıfırdır.

İkinci bobinde karşılıklı endüksiyon e.m.k. ti ( $E_s$ ) birinci bobindeki ( $dI_p/dt$ ) akım değişimi ile orantılıdır. Bir orantı sabiti kullanarak  $E_s = -M \frac{dI_p}{dt}$  eşitliği yazılabilir. Buradaki M katsayısı iki devrenin karşılıklı endüksiyon katsayısıdır. Primer(1inci)bobinde akım  $I_{amp}/s_n$ . Hızla değiştiği zaman sekonderde(2inci)l voltluk endüksiyon e.m.k. ti meydana gelirse, iki bobinin karşılıklı endüksiyon katsayıları 1 Henri olur.

$\emptyset$  weber, I amper alınırrsa;

$$E_s = -M \frac{dI_p}{dt} = -N_s \frac{d\emptyset_s}{dt} \text{ buradan } M dI_p = N_s \cdot d\emptyset$$

ve  $M = N_s \frac{d\emptyset_s}{dI_p}$  Henri olarak bulunur. Primerin bütün akısı sekonderden geçtiği özel halde manyetik kaçak yoktur denir. Bu durumda yukardaki eşitlik  $\emptyset_s = \emptyset_p$  olduğundan;

$$M = N_s \frac{\emptyset_p}{I_p} \text{ şeklini alır.}$$

Şekil 3.23 (b) de ortak endüktans şu şekilde izah edilebilir. Birinci bobinden geçen  $i_1$  akımı  $\emptyset$  akısı meydana getirir. Bu akının bir kısmı hem birinci bobini ve hemde ikinci bobini ( $\emptyset_{12}$ ), geri kalanıda ( $\emptyset_{1s}$ ) yalnız birinci bobini kavrar.  $\emptyset_1 = \emptyset_{1s} + \emptyset_{12}$  olarak gösterilebilir. Yalnız birinci bobini kavrayan  $\emptyset_{1s}$  akısına kaçak akıda denir. Aynı şekilde ikinci bobinden geçen  $i_2$  akımı da  $\emptyset_2$  manyetik akısını meydana getirir. Bu akının da bir kısmı hem ikinci ve hende birinci bobini ( $\emptyset_{21}$ ), geri kalanıda yalnız ikinci bobini ( $\emptyset_{2s}$ ) kavrar. Bu akı içinde  $\emptyset_2 = \emptyset_{2s} + \emptyset_{21}$  yazılabilir. Burada da ( $\emptyset_{2s}$ ) kaçak akıdır. Birinci bobinin sarım sayısı ( $N_1$ ) le, ikinci bobinin sarım sayısı  $N_2$  ile gösterilirse; Her sarımdan aynı akı geçeceğine göre, 1 inci bobin tarafından ikinci bobinden geçirilen toplam akı,  $\Psi_{12} = N_2 \cdot \emptyset_{12}$  aynı şekilde 2 inci bobininde birinci bobinden geçirdiği toplam akı  $\Psi_{21} = N_1 \cdot \emptyset_{21}$  dir. Bu akılar tarafından karşılıklı endüksiyon yolu ile birinci ve ikinci bobinde endüklenen karşılıklı endüksiyon gerilimleri;

$$e_1 = - \frac{d\Psi_{21}}{dt} = -N_1 \frac{d\emptyset_{21}}{dt}$$

$$e_2 = - \frac{d\Psi_{12}}{dt} = -N_2 \frac{d\emptyset_{12}}{dt} \text{ dir. } \Psi_{12} \text{ ve } \Psi_{21} \text{ toplam}$$

akıları için self endüksiyonda olduğu gibi ( $\emptyset_T = L \cdot i$ )

$$\Psi_{12} = M_{12} \cdot i_1 \text{ ve } \Psi_{21} = M_{21} \cdot i_2 \text{ bağıntıları yazılabilir.}$$

Burada ( $M_{12}$ ) birinci bobinin ikinci bobine göre, ( $M_{21}$ ) de ikinci bobinin birinci bobine göre ortak endüktanslarıdır. Şekil 3.23 (b) de  $\Phi_{12}$  ve  $\Phi_{21}$  manyetik akılarına karşı gösterilen relüktans aynı olacağından;

$$\Phi_{12} = \frac{F_1}{R_{m1}} = \frac{N_1 \dot{i}_1}{R_m} \quad , \quad \Phi_{21} = \frac{F_2}{R_{m2}} = \frac{N_2 \dot{i}_2}{R_m} \quad \text{yazılabilir.}$$

$$\Psi_{12} = N_2 \cdot \Phi_{12} \quad \text{keza} \quad \Psi_{21} = N_1 \cdot \Phi_{21} \quad \text{ve} \quad \Psi_{12} = M_{12} \dot{i}_1, \quad \Psi_{21} = M_{21} \dot{i}_2$$

$$\text{olduğundan} \quad M_{12} = M_{21} = M = \frac{\Psi_{21}}{\dot{i}_2} = \frac{\Psi_{12}}{\dot{i}_1} = \frac{N_1 \cdot N_2}{R_m} \quad \text{bağın-}$$

tısı bulunur. Buradan iki bobinin tek bir ortak endüktansa sahip oldukları sonucuna varılır. Karşılıklı endüktansa sahip oldukları sonucuna varılır. Karşılıklı endüksiyon yolu iki bobinde indüklenen gerilimler için;

$$e_1 = -M \frac{d\dot{i}_2}{dt} \quad \text{ve} \quad e_2 = -M \frac{d\dot{i}_1}{dt} \quad \text{bağıntıları yazılabilir.}$$

Bir manyetik devrede kuplaj sıkı veya gevşek olabilir. Bu kuplajın derecesini belli etmek için kuplaj katsayısı kavramından yararlanılır. Kuplaj katsayıları;

$$K_1 = \frac{\Phi_{12}}{\Phi_1} \quad \text{ve} \quad K_2 = \frac{\Phi_{21}}{\Phi_2} \quad \text{oranı ile belirlenir. Diğer}$$

tarafından karşılıklı endüktans katsayısı için;  $\Phi_{12} = k_1 \cdot \Phi_1$  ve

$$\Phi_{21} = \Phi_2 \cdot K_2 \quad \text{olduğundan} \quad M = \frac{N_2 \cdot \Phi_{12}}{\dot{i}_1} = \frac{N_1 \cdot \Phi_{21}}{\dot{i}_2} \quad \text{bağıntılarından}$$

$$M^2 = K_1 \cdot K_2 \cdot \frac{N_1 \cdot \Phi_1}{\dot{i}_1} \cdot \frac{N_2 \cdot \Phi_2}{\dot{i}_2} \quad \text{yazılabilir.} \quad \frac{N_1 \cdot \Phi_1}{\dot{i}_1} = L_1 \quad \text{ve}$$

$$\frac{N_2 \cdot \Phi_2}{\dot{i}_2} = L_2 \quad \text{olup yukardaki bağıntı} \quad M^2 = K_1 \cdot K_2 \cdot L_1 \cdot L_2$$

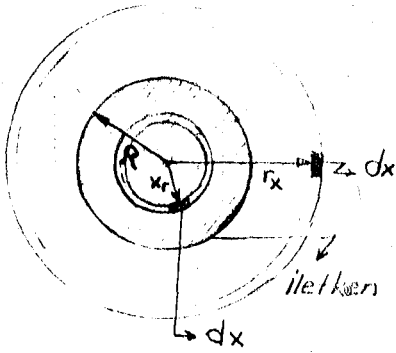
olur. Ortak endüktans da  $M = \sqrt{k_1 \cdot k_2} \cdot \sqrt{L_1 \cdot L_2}$  olur.  $L_1$  ve  $L_2$  bobinlerin endüktansı,  $\sqrt{k_1 \cdot k_2} = k$  da iki bobin ortak kuplaj katsayısıdır.

Bu duruma göre ortak endüktans katsayısı  $M = k \sqrt{L_1 \cdot L_2}$  henri olarak bulunur.  $k_1$  ve  $k_2$  daima birden küçük olacağından  $k$  kuplaj katsayısı da birden küçüktür. Manyetik kuplajın olmaması halinde  $k = 0$  olur.

### 3.3. İLETİM HATLARINDA ENDÜKTANS HESABI:

İletim hatlarında endüktans önemli bir sabitedir. Bilindiği gibi iletkenlerden geçen akımdan dolayı hatların içinde ve dışında bir manyetik akı oluşmakta, buda endüktansın doğmasına neden olmaktadır. Bir hattın L endüktansını hesaplamak için önce bir iletkenin ne kadar akı ile kavrandığı bilinmelidir.

Bunun için yarı çapı R olan şekil 3.24 de gösterilen bir tek iletken hareket edilir.



Şekil 3.24

İletkenin içinde x mesafesindeki

$$\text{alan şiddeti } H_x = \frac{I_x}{2\pi \cdot x} \text{ ve } B$$

$$\text{endüksiyonunda } B = \mu_0 \cdot H_x = \frac{\mu_0 \cdot I_x}{2\pi \cdot x}$$

dir. İletkenin geçen toplam akım  $I$  olduğuna göre  $I_x = \frac{x^2}{R^2} \cdot I$

dir.  $I_x$  yerine bu eşitliği yazarsak

$$B = \frac{\mu_0 \cdot x \cdot I}{2\pi R^2} \text{ olur.}$$

$dx$  genişliğinde 1 birim uzunluğunda yüzeyi kesen akı  $\Phi = B \cdot S$  bağıntısından  $d\Phi = B \cdot L \cdot dx$  olup 1 birim uzunlukta alındığına göre  $d\Phi = B \cdot dx \cdot 1 = B \cdot dx$  olur. Bu akıyı  $I$  toplam akımı değil  $I_x$  akımı sarar. Bunu  $I_x$  akımı cinsinden ifade etmek istersek

$\frac{I_x}{I} = \frac{x^2}{R^2}$  katsayısı ile çarpılması gerektiğinden, şu halde iletken akımının halkalanma akısı olarak

$$d\Phi = B \cdot dx \cdot \frac{x^2}{R^2} = \mu_0 \cdot \frac{x^3}{2\pi r^4} \cdot I \cdot dx \quad \text{3-1}$$

bağıntısı elde edilir.

İletken içersinde iletkeni tümüyle kavrayan akıyı bulmak için  $d\Phi$ 'nin sıfırdan R ye kadar integralini almak gerekir.

$$d\Phi = \mu_0 \frac{x^3}{2\pi R^4} \cdot I \cdot dx \text{ eşitliğinin integrali alınır}$$

$$\Phi = \int_0^R \frac{\mu_0 x^3}{2\pi r^4} \cdot I \cdot dx = \frac{\mu_0 \cdot I}{2\pi r^4} \int_0^R x^3 \cdot dx = \frac{\mu_0 \cdot I}{2\pi r^4} \cdot \frac{x^4}{4}$$

buradan  $\Phi = \frac{\mu_0}{8\pi} \cdot I$  bulunur.  $x = r$  dir.

0 halde birim uzunluk için iletkenin içindeki akı

$$\phi' = \frac{\mu_0}{8\pi} \cdot i$$

3-2

dir.

İkinci olarak iletkenin dışındaki akıyı bulalım. Bunun için iletken dışında  $r_x$  gibi bir uzaklık düşünelim.  $r_x$  uzaklığındaki alan şiddeti  $H_{r_x} = \frac{i}{2\pi r_x}$  olup akımı iletken geçen akıdır.  $B = \mu_0 \cdot H_{r_x}$  den, iletkenin dışındaki manyetik endüksiyon içinde  $B = \mu_0 \cdot \frac{i}{2\pi r_x}$  bağıntısı yazılabilir.

İletken dışında bütün kuvvet hatları akımının tamamı ile halkan olduğundan,  $d\phi'' = B \cdot dr_x$  olup  $B \cdot dr_x$  ifadesinin R den büyük (iletkenin yarı çapından) mesela r ye kadar integralini alırsak, iletkenin dışındaki iletkeni kavrayan akı ( $\phi''$ ) elde edilir.

$$d\phi'' = B \cdot dr_x \text{ den } \phi'' = \int_R^r B \cdot dr_x = \int \frac{\mu_0 \cdot i}{2\pi r_x} \cdot dr_x \text{ ve}$$

$$\phi'' = \frac{\mu_0 \cdot i}{2\pi} \int_R^r \frac{1}{r_x} \cdot dr_x = \frac{\mu_0 \cdot i}{2\pi} \cdot \left| \ln r_x \right|_R^r = \frac{\mu_0 \cdot i}{2\pi} (\ln r - \ln R) \text{ den}$$

$$\phi'' = \frac{\mu_0 \cdot i}{2\pi} \cdot \ln \frac{r}{R}$$

3-3

bulunur.

Böylece iletkeni kavrayan toplam akı;

$$\phi = \phi' + \phi'' = \frac{\mu_0 \cdot i}{8\pi} + \frac{\mu_0 \cdot i}{2\pi} (\ln \frac{r}{R}) \text{ den}$$

$$\phi = \frac{\mu_0 \cdot i}{2\pi} \left( \frac{1}{4} + \ln \frac{r}{R} \right)$$

3-4

bağıntısı elde edilir.

(İletkenin iç akı hesabında deri olayı göz önüne alınmamıştır. Yani akımın tüm kesite eşit dağıldığı düşünülmüştür.)

Diğer taraftan akı ile akım arasında  $\phi = L \cdot i$  bağıntısı olduğundan;

$$\frac{\mu_0}{2\pi} \cdot i \cdot \left( \frac{1}{4} + \ln \frac{r}{R} \right) = L \cdot i \text{ den iletkenin birim uzun-$$

luk için endüktansı;

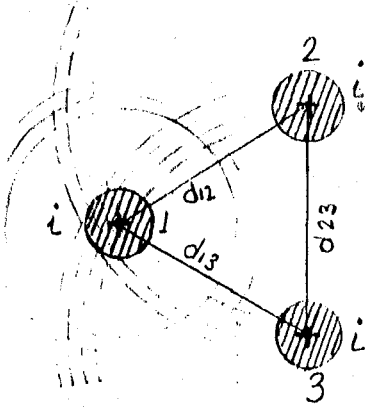


$$L = \frac{\mu_0}{2\pi} \left( \frac{1}{4} + \ln \frac{r}{R} \right)$$

henri (H) olarak bulunur.

### 3.3.1. ÜÇ İLETKENLİ HAT:

Şekil 3.25 de görüldüğü gibi üç iletkenli bir sistem düşünelim. İletkenlerin yarı çapları  $R_1, R_2, R_3$ , iletkenlerden bizden kağıt düzlemine doğru geçen akımlarda  $i_1, i_2, i_3$  olup,  $i_1 + i_2 + i_3 = 0$  olduğunu varsayalım. İletkenler arasındaki uzaklık; 1 ile 2 arası ( $d_{12}$ ) 2 ile 3 arası ( $d_{23}$ ) ve 3 ile 1 arası ( $d_{13}$ ) olsun.



1 nolu iletkenin hakiki halkalanma akısını elde etmek için yalnız kendi akımı tarafından meydana getiren manyetik kuvvet hatlarından başka 2 ve 3 nolu iletkenlerden geçen akımların meydana getirdikleri kuvvet hatlarından bir bölümünde bu iletkenide kavradığından bu kuvvet hatlarında hesaba katılması gerekir.

Şekil 3.25

Şekil 3.25 de görüldüğü gibi 1 nolu iletken, yalnız kendi kuvvet hatları tarafından sarılmayıp şekilde kesik çizgilerle gösterilen 2 ve 3 nolu iletkenlerden geçen  $i_2$  ve  $i_3$  nolu akımlarının meydana getirdiği kuvvet hatlarının bir bölümü tarafından sarılmıştır. 3-4 nolu bağıntıdan

$$\Phi = \frac{\mu_0 \cdot i_1}{2\pi} \left( \frac{1}{4} + \ln \frac{r}{R} \right) \text{ yararlanarak } i_1 \text{ akımının}$$

1 nolu iletkendeki halkalanma akısı  $\Phi_{11} = \frac{\mu_0 \cdot i_1}{2\pi} \left( \frac{1}{4} + \ln \frac{r}{R} \right)$   $d_{12}$  ve  $d_{13}$  rin R eşit kabul edilmesi halinde,  $i_2$  akımının

1 nolu iletken üzerindeki halkalanma akısı

$$\Phi_{12} = \frac{\mu_0 \cdot i_2}{2\pi} \left( \ln \frac{r}{d_{12}} \right)$$

$i_3$  akımının 1 nolu iletken üzerindeki halkalanma akısı

$$\phi_{13} = \frac{M_0 \cdot i_3}{2\pi} \left( \text{Ln} \frac{r}{d_{13}} \right) \quad \text{olacağından,}$$

1 nolu iletkeni kavrayan toplam akı ise

$$\phi_1 = \phi_{11} + \phi_{12} + \phi_{13} = \frac{M_0}{2\pi} \cdot i_1 \left( -\frac{1}{4} + \text{Ln} \frac{r}{R_1} \right) + \frac{M_0}{2\pi} \cdot i_2 \cdot \text{Ln} \frac{r}{d_{12}} + \frac{M_0}{2\pi} \cdot i_3 \text{Ln} \frac{r}{d_{13}}$$

$$\text{veya } \phi_1 = \frac{M_0}{2\pi} \left( (i_1 + i_2 + i_3) \text{Ln} r + i_1 \left( \text{Ln} \frac{1}{R_1} + \frac{1}{4} \right) + i_2 \text{Ln} \frac{1}{d_{12}} + i_3 \text{Ln} \frac{1}{d_{13}} \right)$$

olur.  $i_1 + i_2 + i_3 = 0$  olduğundan;

$$\phi_1 = \frac{M_0}{2\pi} \left[ i_1 \left( \text{Ln} \frac{1}{R_1} + \frac{1}{4} \right) + i_2 \text{Ln} \frac{1}{d_{12}} + i_3 \text{Ln} \frac{1}{d_{13}} \right] \quad 3-6$$

elde edilir.

Aynı şekilde 2 ve 3 nolu iletkenleri kavrayan akılar için de;

$$\phi_2 = \phi_{22} + \phi_{21} + \phi_{23} = \frac{M_0}{2\pi} \left[ i_2 \left( \text{Ln} \frac{1}{R_2} + \frac{1}{4} \right) + i_1 \frac{1}{d_{21}} + i_3 \text{Ln} \frac{1}{d_{23}} \right]$$

3-7

$$\phi_3 = \phi_{33} + \phi_{31} + \phi_{32} = \frac{M_0}{2\pi} \left[ i_3 \left( \text{Ln} \frac{1}{R_3} + \frac{1}{4} \right) + i_1 \frac{1}{d_{31}} + i_2 \text{Ln} \frac{1}{d_{32}} \right]$$

bağıntıları yazılabilir. Bu bağıntılarda gerekli kısaltmaları yapmak için;

$$M_{11} = \frac{M_0}{2\pi} \left( \text{Ln} \frac{1}{R_1} + \frac{1}{4} \right), \quad M_{22} = \frac{M_0}{2\pi} \left( \text{Ln} \frac{1}{R_2} + \frac{1}{4} \right), \quad M_{33} = \frac{M_0}{2\pi} \left( \text{Ln} \frac{1}{R_3} + \frac{1}{4} \right)$$

$$M_{12} = \frac{M_0}{2\pi} \text{Ln} \frac{1}{d_{12}}, \quad M_{13} = \frac{M_0}{2\pi} \text{Ln} \frac{1}{d_{13}}, \quad M_{21} = \frac{M_0}{2\pi} \text{Ln} \frac{1}{d_{21}}, \quad M_{23} = \frac{M_0}{2\pi} \text{Ln} \frac{1}{d_{23}}$$

$$M_{31} = \frac{M_0}{2\pi} \text{Ln} \frac{1}{d_{31}}, \quad M_{32} = \frac{M_0}{2\pi} \text{Ln} \frac{1}{d_{32}} \quad 3-8$$

eşitlikleri kullanılırsa,

$$\phi_1 = \phi_{11} + \phi_{12} + \phi_{13} = i_1 M_{11} + i_2 M_{12} + i_3 M_{13}$$

$$\phi_2 = \phi_{21} + \phi_{22} + \phi_{23} = i_1 M_{21} + i_2 M_{22} + i_3 M_{23}$$

3-9

$$\phi_3 = \phi_{31} + \phi_{32} + \phi_{33} = i_1 M_{31} + i_2 M_{32} + i_3 M_{33}$$

bağıntıları elde edilirki;

Bu bağıntılarda  $M_{11}, M_{22}, M_{33}$  iletkenlerin self endüktans katsayıları  $M_{12}, M_{13}, M_{21}, M_{23} \dots$  de karşılıklı endüktans katsayılarıdır. Yukardaki bağıntıları matrisle ifade edersek;

$$\begin{bmatrix} \phi_1 \\ \phi_2 \\ \phi_3 \end{bmatrix} = \begin{bmatrix} M_{11} & M_{12} & M_{13} \\ M_{21} & M_{22} & M_{23} \\ M_{31} & M_{32} & M_{33} \end{bmatrix} \begin{bmatrix} i_1 \\ i_2 \\ i_3 \end{bmatrix} \quad 3-10$$

matrisi yazılabilir.

Genel şekli ile  $[\phi] = [M][i]$  olur. Çıkartılan bu matris denklemini istenilen sayıda iletkenler için de genişletilebilir.

$$\begin{bmatrix} \phi_1 \\ \phi_2 \\ \phi_3 \\ \phi_4 \\ \dots \\ \phi_n \end{bmatrix} = \begin{bmatrix} M_{11} & M_{12} & M_{13} & M_{14} & \dots & M_{1n} \\ M_{21} & M_{22} & M_{23} & M_{24} & \dots & M_{2n} \\ M_{31} & M_{32} & M_{33} & M_{34} & \dots & M_{3n} \\ M_{41} & M_{42} & M_{43} & M_{44} & \dots & M_{4n} \\ \dots & \dots & \dots & \dots & \dots & \dots \\ M_{m1} & M_{m2} & M_{m3} & M_{m4} & \dots & M_{mn} \end{bmatrix} \begin{bmatrix} i_1 \\ i_2 \\ i_3 \\ i_4 \\ \dots \\ i_n \end{bmatrix} \quad 3-11$$

Bu bağıntılar genel anlamda Maxwell akı denklemleridir.

Şekil 3.25 deki üç iletkenli sistemde, iletkenlerin toplam halkalanma akıları olarak;

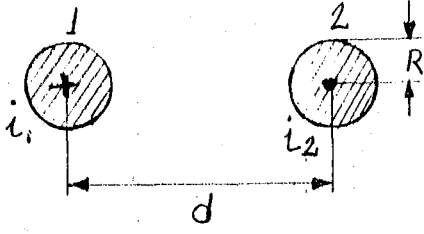
$$\phi_1 = M_{11} i_1 + M_{12} i_2 + M_{13} i_3$$

$$\phi_2 = M_{21} i_1 + M_{22} i_2 + M_{23} i_3$$

$$\phi_3 = M_{31} i_1 + M_{32} i_2 + M_{33} i_3$$

bağıntıları elde edilir.

### 3.3.2. BİR FAZLI HATLARDA ENDÜKTANS HESABI:



Şekil 3.26

Bir fazlı hatlarda endüktans hesabı için yukardaki bağıntıdan yararlanılmaktadır. Şekil 3.26 görüldü gibi iki iletken arasındaki uzaklığı  $d$  ile gösterirsek, iletkenlerin yarı çapları da  $R_1 = R_2 = R$  olup,

1 nolu iletkenin halkalanma akısı  $\Phi_1 = M_{11} \cdot i_1 + M_{12} \cdot i_2$  yazılabilir.

Bir fazlı hatlarda  $i_1 = -i_2$  olacağından

$$\Phi_1 = M_{11} i_1 - M_{12} i_1 = i_1 (M_{11} - M_{12}) \text{ olmaktadır.}$$

$$M_{11} = \frac{\mu_0}{2\pi} \left( \ln \frac{1}{R_1} + \frac{1}{4} \right), \quad M_{12} = \frac{\mu_0}{2\pi} \ln \frac{1}{d_{12}} \text{ olduğunu}$$

daha önce bulduk.  $R_1 = R$  ve  $d = d_{12}$  alınarak

$$\Phi_1 = \frac{\mu_0}{2\pi} \cdot i_1 \left( \ln \frac{1}{R} + \frac{1}{4} - \ln \frac{1}{d} \right) = \frac{\mu_0}{2\pi} \cdot i_1 \left( -\frac{1}{4} + \ln \frac{d}{R} \right)$$

elde olunur. Akı ile akım arasındaki  $\Phi_1 = L_1 \cdot i_1$  bağıntısından gidiş yada geliş hattının birim uzunluğuna ait endüktansı

$$L = \frac{\mu_0}{2\pi} \left( -\frac{1}{4} + \ln \frac{d}{R} \right) \text{ olur. Gidiş-geliş hattının birim}$$

uzunluğa ait toplam endüktansı bu değer iki katı olduğundan bir fazlı hat sisteminde endüktans;

$$L = \frac{\mu_0}{\pi} \left( -\frac{1}{4} + \ln \frac{d}{R} \right) \quad 3-13$$

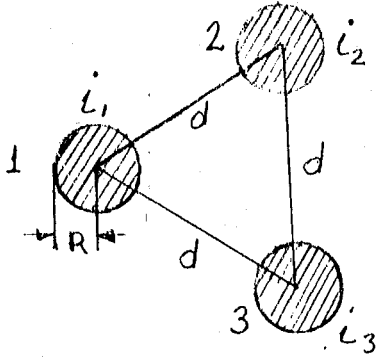
olmuş olur.

Bağıntıdan anlaşıldığı gibi hattın endüktansı; iletkenin yarı çapı ve iletkenler arasındaki mesafe ile orantılıdır. Endüktans bulunduktan sonra birim uzunluk başına hattın reaktansı  $XL = \omega \cdot L = 2\pi \cdot f \cdot L$  denkleminde ohm olarak hesaplanabilir.

$$\mu_0 = 4\pi \cdot 10^{-7} \text{ H/m dir.}$$

### 3.3.3. SİMETRİK ÜÇ FAZLI ENERJİ İLETİM HATTINDA ENDÜKTANS

HESABI:



Şekil 3.27 de görüldüğü gibi şekildeki gibi tertiplenmiş simetrik 3 fazlı iletim hatlarında ( $R_1=R_2=R_3=R$ ) iletken yarı çapları birbirine eşit, ayrı zamanda iletkenler arasındaki uzaklıklarda aynı olduğundan ( $d_{12}=d_{13}=d_{23}=d$ ) ile ifade edilmiştir.

Şekil 3.27

Maxwell denkleminde mesela 1 nolu iletkenin halkalanma akısı olarak.

$\Phi_1 = M_{11} \cdot i_1 + M_{12} i_2 + M_{13} i_3$  bağıntısı aynen yazılabilir. Sistem simetrik olduğundan  $M_{12} = M_{13} = M_{23}$  olacağından  $\Phi_1 = M_{11} \cdot i_1 + M_{12}(i_2 + i_3)$  şeklini alır. Üç fazlı sistemde  $i_1 = -(i_2 + i_3)$  olduğu göz önüne alınırsa 1 nolu iletkeni kavrayan toplam akı için

$\Phi_1 = i_1(M_{11} - M_{12})$  bağıntısı bulunur.  $M_{11} = \frac{\mu_0}{2\pi} \left( \ln \frac{1}{R} + \frac{1}{4} \right)$  ve  $M_{12} = \frac{\mu_0}{2\pi} \ln \frac{1}{d}$  eşitliklerini bağıntıda yerine koyarsak

$$\Phi_1 = i_1 \frac{\mu_0}{2\pi} \left( \ln \frac{1}{R} + \frac{1}{4} - \ln \frac{1}{d} \right) = \frac{\mu_0}{2\pi} \cdot i_1 \left( \frac{1}{4} + \ln \frac{d}{R} \right)$$

elde olunur. Birim uzunluk başına endüktans değeri de

$$L = \frac{\mu_0}{2\pi} \left( \frac{1}{4} + \ln \frac{d}{R} \right) \quad 3-14$$

olarak hesap edilir.

Faz başına birim uzunluğa ait hattın reaktansı  $XL = 2\pi \cdot f \cdot L$  olarak hesaplanır.

Genel olarak havai hat sistemlerinde iletken reaktansı devamlı suretle hesaplanmaz. Ortalama olarak faz başına  $XL = 0,40 \text{ ohm/km}$  alınır.

0 halde simetrik 3 fazlı sistemde;

$M_{12} = M_{13} = M_{23} = M_{32} = M_{31} = M_{21}$  olduğundan bunları M ile ifade edersek  $M = \frac{\mu_0}{2\pi} \ln \frac{1}{d}$  olur. Diğer taraftan

$M_{11} = M_{22} = M_{33} = L_{11} = L_{22} = L_{33}$  veya bunları La olarak gösterirsek akıların matris ifadesi

$$\begin{bmatrix} \phi_1 \\ \phi_2 \\ \phi_3 \end{bmatrix} = \begin{bmatrix} L_{11} & M & M \\ M & L_{22} & M \\ M & M & L_{33} \end{bmatrix} \begin{bmatrix} i_1 \\ i_2 \\ i_3 \end{bmatrix} \text{ veya } \begin{bmatrix} \phi_1 \\ \phi_2 \\ \phi_3 \end{bmatrix} = \begin{bmatrix} L_a & M & M \\ M & L_a & M \\ M & M & L_a \end{bmatrix} \begin{bmatrix} i_1 \\ i_2 \\ i_3 \end{bmatrix} \quad 3-15$$

bu matrislerden örneğin;

$\phi_1 = L_{11} \cdot i_1 + M(i_2 + i_3) = i_1(L_{11} - M) = i_1(L_a - M)$  bulunurki buradan faz başına birim uzunluk için endüktans

$$L = \frac{\mu_0}{2\pi} \left( \frac{1}{4} + \ln \frac{d}{R} \right) \quad 3-16$$

bağıntısı tekrar bulunur.

Akımların simetrisiz olması halinde akımların bileşenleri etkin değerlere göre ;

$$I_1 = I_0 + I_p + I_n, \quad I_2 = I_0 + a^2 I_p + a I_n,$$

$I_3 = I_0 + a I_p + a^2 I_n$  olup bunları örneğin;

$$\phi_1 = L_{11} \cdot I_1 + M(I_2 + I_3) \text{ bağıntısında yerlerine yazarsak;}$$

$$\phi_1 = L_{11}(I_0 + I_p + I_n) + M(I_0 + a^2 I_p + a I_n + I_0 + a I_p + a^2 I_n) \text{ bu-}$$

radan  $\phi_1 = I_0(L_{11} + 2M) + I_p(L_{11} - M) + I_n(L_{11} - M)$  sonucuna varılırki

$\phi_1 = \phi_0 + \phi_p + \phi_n$  olduğu göz önüne alınırsa, sıfır

sistem için endüktans

$$L_0 = \frac{\phi_0}{I_0} = L_{11} + 2M = \frac{\mu_0}{\pi} \left( \frac{1}{8} + \ln \frac{1}{2Ra} \right) \quad 3-17$$

Pozitif sistem için endüktans;

$$L_p = \frac{\phi_p}{I_p} = L_{11} - M = \frac{M_0}{2\pi} \left( \frac{1}{4} + \ln \frac{d}{R} \right) \quad 3-18$$

negatif sistem içinde

$$L_n = \frac{\phi_n}{I_n} = L_{11} - M = \frac{M_0}{2} \left( \frac{1}{4} + \ln \frac{d}{R} \right) \quad 3-19$$

bağıntıları bulunur.

Sistem çevresel simetrik ise Yani

$$L_{11} = L_{22} = L_{33} = L_a \quad \text{ve} \quad M_{12} = M_{23} = M_{31} = M_1$$

$$M_{13} = M_{21} = M_{32} = M_2 \quad \text{olduğunda} \quad \text{akı} \quad \text{matrisi}$$

$$\begin{bmatrix} \phi_1 \\ \phi_2 \\ \phi_3 \end{bmatrix} = \begin{bmatrix} L_a & M_1 & M_2 \\ M_2 & L_a & M_1 \\ M_1 & M_2 & L_a \end{bmatrix} \begin{bmatrix} i_1 \\ i_2 \\ i_3 \end{bmatrix} \quad 3-20$$

yazılabilir. Örneğin

$$\phi_1 = L_a \cdot i_1 + M_1 \cdot i_2 + M_2 \cdot i_3 \quad \text{olacağından} \quad \text{bağıntıda}$$

$$i_1 = i_0 + i_p + i_n, \quad i_2 = i_0 + a^2 i_p + a i_n, \quad i_3 = i_0 + a i_p + a^2 i_n$$

eşitlikleri yerine konulup gerekli kısaltmalar yapılırsa;

$$\phi_1 = (L_a + M_1 + M_2) i_0 + (L_a + a^2 M_1 + a M_2) i_p + (L_a + a M_1 + a^2 M_2) i_n$$

elde edilir. Aynı yolla  $\phi_2$  ve  $\phi_3$  bağıntılarında bulunabilir.

$$\phi_1 = \phi_0 + \phi_p + \phi_n \quad \text{olup, yukardaki bağıntıya göre özdeşliğini}$$

yazarsak;

$$\phi_0 = (M_2 \quad L_a \quad M_1) i_0 \quad \text{ve} \quad L_{00} = \frac{\phi_0}{i_0} = M_2 + L_a + M_1$$

$$\phi_p = (L_a + a^2 M_1 + a M_2) i_p \quad L_{pp} = \frac{\phi_p}{i_p} = L_a + a^2 M_1 + a M_2 \quad 3-21$$

$$\phi_n = (L_a + a M_1 + a^2 M_2) i_n \quad L_{nn} = \frac{\phi_n}{i_n} = L_a + a M_1 + a^2 M_2$$

olarak bileşen endüktanslar bulunur. Bileşen endüktansların üçüde bir birinden farklı olup, La üçündede aynıdır. O halde

$$\Phi_1 = L_{00} \cdot \dot{I}_0 + L_{pp} \cdot \dot{I}_p + L_{nn} \cdot \dot{I}_n \quad 3-22$$

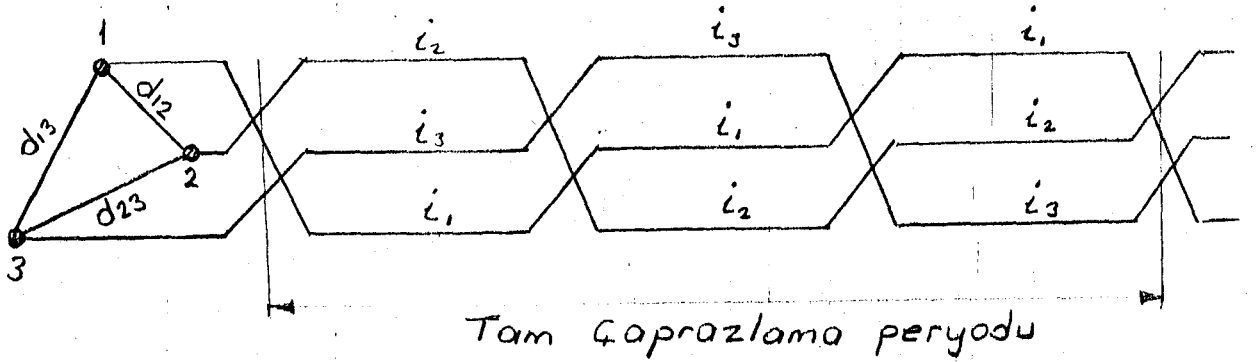
bağıntısı yazılabilir.

( $\Phi_2$  ve  $\Phi_3$  bağıntılarının bulunuşu okuyuculara bırakılmıştır.)



3.3.4. SİMETRİSİZ FAKAT ÇAPRAZLANMIŞ ÜÇ FAZLI ENERJİ İLETİM HATTINDA ENDÜKTANS HESABI:

3 fazlı enerji iletim hatları çeşitli nedenlerden ötürü tatbikatta simetrisiz olarak tertiplenmişlerdir. Her fazda bu durumda endüktans ve kapasite farklı olacağından; bütün hat boyunca her fazın endüktans ve kapasitesini mümkün olduğu kadar eşit yapmak için şekil 3.28 de görüldüğü gibi iki istasyon arasında en azından tam bir çaprazlama yapılmaktadır. Şekildede görüldüğü gibi mesela 1 nolu iletkenin tekrar aynı konuma gelmesine Tam çaprazlama denir. Bu periyod sonunda 2 ve 3 nolu iletkenlerde eski konumlarına gelmektedir. Böylece simetrik olmayan hatlarda self bakımından bir eşitlik sağlanır. 1 nolu iletkenin yada  $i_1$  akımının halkalanma akısını tayin etmek için örneğin,  $i_2$  akımının meydana getirdiği akıların hattın muftelif noktalarında farklı olacağına dikkat etmek gerekir. Çünkü  $i_1$  ile  $i_2$  arasındaki mesafe sabit olmayıp  $d_{12}$ ,  $d_{31}$ ,  $d_{23}$ , e eşit olarak değişmektedir. Bu akımdan karşılıklı endüktans katsayıları için ortalama bir değer alınır.



Şekil 3.28

Bu duruma göre  $\Phi_1 = M_{11} i_1 + M_{12} \cdot i_2 + M_{13} \cdot i_3$  bağıntısı

$$\Phi_1 = M_{11} i_1 + i_2 \left( \frac{M_{12} \quad M_{13} \quad M_{23}}{3} \right) + i_3 \left( \frac{M_{31} \quad M_{23} \quad M_{12}}{3} \right) \text{ ve}$$

$M_{12} = M_{21}$ ,  $M_{13} = M_{31} = M_{32}$  olduğundan

$$\Phi_1 = M_{11} i_1 + \left( \frac{M_{12} + M_{23} + M_{31}}{3} \right) (i_2 + i_3) \text{ olup}$$

$$i_2 + i_3 = -i_1 \text{ olduğundan } \Phi_1 = M_{11} \cdot i_1 + \frac{M_{12} + M_{23} + M_{31}}{3} \cdot (-i_1)$$

$$\text{den } \Phi_1 = i_1 \left( M_{11} - \frac{M_{12} + M_{23} + M_{31}}{3} \right) \text{ elde olunur.}$$

$$M_{11} = \frac{M_0}{2\pi} \left( \frac{1}{4} + \ln \frac{1}{R} \right), \quad M_{12} = \frac{M_0}{2\pi} \ln \frac{1}{d_{12}} \quad 3-23$$

$$M_{23} = \frac{M_0}{2\pi} \ln \frac{1}{d_{23}}, \quad M_{31} = \frac{M_0}{2\pi} \ln \frac{1}{d_{31}}$$

olduğundan

$$\Phi_1 = \frac{M_0}{2\pi} \cdot i_1 \left[ \frac{1}{4} + \ln \frac{1}{R} - \frac{1}{3} \left( \ln \frac{1}{d_{12}} + \ln \frac{1}{d_{23}} + \ln \frac{1}{d_{31}} \right) \right]$$

$$\Phi_1 = \frac{M_0}{2\pi} \cdot i_1 \left( \frac{1}{4} + \ln \frac{\sqrt[3]{d_{12} \cdot d_{23} \cdot d_{31}}}{R} \right) \quad 3-24$$

elde edilir.

İletken aralıklarının ortalama değerini  $d = \sqrt[3]{d_{12} \cdot d_{23} \cdot d_{31}}$

olarak gösterirsek, bu takdirde simetrik olmayan fakat çaprazlanmış 3 fazlı alternatif akım iletim hattında

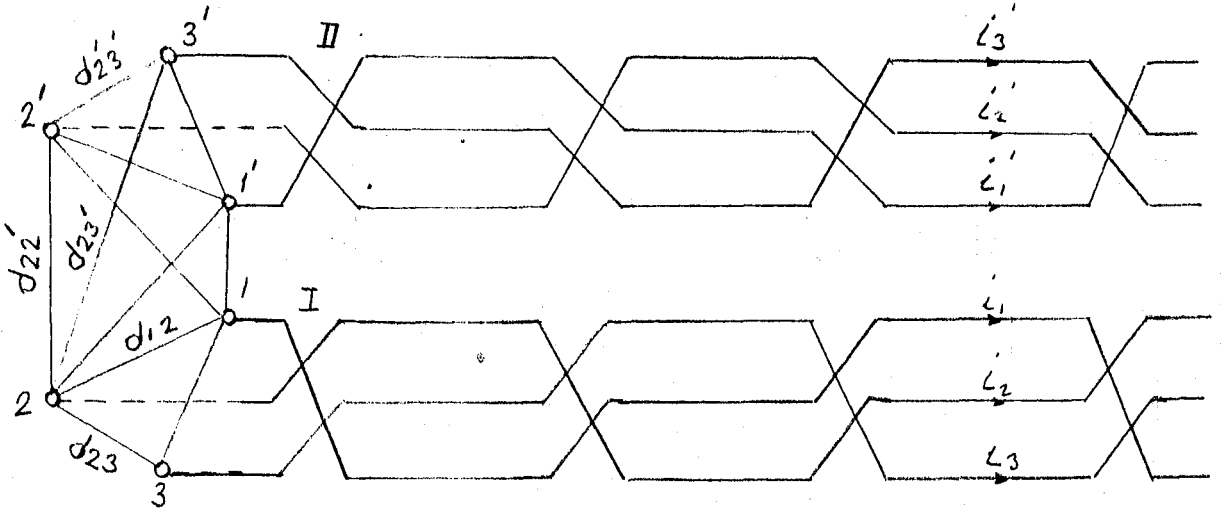
$$\Phi_1 = \frac{M_0}{2\pi} i_1 \left( \frac{1}{4} + \ln \frac{d}{R} \right) \text{ olacağından birim uzunluk başına}$$

$$\text{endüktansı } L = \frac{M_0}{2\pi} \left( \frac{1}{4} + \ln \frac{d}{R} \right) \quad 3-25$$

henri olarak bulunur.

### 3.3.5 SİMETRİK OLARAK ÇAPRAZLANMIŞ ÇİFT ÜÇ FAZLI ENERJİ İLETİM HATLARINDA ENDÜKTANS HESABI:

Simetrik olmayan üç fazlı hatlarda yapılan çaprazlama şekli, bu çift sistemdede yapılarak hat boyunca her iletkene ait endüktansların aynı olması sağlanır. Şekil 3.29 da gösterilen tam çaprazlama yapılmış çift hat sisteminde endüktans hesabında, 3 fazlı sistemde kullanılan hesap işlemin-den yararlanılır.



Şekil 3.29

Bu sistemde I ve II nolu iletim hattının eşit olarak yüklendiğini farz edelim. I nolu sistemde  $i_1$  akımının endüktansının hesaplanmasında, kendi sistemindeki  $i_2$  ve  $i_3$  akımlarının karşılıklı endüktans etkisi olduğu gibi, II nolu sistemdeki  $i_1', i_2', i_3'$  akımlarının karşılıklı endüktans etkisi vardır. Çaprazlamanın her bir bölümdeki tesiri farklı olduğundan burada da kat sayılardan ortalama bir değer bulunacaktır. Böylece I nolu sistemdeki I nolu iletkenin II nolu sistem tarafından halkalanma akısı olarak;

$$\Phi_{II \ 1} = i_1 \frac{(M_{11}' + M_{22}' + M_{33}')}{3} + i_2 \frac{(M_{12}' + M_{23}' + M_{31}')}{3} + i_3 \frac{(M_{13}' + M_{21}' + M_{32}')}{3}$$

Bu bağıntıda örneğin ( $M_{22}'$ ) 2 iletkeninin 2' iletkenine göre alan katsayısı (karşılıklı endüktans) olup değeri

$$M_{22}' = \frac{\mu_0}{2\pi} \ln \frac{1}{d_{22}'}$$

dür. ( $d_{22}'$ ) 2 iletkeni ile 2' iletkeni arasındaki mesafedir.  $M_{12}' = M_{21}$  keza  $M_{23} = M_{32}$  olduğundan

$$\Phi_{II\ 1} = i_1 \frac{(M_{11}' + M_{22}' + M_{33}')}{3} (i_2 + i_3) + i_2 \frac{(M_{12}' + M_{23}' + M_{31}')}{3} (i_1 + i_3) + i_3 \frac{(M_{13}' + M_{21}' + M_{32}')}{3} (i_1 + i_2)$$

( $i_2 + i_3$ ) =  $-i_1$  olduğundan;

$$\Phi_{II\ 1} = i_1 \left( \frac{M_{11}' + M_{22}' + M_{33}'}{3} - \frac{M_{12}' + M_{23}' + M_{31}'}{3} \right) \quad 3-26$$

elde olunur.

Bağıntıda kat sayıların değerlerini yerine koyarsak

$$\Phi_{II\ 1} = \frac{\mu_0}{2\pi} i_1 \left[ \frac{1}{3} \left( \ln \frac{1}{d_{11}'} + \ln \frac{1}{d_{22}'} + \ln \frac{1}{d_{33}'} \right) - \frac{1}{3} \left( \ln \frac{1}{d_{12}'} + \ln \frac{1}{d_{23}'} + \ln \frac{1}{d_{31}'} \right) \right]$$

$$\Phi_{II\ 1} = \frac{\mu_0}{2\pi} \cdot i_1 \cdot \ln \sqrt[3]{\frac{d_{12}' d_{23}' d_{31}'}{d_{11}' d_{22}' d_{33}'}} \quad 3-27$$

bulunur. 1 nolu sistemdeki 1 nolu iletkeni kavrayan toplam akıyı bulmak için, 1 nolu sistemin 1 nolu iletkeni halkalayan akısının da  $\Phi_{II\ 1}$  değerine ilave etmek gerekir.

$$\Phi_1 = \Phi_{I\ 1} + \Phi_{II\ 1} \text{ dir. } \Phi_{I\ 1} = \frac{\mu_0}{2\pi} \left( \frac{1}{4} + \ln \frac{d}{R} \right) \text{ olarak}$$

kısım 3.3.4 de bulunmuştu. O halde

$$\Phi_1 = \frac{\mu_0}{2\pi} i_1 \left( \frac{1}{4} + \ln \frac{d}{R} \right) + \frac{\mu_0}{2\pi} i_1 \left( \ln \sqrt[3]{\frac{d_{12} \cdot d_{23} \cdot d_{31}}{d_{11} \cdot d_{22} \cdot d_{33}}} \right) \text{ olur.}$$

denklemini kısaltmak için;

$$d' = \sqrt[3]{d_{12}' \cdot d_{23}' \cdot d_{31}'}$$

$$d'' = \sqrt[3]{d_{11}'' \cdot d_{22}'' \cdot d_{33}''}$$

3-28

$$d = \sqrt[3]{d_{12} \cdot d_{23} \cdot d_{31}}$$

Şeklinde ifade ettiğim bu eşitlikleri yukardaki bağıntıda kullanırsak;

$$\phi_1 = \frac{M_0}{2\pi} \cdot i_1 \left( \frac{1}{4} + \ln \frac{d}{R} \right) + \frac{M_0}{2\pi} i_1 \left( \ln \frac{d^1}{d^{11}} \right)$$

$$\phi_1 = \frac{M_0}{2\pi} i_1 \left( \frac{1}{4} + \ln \frac{d}{R} \cdot \frac{d^1}{d^{11}} \right) \text{ bulunur.}$$

Buradan faz başına beher birim uzunluk başına hat endüktansı içinde;

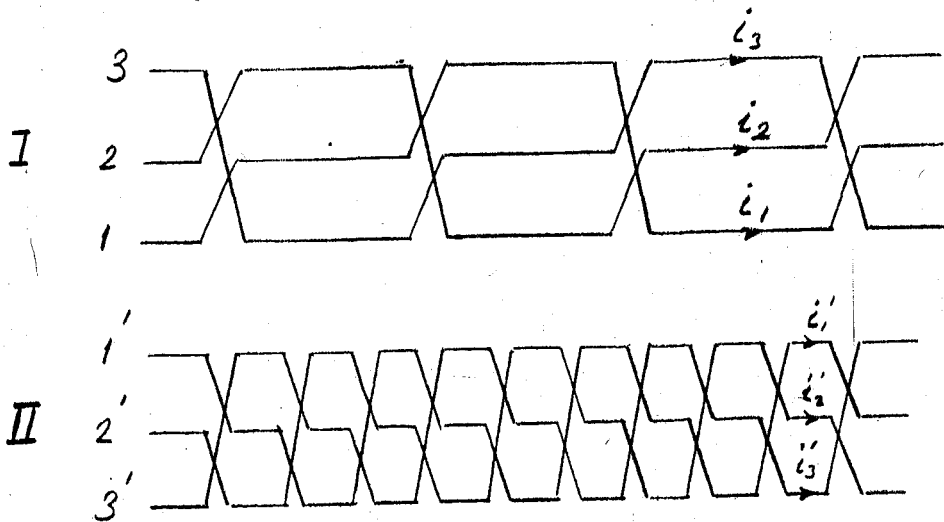
$$L = \frac{M_0}{2\pi} \left[ \frac{1}{4} + \ln \frac{d}{R} \cdot \frac{d^1}{d^{11}} \right]$$

3-29

değeri bulunur.

Çift hat sisteminde tek hat sistemine nazaran hat endüktansı % 5 ile % 10 daha fazladır.

İkinci sistemin birinci sistem üzerindeki etkisini ortadan kaldırmak için şekil 3.30 da gösterilen çaprazlama yapılır. Bu çaprazlama ile karşılıklı olarak I ve II nolu sistemlerin karşılıklı etkileri sıfır olur.



Şekil 3.30

Şekil de görüldüğü gibi, tam çarpazlama periyodunun üçte biri periyodunda II inci sistem tekrar tam çarpazlama yapılmıştır. Böylece II inci ve I inci sistemlerin bir birine etkisi ortadan kaldırılır. Şöyleki; Bu sistemde

$$\phi_1 = \phi_{I 1} + \phi_{II 1} \text{ idi. Bu çarpazlamada } \phi_{II 1} = 0$$

dır. Çünkü çarpazlamadan dolayı

$$\phi_{II 1} = M_{11}' \cdot i_1 + M_{12}' \cdot i_2 + M_{13}' \cdot i_3 \text{ olup } M_{11}' \text{ katsayısı}$$

$$M_{11}' = \frac{1}{9} (M_{12}' + M_{13}' + M_{11}' + M_{21}' + M_{22}' + M_{23}' + M_{33}' + M_{31}' + M_{32}')$$

değeri elde edilirse, çarpazlamadan ötürü  $M_{12}'$  ve  $M_{13}'$  katsayıları içinde aynı değer elde edileceğinden  $M_{11}' = M_{12}' = M_{13}'$  olmaktadır. Bu duruma göre

$$\phi_{II 1} = M_{11}' (i_1 + i_2 + i_3) \text{ olacaktirki } i_1 + i_2 + i_3 = 0$$

olduğundan  $\phi_{II 1} = 0$  sonucu bulunur.

$$\phi_1 = \phi_{I 1} \text{ olduğundan}$$

$$\phi_1 = \frac{M_0}{2\pi} \cdot i_1 \left( \frac{1}{4} + \ln \frac{d}{R} \right)$$

$$d = \sqrt[3]{d_{12} \cdot d_{23} \cdot d_{31}}$$

$$L = \frac{M_0}{2\pi} \left( \frac{1}{4} + \ln \frac{d}{R} \right)$$

elde olunurki çift sistem tek sisteme dönüştürülmüş olur. Bu şekilde endüktans tek sistemdeki gibi hesap edilir.

### 3.4. İLETKENLERİN GEOMETRİK ORTALAMA YARIÇAPININ BULUNMASI

Dolu kesitli bir iletkenin yarıçapı (R) olarak ifade edilirse; havai hatların endüktans hesabında kullanılan

$$L = \frac{\mu_0}{2\pi} \left( \ln \frac{d}{R} + \frac{1}{4} \right) = \frac{\mu_0}{2\pi} \ln \frac{d}{R \cdot e^{-\frac{1}{4}}} = \frac{\mu_0}{2\pi} \ln \frac{d}{GMR} \quad \text{H/m-faz}$$

$$GMR = R \cdot e^{-\frac{1}{4}} = 0,7788$$

3-31

bağıntısı (GMR) geometrik ortalama yarı çap cinsinden ifade edilmiş olur.

Eş ekseni yedi damarlı bir iletkende her bir damarın yarı çapı  $\rho$  ve damar sayısı  $n = 7$  alınırsa

$$GMR = \sqrt[7]{(D_{AA} \cdot D_{AB} \cdot D_{AC} \cdot \dots \cdot D_{AG}) (D_{BA} \cdot D_{BB} \cdot \dots \cdot D_{BG}) \cdot \dots \cdot (D_{GA} \cdot D_{GB} \cdot \dots \cdot D_{GG})}$$

Her bir damarın geometrik ortalama yarı çapı yukarıda belirtildiği gibi  $0,7788 \cdot \rho$  olur. Bunlardan iletkende yedi tane olduğundan

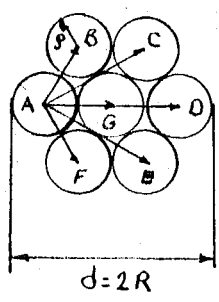
$$D_{AB} = D_{AF} = D_{AG} = 2 \cdot \rho$$

$$D_{AC} = D_{AE} = 2\sqrt{3} \cdot \rho$$

$$D_{AD} = 4 \cdot \rho$$

olduğu şekilden görülmektedir. A dış damar kısmı iletkeni

$$\text{için } (2\rho \cdot 2\rho \cdot 2\rho \cdot 2\sqrt{3}\rho \cdot 4\rho) = 3 \cdot 2^7 \cdot \rho^6$$



Şeklinde yazılabilir. Dış kısımda bunun gibi altı damar olduğundan bu terimin altıncı kuvveti alınarak  $(3 \cdot 2^7 \cdot \rho^6)^6$  yazılır. Merkez de bulunan bir damarın çevredekilere göre uzaklığı  $(2 \cdot \rho)$  olduğu için bu değerinde altıncı kuvveti alınarak  $(2 \cdot \rho)^6$  ve iletkendeki 7 kısmı iletkenin

Şekil 3.31

her biri için yedi tane  $(0,7788)^7$  yazılırsa  $n^2 = 49$  olduğundan iletkenin geometrik ortalama yarı çapı,

$$GMR = \sqrt[49]{(0,7788 \cdot \rho)^7 \cdot (3 \cdot 2^7 \cdot \rho^6) \cdot (2 \cdot \rho)^6}$$

$$GMR = 2,177 \cdot \rho$$

3-32

olarak bulunur.

7 damarlı iletkende iletken çapı  $d=2R=6 \cdot \rho$  ve iletken yarı çapı  $R=3\rho$  olduğundan damar yarıçapı  $\rho=R/3$  bulunur. İletkenin kendi (GMR) ortalama geometrik yarı çapını kısmi iletkenlerin yarıçapı ile ifade edersek

$$GMR = 2,177 \cdot \rho = 2,177 \cdot \frac{R}{3} = 0,726 \cdot R$$

3-33

bulunur. Çeşitli tipteki iletkenlerin kendi geometrik ortalama yarı çapları aşağıda tablo halinde verilmiştir.

#### ÖRGÜLÜ ALÜMİNYUM İLETKENLERİN GMR HESABI

Örgülü iletkendeki toplam damar sayısı	İletkenin geometrik ortalama yarıçapı (GMR)	İletkenin iç endüktansı (mH/km-faz)
7	0,726 R	0,0639
19	0,758 R	0,0522
37	0,768 R	0,0528
61	0,772 R	0,0515
91	0,774 R	0,0509
127	0,776 R	0,0503
Yuvarlak dolu kesit	0,788 R	0,0497
Dikdörtgen kesitli dolu iletken (kenarları a ve b)	0,2235 (a+b)	

#### ÇELİK - ALÜMİNYUM İLETKENLERİN GMR DEĞERLERİ

Damar sayısı ve kat adedi	Geometrik Ortalama Yarıçapı (GMR)
Tek katlı iletkenler	0,35 R - 0,70 R
İki katlı ve 26 damarlı iletkenler.	0,809 R
İki katlı ve 30 damarlı iletkenler	0,826 R
Üç katlı ve 54 damarlı iletkenler	0,810 R



Endüktans bağıntılarında da görüleceği üzere enerji hatlarının L endüktans değeri, iletkenin yarı çapı (R) ile ters, iletkenler arası uzaklık (d) ile doğru orantılı olarak değişir. Bilindiği gibi bir iletkenin endüktif reaktansı

$$XL = \omega.L = 2\pi.f.L$$

bağıntısı ile bulunduğundan

$$XL = 2\pi f \frac{\mu_0}{2\pi} \ln \frac{d}{GMR} = f.\mu_0.Ln \frac{d}{GMR} \quad 3-34$$

bağıntısı yazılabilir.

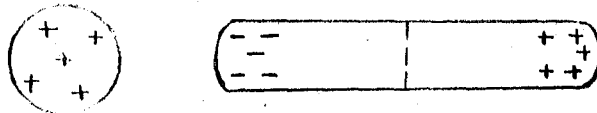
## K A P A S İ T A N S

### 4.1. Elektriksel Alan:

Elektron teorisine göre elektriklenmiş veya şarjlanmış bir cisim, fazla veya eksik bir veya diğer cins elektriğe malik olan cisim demektir. Bir atomda hafif ve faal olan elektron olduğundan, elektrikle şarj edilen bir cisme giren veya çıkan elektrondur. Elektronların girmesi veya çıkması, bunların temas halinde oldukları diğer bir cisme elektronların akmasını veya geçmesini sağlamakla olur.

Şu halde pozitif şarjlı bir cisim demek, elektronlarından bir kacını kaybederek pozitif şarjlı kalmış cisim demektir. Negatif şarjlı cisim demek, normalden fazla elektron almış cisim demektir. Bir cisimden elektronlar ancak çekirdeğin elektronlar üzerine tesir ettirdiği çekme kuvvetini yenen bir basınç veya bir iş sarfetmekle (enerji) çıkarılabilir. Elektronların ayrıldıkları cisimlere tekrar dönmelerine müsaade edildiği takdirde bir iş yapılır.

Şarjları elde etmek için muhtelif metodlar vardır. Mesele bir kumaşa sürtülmüş kehribar negatif, cam ise pozitif olarak şarjlanır. Bu sürtme metodudur. Diğer bir metod indüksiyon metodu olup şarjla bir cisim, bir iletkene yaklaştırıldığında iletkenin kendisinde şarj olmuş gibi hareket eder.

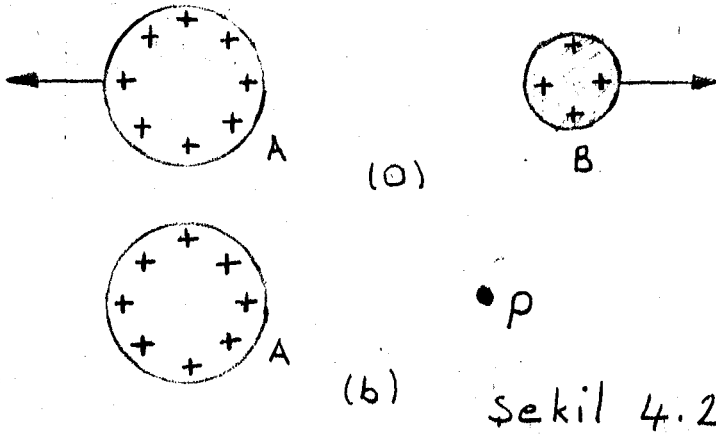


Şekil 4.1

Şekil 4.1'de görüldüğü gibi şarjsız bir iletke pozitif şarjlı bir cisme yaklaştırıldığında şarjlı cisme yakın tarafı

negatif şarjlı diğer taraf pozitif şarjlanır. Bir diğer metod polarizasyon metodu olup, yalıtkanların indüksiyonu için kullanılmaktadır. Kimyasal yol, jeneratör metodu, kristallere tatbik edilen mekaniki basınç, termoelektrik ve fotoelektrik tesirlerde şarjları ayırmak için kullanılan diğer metodlardır.

Elektrik akımı geçen bir iletken civarında manyetik bir alanın meydana geldiği bilinmektedir. Buna benzer elektrik- le yüklü (şarjlı) cisimler etrafında bir alan meydana gelir. Elektrik alanı denilen bu alanın varlığı elektrikle yük- lü cisimler üzerine yaptığı kuvvet tesiri ile anlaşılır. Şe- kil 4.2'de görüldüğü gibi pozitif yüklü A cisminin civarında pozitif yüklü bir B cismini dolaştırdığımızda B cisimi A cis- mi tarafından itilir. Şu halde A cisminin etrafında yüklü cisimlere etki eden bir alan meydana geliyor.



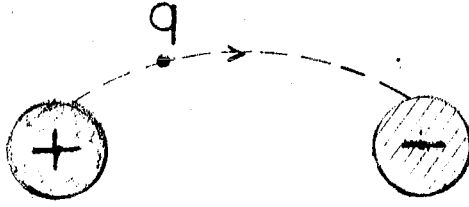
Yüklü cismin meydana getirdiği etki sahasına elektrik alanı adı verilir. Manyetik alan hareket eden yükler tarafından meydana getirildiği halde elektrik alanı hem duran ve hemde hareket eden elektrik yükleri tarafından meydana getirilir.

Şekil 4.2 (b)'deki P noktası B'nin daha önce bulunmakta olduğu yerdir. A cisminin P noktasında bir elektrik alanı

hasıl ettiği ya da meydana getirdiği söylenebilir. Eğer B cismi şimdi P noktasına getirilirse B cismi üzerine doğrudan doğruya A cismi tarafından değil de, daha ziyade alan tarafından bir kuvvet uygulandığı düşünülebilir. A cisminin etrafında bütün noktalarda B cisminin üzerine bir kuvvet etki edeceğine göre, A'nın etrafındaki bütün uzay bir elektrik alanıdır. Aynı şekilde B cisminde bir alan meydana getirdiği ve A cismi üzerine B'nin alanı tarafından bir kuvvet uygulandığı söylenebilir.

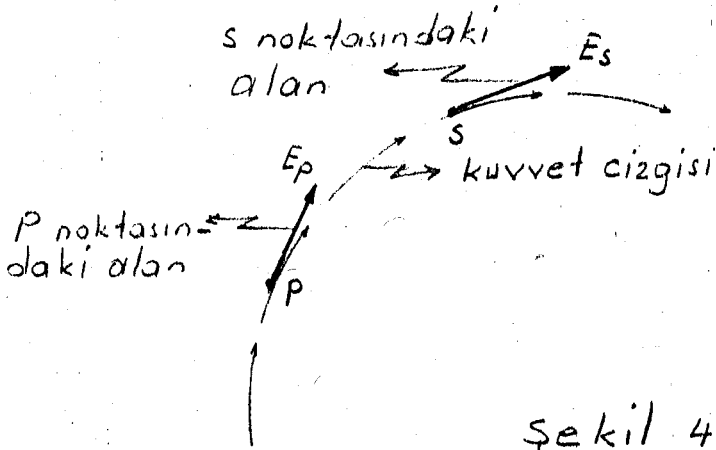
Herhangi bir noktada bir elektrik alanının varlığı deneyle anlaşılır. Bir noktaya konmuş olan yüklü bir cisim üzerine, elektrik menşeli bir kuvvet etki ettiği takdirde, o noktada bir elektrik alanı vardır., denir.

Kuvvet vektörel bir büyüklük olduğundan, elektrik alanında, hem büyüklüğü hemde doğrultu yönü olan vektörel bir büyüklüktür. Elektrik alanını göstermek için manyetik alanda olduğu gibi kuvvet çizgilerinden yararlanılır. Elektrik alanında kuvvet çizgileri pozitif yüklü cisimden başlayarak negatif yüklü cisimlerde son bulurlar. Şekil 4.3'de görüldüğü gibi pozitif yüklü cisimden başlayarak negatif yüklü cisimle de pozitif yüklü A cismi ile negatif yüklü B cismi arasında çok küçük bir  $q$  yükü koyduğumuzda, ikisi arasında oluşan alan içine konan bu  $q$  yükü iki kuvvetin tesiri altında kalır. Şayet  $q$  yükü pozitifse, bu takdirde A cismi tarafından itilecek negatif B cismi tarafından çekilecektir.  $q$  yükü yalnız bu kuvvetlerin tesiri altında hareket edecek olursa eğri şeklinde bir kuvvet çizgisi boyunca ilerler. Bu pozitif yükün hareket yönü alanın yönüdür.



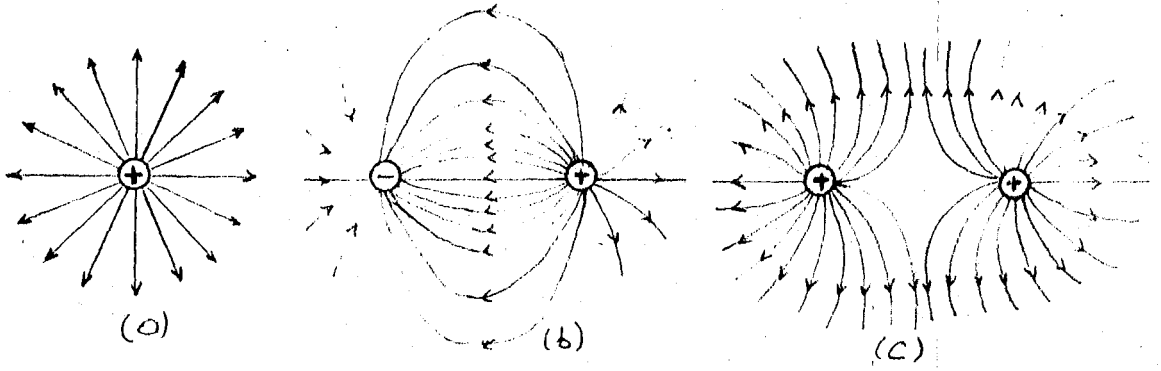
Şekil 4.3

Kuvvet çizgileri kavramı elektrik ve manyetik alanları canlandırmaya yardım etmek üzere, Michael Faraday (1791 - 1867) tarafından ortaya atılmış hayali çizgilerdir. Elektrik alanı içindeki kuvvet çizgilerinin herhangi bir noktadaki doğrultusu (yani teğetinin doğrultusu) o noktadaki alan doğrultusunun aynıdır. (Şekil 4.4') görüldüğü gibi bir alanın doğrultusu, genel olarak bir noktadan öbürüne değiştiğinden kuvvet çizgileri genellikle eğriseldirler. Kuvvet çizgisinin teğeti olan doğrultu pozitif yükün hareket doğrultusunu gösterir.



Şekil 4.4

Şekil 4.5'de tek bir pozitif yük etrafındaki; biri pozitif diğeri negatif olan iki eşit yük etrafındaki, ve iki eşit pozitif yük etrafındaki elektrikselsel alan ve kuvvet çizgilerinin bir kısmı görülmektedir.



Şekil 4.5

Kuvvet çizgilerinin üzerindeki oklar pozitif yükün alandaki hareket yönünü gösterir. Demekki kuvvet çizgileri pozitif yükten birbirinden uzaklaşarak çıkıp negatif yüke birbirine yaklaşılarak girerler. Bir yük etrafındaki uzaydan hiç bir kuvvet çizgisi çıkmaz yada son bulmaz. Bir elektrik alanındaki her kuvvet çizgisi şekil 4w5 b'de görüldüğü gibi bir ucunda pozitif yük, öbür ucunda bir negatif yük ile son bulan sürekli çizgilerdir. Şekil (a)'da pozitif yükten çıkan kuvvet çizgilerinin son buldukları negatif yükler ortamın bir yerinde bulunmalıdır.

Kuvvet çizgilerinin alana dik birim yüzeydeki sayılarını, alan şiddetine eşit olarak seçmekle hem kuvvet çizgileri sıralanmış ve hemde bu çizgiler alan doğrultusunu ve şiddetini göstermek içinde kullanılmış olur. Çizgilerin sıklaştığı yerde alan şiddetlidir. Havada bulunan bir  $q$  pozitif yükünden

$4\pi \cdot q$  kuvvet çizgisi çıkar. (kürenin alanı  $4\pi r^2$  olup  $r$  bir birim alanıdır.)

#### 4.2. Alan Şiddeti:

Bir elektrik alanı içindeki bir noktadaki alan şiddeti, o noktaya konulan bir pozitif birim yüke etki eden kuvvettir. Noktasal bir yükün alanı Coulomb kanunundan yararlanarak bulu-

nur. (Aynı isimli elektrik yüklerinin birbirini itmesi ve zıt isimli yüklerin birbirini çekmesi 1785'de Coulomb tarafından ortaya atılmış olup, halbuki Priestley ve Cavendish, Coulomb bu neticeyi açıklamadan önce bu konuyu bilmekteydiler.) Coulomb kanununa göre, boyutları aralarındaki açıklığa nazaran çok küçük olan yüklü iki iletken cisim arasında yüklerin işaretlerine göre meydana gelen itme veya çekme kuvveti, bu yüklerin çarpımları ile doğru orantılı ve aralarındaki mesafenin karesi ile ters orantılıdır.

$$\vec{F} = \frac{Q_1 \cdot Q_2}{r^2} \cdot k \cdot \vec{ur}$$
 Bu formülde ( $r$ ),  $Q_1$  ve

$Q_2$  yükleri arasındaki uzaklık,  $\vec{ur}$  yükleri birleştiren doğrultu üzerinde bir yükten diğerine yönelik birim vektörü,  $k$  ise kullanılan birimlere ve deneyin yapıldığı ortama bağlı olan bir katsayıyı göstermekte olup MKS sisteminde  $k = \frac{1}{4\pi\epsilon}$  olup  $\epsilon$  (epsilon)na ortamın dielektrik sabiti adı verilir.  $k$ 'nin yerine bu değeri yazılırsa  $F = \frac{Q_1 \cdot Q_2}{4\pi\epsilon r^2}$  olur. Bu formülde, elektrik yükleri birimi kulon (C), kuvvet birimi Newton (N) aradaki mesafe metre (m) olarak alındığında  $\epsilon$  için

$$\frac{C^2}{Nm^2} = \frac{C}{Vm} = \frac{F}{m} \left( \frac{\text{Farad}}{\text{metre}} \right) \text{ birimi elde edilir. Dielektrik sabiti}$$

$$\epsilon = \epsilon_r \cdot \epsilon_0 \quad \text{gibi iki faktöre ayrılır. Burada } \epsilon_r$$

ortamın bağıl dielektrik sabiti  $\epsilon_0$  da boşluğun dielektrik sabitidir. Değeri  $\epsilon_0 = \frac{10^{-9}}{36\pi} \text{ F/m} = 8,86 \cdot 10^{-12} \text{ [F/m]}$  dir.  $\epsilon_r$  birimsiz bir sayı olup, deneyin yapıldığı ortamın dielektrik sabitinin boşluğun dielektrik sabitine nazaran kaç katı olduğunu gösterir. Mesela bağıl dielektrik sabiti  $\epsilon_r$  hava için 1, miko için 4,5 ..... 5,5 alınır. Şimdi bir  $Q$  yükü tarafından meydana getirilen alan içine sokulan değer ve boyut olarak alanı bozmayacak kadar küçük olan diğer bir  $q$  yüküne tesir eden kuvvet:

$F = \frac{Q \cdot q}{4\pi\epsilon r^2}$  olup bu bağıntının her iki tarafını (q) ya bölersek,  $\vec{E} = \frac{\vec{F}}{q} = \frac{1}{4\pi\epsilon} \cdot \frac{Q}{r^2}$  bağıntısı elde edilir. Burada vektörel olarak gösterilen  $\vec{E}$  büyüklüğü elektrik alanının alan şiddetidir. O halde bir elektrik alanı içindeki herhangi bir noktadaki alan şiddeti,  $Q = +1 [C]$

pozitif birim yüke tesir eden kuvvet olarakta tarif edilebilir. Alan şiddetinin vektörel ve mutlak değeri için

$\vec{E} = \frac{\vec{F}}{q}$  veya  $\vec{E} = \frac{Q}{4\pi\epsilon r^2} \cdot \vec{u}_r = \vec{u}_r \cdot E_r$  veya hüt  
 $|\vec{E}| = E_r = \frac{Q}{4\pi\epsilon r^2}$  bağıntıları elde edilir. Bu bağıntılar Q noktasal yükünden r uzaklığında bulunan bir noktadaki alan şiddetini verir. Bu bağıntılar aynı zamanda alanda herhangi bir noktadaki alan şiddeti vektörünün, yön ve değer itibariyle, pozitif birim yüke tesir eden kuvvet ile özdeş olduğunu gösterir. Alanın her noktasında, birim pozitif yüke tesir eden kuvvet bir vektör ile gösterilebilir. Buna göre elektrik alanı bir kuvvet ve dolayısıyla bir vektör alanı olarak ele alınır. Böyle bir vektörün alanı, bundan önce gördüğümüz gibi, alan şiddeti vektörüne teğet olarak çizilen ve aynı yönde olan alan çizgileri yardımı ile gösterilir.

Alan şiddetinin MKSA birim sisteminde birimi Volt/metre  $[\frac{V}{m}]$  dir. Yüksek gerilim tekniğinde alan şiddeti birimi için  $[Kv/cm]$  birimi kullanılır.  $E = \frac{F}{q}$  bağıntısına göre alan şiddeti birimi kulon başına Nevtondur.

Ortanda n tane  $Q_1, Q_2, Q_3, \dots, Q_n$  noktasal yüklerinin bulunması halinde, herhangi bir noktadaki elektrik alan şiddeti, bu yüklerin sözü edilen noktalardaki alan şiddetlerinin vektörel toplamına eşittir. Bu yüklerin bir düzlem üzerinde olması halindey bileşke alan şiddeti, çizimsel yöntemle kolayca bulunabilir.



Bileşke alan şiddeti:

$$\vec{E} = \vec{E}_1 + \vec{E}_2 + \vec{E}_3 + \dots + \vec{E}_n = \frac{1}{4\pi\epsilon_0} \sum_{i=1}^{i=n} \frac{Q_i}{r_i^2} \vec{u}_r \text{ olur.}$$

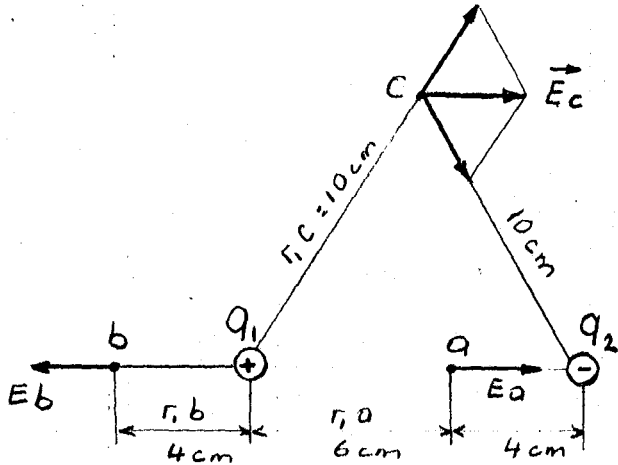
sözü edilen yükler, herhangi bir P noktasına  $r_1, r_2, r_3, \dots, r_n$  uzaklıkta iseler, bu yüklerden herbiri P noktasına konmuş birim pozitif yüke bir kuvvet uygularlar. Uygulanan bu kuvvetlerin vektörel toplamı birim pozitif yüke etki yapan kuvvetlerin bileşkesidir.

$$\vec{F} = \vec{F}_1 + \vec{F}_2 + \dots + \vec{F}_n = \frac{1}{4\pi\epsilon_0} \cdot \frac{Q_1 \cdot q}{r_1^2} + \frac{1}{4\pi\epsilon_0} \cdot \frac{Q_2 \cdot q}{r_2^2} + \frac{1}{4\pi\epsilon_0} \cdot \frac{Q_3 \cdot q}{r_3^2} + \dots + \frac{1}{4\pi\epsilon_0} \cdot \frac{Q_n \cdot q}{r_n^2} = \frac{1}{4\pi\epsilon_0} \cdot q \left( \frac{Q_1}{r_1^2} + \frac{Q_2}{r_2^2} + \frac{Q_3}{r_3^2} + \dots + \frac{Q_n}{r_n^2} \right)$$

dolayısıyla  $\vec{F} = \frac{1}{4\pi\epsilon_0} \cdot q \sum_{i=1}^{i=n} \frac{Q_i}{r_i^2} \text{ olur.}$

Pratikte, elektrik alanları genellikle nokta yüklerden ziyade, sonlu irilikte iletkenlerin yüzeyleri üzerine dağılmış yükler tarafından meydana getirilirler. Bu takdirde, elektrik alan şiddetini hesaplamak için dağılmış yükler sonsuz küçük  $dq$  yüklerine bölündüğünden  $E = \frac{1}{4\pi\epsilon_0} \int \frac{dq}{r^2}$  integral bağıntısından yararlanır.

Örnek:  $+12 \cdot 10^{-9}$  ve  $-12 \cdot 10^{-9}$  kulon değerinde noktasal  $q_1$  ve  $q_2$  yükleri şekil 4.6'da görüldüğü gibi 10 cm aralıkla konmuşlardır. Bu yüklerden dolayı a, b ve c noktalarında meydana gelen elektrik alan şiddetlerini hesaplayınız.



Şekil 4.6

Bu noktaların herbirindeki alan şiddeti  $E = \frac{1}{4\pi\epsilon_0} \sum \frac{q}{r^2}$  vektörel toplamın değerinde olmalıdır.

a noktasında pozitif yükünden ileri gelen vektör sağa doğru yönelmiş olup büyüklüğü  $E_{1a} = \frac{1}{4\pi\epsilon_0} \cdot \frac{q_1}{r_{1a}^2}$  dan;  $k = \frac{1}{4\pi\epsilon_0}$

ile ifade edilirse  $k = \frac{1}{4\pi \cdot 4\pi \cdot 8,86 \cdot 10^{-12}} = 9 \cdot 10^9 \text{ Nm}^2/\text{C}^2$

bulunur. O halde  $\vec{E}_{1a} = 9 \cdot 10^9 \frac{12 \cdot 10^{-9}}{(0,06)^2} = 3 \cdot 10^4 \text{ N/C}$

a noktasında negatif  $q_2$  yükünden ileri gelen vektörde sağa doğru yönelmiştir. (kuvvet çizgisi yönü) değeri

$$\vec{E}_{2a} = \frac{1}{4\pi\epsilon_0} \cdot \frac{q_2}{r_{2a}^2} = 9 \cdot 10^9 \frac{12 \cdot 10^{-9}}{(0,04)^2} = 6,75 \cdot 10^4 \text{ N/C}$$

a noktasındaki bileşke alan şiddeti:

$\vec{E}_a = \vec{E}_{1a} + \vec{E}_{2a} = (3 + 6,75) \cdot 10^4 = 9,75 \cdot 10^4 \text{ N/C}$  dur. vektör sağa doğrudur.

b noktasında pozitif  $q_1$  yükünden ileri gelen vektör sola doğru,  $q_2$  negatif yükünden ileri gelen vektör sağa doğrudur.

$$\vec{E}_{1b} = 9 \cdot 10^9 \frac{12 \cdot 10^{-9}}{(0,04)^2} = 6,75 \cdot 10^4 \text{ N/C}, \quad \vec{E}_{2b} = 9 \cdot 10^9 \frac{12 \cdot 10^{-9}}{(0,14)^2} = 0,55 \cdot 10^4 \text{ N/C}$$

dolayısıyla b noktasında

$$\vec{E}_b = \vec{E}_{1b} + \vec{E}_{2b} = (6,75 + 0,55) \cdot 10^4 = 6,2 \cdot 10^4 \text{ N/C}$$
 olup vektör sola doğrudur.

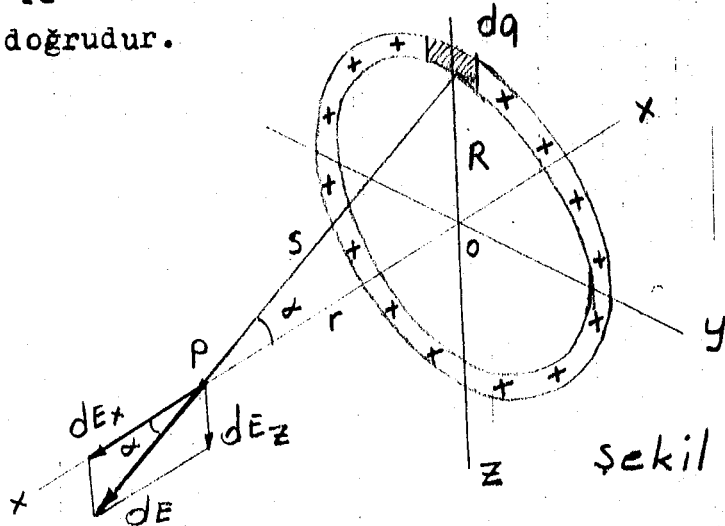
C noktasındaki vektörlerden herbirinin büyüklüğü,

$$\vec{E}_{1c} = \vec{E}_{2c} = \frac{12 \cdot 10^{-9}}{(0,1)^2} \cdot 9 \cdot 10^9 = 1,08 \cdot 10^4 \text{ N/C}$$
 dur.

Bu vektörlerin doğrultuları şekil üzerinde gösterilmiştir.

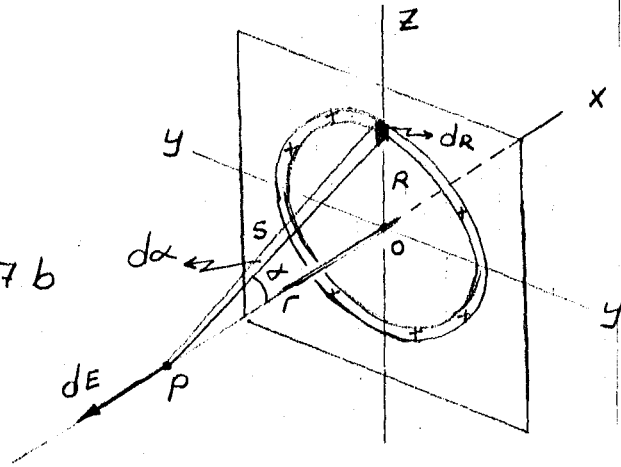
$$\vec{E}_c = \vec{E}_{1c} + \vec{E}_{2c} = 1,08 \cdot 10^4 \cdot \sin 30^\circ \cdot 2 = 1,08 \cdot 10^4 \text{ N/C}$$

vektör sağa doğrudur.



Örnek : 2

Şekil 4.7 b



Şekil 4.7 (a)'da pozitif yüklü R yarı çaplı bir halka xz düzleminde bulunmaktadır. Halkanın eksenini üzerinde bulunan noktalardaki alan şiddetini hesaplayınız.

Burada alan dağılmış yük tarafından meydana getirilmektedir. Alan şiddetini  $\frac{1}{4\pi\epsilon_0} \int \frac{dq}{r^2}$  yi hesaplamamız gerekmektedir. Halkanın bir dq yüküne malik olan sonsuz küçük bir parçası P noktasında  $dE = \frac{1}{4\pi\epsilon_0} \cdot \frac{dq}{s^2}$  şiddetinde bir alan hasil eder. Bu alan xz düzleminde dir. x eksenini ile  $\alpha$  açısı yapar. Bileşke şiddet bu ifade ile bulunamaz. Zira integrasyon vektörel değil cebirsel bir toplamdır. Fakat dE vektörü x ve z bileşenlerine ayrılabilir. Bu bileşenler ayrı ayrı toplanabilir. Şekilde görüldüğü gibi halkanın bütün parçaları gözönüne alındıkları vakit  $dE_z$  bileşenleri simetriden ötürü birbirini götürcek, dolayısıyla bileşke alan x eksenini doğrultusunda olacaktır. Değeri:

$$\vec{E} = \int dE_x = \int dE \cdot \cos\alpha = \int \frac{1}{4\pi\epsilon_0} \cdot \frac{dq}{s^2} \cdot \cos\alpha = \frac{1}{4\pi\epsilon_0} \cdot \frac{\cos\alpha}{s^2} \int dq \text{ olur. } \int dq$$

halka üzerindeki toplam yüküdür. Bu sebeple:

$$E = \frac{1}{4\pi\epsilon_0} \cdot \frac{q \cdot \cos\alpha}{s^2} \text{ dir. Halkanın merkezinde } \alpha = 90^\circ, \cos\alpha = 0$$

olduğundan şekildedeki görüldüğü gibi bileşke alan şiddeti

$E = 0$  dir. R'ye büyük uzaklıklarda  $\alpha$  açısı küçüktür.

$\cos\alpha$  yaklaşık 1 dir.  $s^2$  de yaklaşık  $r^2$  olduğundan, o halde halkadan büyük uzaklıklarda  $E = \frac{1}{4\pi\epsilon_0} \cdot \frac{q}{r^2}$  alınabilir.

Buna göre büyük uzaklıklarda halka nokta gibi düşü-  
nülebilir. Şekil 4.7 b de x eksenini üzerindeki noktalarda  
alan şiddeti ne olur.

Düzlemi R yarı çaplı ve  $dr$  genişlikli dar halkalara ayı-  
ralım ve bundan önceki örnekteki (şekil 4.7 a) sonuçları kul-  
lanalım.  $\sigma$ , YZ düzleminin birim yüzeyindeki yükü gösterir.  
Dar halkanın yüzölçümü  $dA = 2\pi R \cdot dr$  dir. Bu halka ü-  
zerindeki  $dq$  yükü  $dq = \sigma \cdot dA = 2\pi R \cdot dr \cdot \sigma$  olur.  
Şekil 2.7.b'deki  $dE$  vektörü P'de halka tarafından meydana  
getirilen bileşke alan şiddetidir.

$$E = \frac{1}{4\pi\epsilon_0} \cdot \frac{dq \cdot \cos\alpha}{s^2} \text{ denkleminde}$$

q yerine dq değerini koyarsak

$$dE = \frac{\sigma}{2\epsilon_0} \cdot \frac{R \cdot \cos\alpha}{s^2} \cdot dr$$

elde edilir. Dar yük halkaları tarafından meydana getirilen alan-  
ların hepsi aynı doğrultudadır. Dolayısıyla bileşke alan yukarı-  
daki ifadenin integralidir. Burada bağımsız değişken olarak  
 $\alpha$  almak işi basitleştirir.

Şekilde  $R = r \cdot \tan\alpha$   $s = r \cdot \sec\alpha$  olup  $dr = r \cdot \sec^2\alpha \cdot d\alpha$  dir.

$$dE = \frac{\sigma}{2\epsilon_0} \cdot \frac{R \cdot \cos\alpha}{s^2} \cdot dr = \frac{\sigma}{2\epsilon_0} \cdot \frac{r \cdot \tan\alpha \cdot \cos\alpha}{r^2 \cdot \sec^2\alpha} \cdot r \cdot \sec^2\alpha \cdot d\alpha$$

$$\text{dan, } dE = \frac{\sigma}{2\epsilon_0} \cdot \sin\alpha \cdot d\alpha \text{ bulunur. } \alpha = 0 \text{ ve } \alpha = \pi/2$$

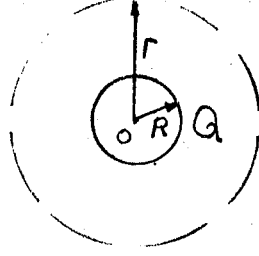
sınırları arasında bu ifadenin integrali alınırsa,

$$E = \frac{\sigma}{2\epsilon_0} \cdot \int_0^{\pi/2} \sin\alpha \cdot d\alpha = \frac{\sigma}{2\epsilon_0} \left| -\cos\alpha \right|_0^{\pi/2} = \frac{\sigma}{2\epsilon_0}$$

ifadesi bulunur.

Alan şiddeti;  $r$  bu ifadede olmadığına göre, düzlem-  
me olan uzaklığa bağlı değildir. Yani alan düzdür. Aynı  
şekilde  $yz$  düzleminin öbür tarafında da aynı değerde fakat  
ters yönde bir alan meydana gelir.

#### 4.3. Elektrik Akısı, Yoğunluğu ve Deplasman vektörü:



Şekil 4.8

Şekil 4.8'de görülen madenî kürenin üstünde  $Q$  elektrik yükünün bulunduğunu farz edelim. Bu kürenin yüzeyi  $4\pi R^2$  olduğundan, birim yüzeye düşen elektrik yükü

$$D = \frac{Q}{4\pi R^2}$$

olup burada  $Q$  küreden çıkan (+yük için) veya küreye giren (-yük için) elektrik akısına,  $D$  ise bu akının küre yüzeyi üzerindeki yoğunluğuna tekabül eder.  $r$  yarı çaplı herhangi bir küredende aynı akı geçeceğinden bu küre üstündeki akı yoğunluğunda

$$D = \frac{Q}{4\pi r^2} \text{ dir.}$$

Düzgün bir elektrikselsel alanın alan çizgilerine dik olarak alınan bir  $S$  yüzeyinden geçen elektrik akısı  $\Phi_S = D \cdot S$

bağıntısı yardımı ile hesaplanır.  $S$  yüzeyinin normali alan yönü ile bir  $\alpha$  açısı yaptığı takdirde akı  $\Phi_S = D \cdot S \cdot \cos\alpha$  olur.

nokta şeklindeki bir yükün herhangi bir noktadaki alan şiddeti

$$E = \frac{Q}{4\pi \epsilon_0 r^2}$$

olduğundan alan şiddeti ile elektrik akısı yoğunluğu arasında

$$D = \epsilon_0 \cdot E$$

bağıntısı vardır. O halde bir elektrik alanı aynı zamanda

$$\vec{D} = \epsilon_0 \cdot \vec{E}$$

deplasman vektörü yardımı ile de gösterilebilir. Demekki ( $\vec{D}$ )

deplasman vektörü ile ( $\vec{E}$ ) alan vektörü boşlukta birbirine

$$\vec{D} = \epsilon_0 \cdot \vec{E}$$

bağıntısı ile bağlıdır. Şu halde noktasal bir Q yükünün, kendisinden R uzaklıkta bir noktada meydana getirdiği deplasman vektörü ve modülü,

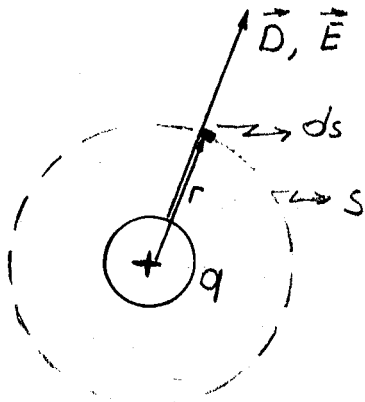
$$\vec{D} = \frac{Q}{4\pi\epsilon_0} \vec{u}_R \quad \text{ve} \quad D = \epsilon_0 \cdot E = \epsilon_0 \frac{Q}{4\pi\epsilon_0 R^2} = \frac{Q}{4\pi R^2} \text{ olur}$$

$\vec{E}$  vektör alanında olduğu gibi, buradada, deplasman vektör alanı

$\vec{D}$  vektörüne teğet olarak çizilen ve aynı yönde olan deplasman çizgileri yardımı ile gösterilebilir. Deplasmanın (akı yoğunluğu) MKSA- birim sisteminde birimi

kulon / metre kare  $[C/m^2]$  dir.

Şekil 4.9'da görüldüğü gibi q noktasal yükünü kuşatan r yarı çaplı eş merkezli bir küreyi ve bunun üzerinde bir daire yüzey elemanını ele alalım. Küresel simetriden dolayı deplasman ve alan şiddeti vektörleri radyal doğrultuda olacağından, alan şiddeti vektörleri radyal doğrultuda olacağından, alan çizgileri (E ve D) küre yüzeyini her noktada dik olarak keserler. Dolayısıyla  $\vec{D}$  ve  $\vec{E}$  vektörleri alan çizgileri yönünde olacaktır.



şekil 4.9

$$dq = D \cdot ds$$

$$q = \int D \cdot ds = D \int ds$$

$$q = D \cdot S = D \cdot 4\pi r^2$$

buradan

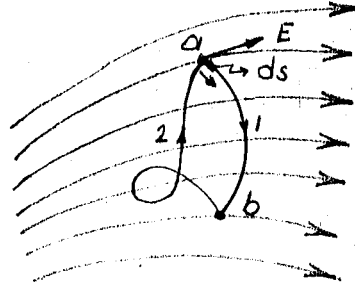
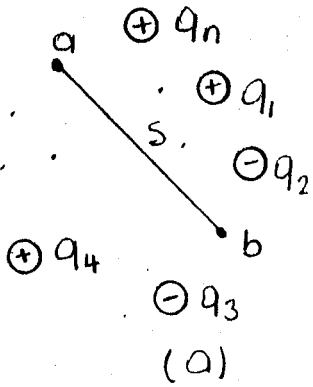
$$D = \frac{q}{4\pi r^2} \quad \text{ve}$$

$$\vec{D} = \epsilon_0 \cdot \vec{E} \quad \text{den} \quad E = \frac{D}{\epsilon_0} = \frac{q}{4\pi \epsilon_0 r^2}$$

bağıntısı tekrar elde edilir.

$D = \epsilon \cdot E$  bağıntısı manyetik alanda görülen  $B = \mu \cdot H$  bağıntısına benzer. Düzgün bir elektriksel alan içinde deplasman vektörü her yerde aynı değer ve yöndedir.

#### 4.4. Gerilim ve Potansiyel



(b)

şekil 4.10

Şekil 4.10 a'da dağılmış yükler, şekil 4.10 b'de de bu yükler tarafından meydana getirilen elektriksel alan görülmektedir. a'daki pozitif bir yükü s mesafesindeki b noktasına taşımak için yapılacak iş  $w = F \cdot s \cdot \cos \alpha$

bağıntısı ile tanımlanır. Burada  $S$  mesafe  $F$  tatbik edilen kuvvettir.

$$F \cdot \cos \alpha \quad F \sin$$

büyüklik ve yönce sabit kalmak üzere  $F$ 'nin  $a$  düzlemi üzerindeki bileşenidir.

$$W = F \cdot S \cdot \cos \alpha$$

bağıntısından burada  $F$ 'nin değeri bulunamaz çünkü  $a, b$  yolunda yüklü cisme etki eden kuvvet büyüklik ve yönce değişecektir. Ancak integral yardımı ile bulunabilir.

Elektriksel alanda bulunan bir noktadaki potansiyel, herhangi bir yükü sonsuz büyük bir mesafeden, bu noktaya getirmede, birim yük için yapılan işten ibarettir. Birim pozitif yükü sonsuzdan  $b$ 'ye getirmekle yapılan iş,  $a$ 'ya getirmekle yapılan işten büyükse  $b$ 'nin potansiyeli  $A$ 'ninkinden yüksektir denir.

Statik elektrik alanında  $\vec{E}$  alan şiddeti vektörünün kapalı bir  $S$  yörüngesi boyunca eğrisel integralinin sıfır, yahut statik elektrik alanında kapalı bir yörünge boyunca yapılan toplam işin sıfıra eşit

$$\oint \vec{E} \cdot d\vec{s} = 0$$

integrali ile ifade edilir. Şekil 4.10 b'de görüldüğü gibi, böyle bir alanda herhangi bir  $a$  ve  $b$  gibi iki nokta arasında, alan şiddeti vektörünün eğrisel integral değeri,

$$\oint_S \vec{E} \cdot d\vec{s} = \int_{a,b} \vec{E} \cdot d\vec{s} + \int_{b_2a} \vec{E} \cdot d\vec{s} = 0 \text{ dan } \int_{a_1b} \vec{E} \cdot d\vec{s} = - \int_{b_2a} \vec{E} \cdot d\vec{s} = \int_{a_2b} \vec{E} \cdot d\vec{s}$$

eşitliğinden de görüleceği üzere izlenen yörüngeye bağlı olmayıp  $a$  ve  $b$  noktalarının koordinatlarına bağlıdır.  $\vec{E}$  alan şiddeti birim pozitif yüke tesir eden kuvvet olduğuna göre,

$$\left( \vec{E} \cdot d\vec{s} \right)$$



çarpımı, birim pozitif yükün, alan tesiri ile ds mesafesi kadar kayması halinde alan tarafından yapılan işi ve

$$(-\vec{E} \cdot d\vec{s})$$

çarpımı ise, birim pozitif yükü, ters yönde ds kadar kaydırmak için dış kuvvetler tarafından yapılan, diğer bir deyimle harcanan işi gösterir. Bu bize elektrik alanının her noktasının belirli bir enerjiye yani belirli bir potansiyel enerjiye sahip olduğunu gösterir. Potansiyel enerji alanda elektrikli bir cisim bulunması veya alana böyle bir cisim sokulması halinde kendini gösterir.

Potansiyelleri birbirinden farklı olan a ve b gibi iki nokta arasındaki potansiyel farkına,

$$U_a - U_b = \int_a^b \vec{E} \cdot d\vec{s} = U_{ab}$$

bu iki nokta arasındaki gerilim denir. Bu bağıntıya göre, a, ve b noktaları arasındaki gerilim, pozitif birim yükün alan tesiri ile a noktasından b noktasına götürülmesi halinde alan tarafından yapılan işi gösterir.  $U_{ab} > 0$  halinde  $U_a > U_b$  büyük tersine  $U_{ab} < 0$  ise yani negatif olması halinde, a noktasının potansiyeli b noktasının potansiyelinden  $U_a < U_b$  küçüktür. Gerilim ve potansiyel

skalar bir büyüklüktür.

Herhangi bir noktanın potansiyeli, potansiyeli sıfır kabul edilen referans bir noktaya göre ifade edilebilir. Herhangi bir P noktasının referans noktasına nazaran potansiyeli

$$U_P = \int_P^A \vec{E} \cdot d\vec{s} = - \int_A^P \vec{E} \cdot d\vec{s}$$

integrali yardımı ile ifade edilebilir. Burada A potansiyeli sıfır  $U_A = 0$  kabul edilen referans noktasını göstermektedir. Referans noktasının seçimi genellikle serbesttir. Bununla beraber umumiyetle toprak referans noktası olarak seçi-

lır. Sonsuzda referans noktası alınabilir. Sonsuz seçilmesi halinde

$$U_P = \int_P^{\infty} \vec{E} \cdot d\vec{s} = - \int_{\infty}^P \vec{E} \cdot d\vec{s}$$

şeklinde P noktasının potansiyeli ifade edilir. Noktasal bir yükün alanında, bu yükten r uzaklıkta olan herhangi bir noktanın sonsuza göre potansiyeli

$$U_P = \int_r^{\infty} \vec{E} \cdot d\vec{r} = \frac{Q}{4\pi\epsilon} \int_r^{\infty} \frac{dr}{r^2} = \frac{Q}{4\pi\epsilon r}$$

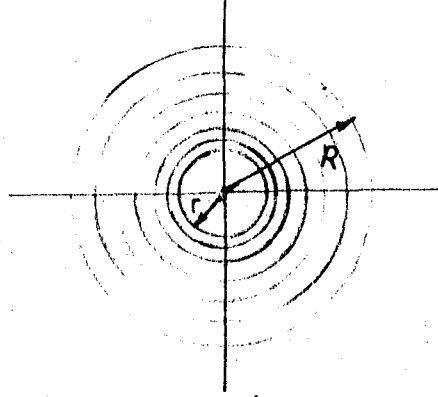
bağıntısı yardımı ile bulunur.

$$r \rightarrow \infty \text{ için } U = 0$$

olacağından sonsuzdaki bir nokta, noktasal yükün potansiyel alanı için referans bir nokta olarak alınabilir.

Potansiyelleri birbirine eşit olan noktaları birleştiren yüzeylere eş potansiyel yüzeyler denir. Bir eş potansiyel yüzey üzerinde iki nokta arasındaki potansiyel farkı ve dolayısıyla bu iki nokta arasında yapılan iş sifıra eşittir. Eş potansiyel yüzeyler ve dolayısıyla eş potansiyel çizgiler E ve D alan çizgileri ile dik olarak kesişirler.

Noktasal bir yükün alanı, yukarıda da belirtildiği gibi, simetrik küresel bir alan olması dolayısıyla, eş potansiyel yüzeyler eş merkezli birer küre yüzeyi teşkil ederler. Bunların bir simetri düzlemi üzerindeki izleri, eş potansiyel çizgileri verir, Bunlarında eş merkezli birer daire olacağı aşikardır. Şekil 4.11'de noktasal yükün alanı, eş potansiyel çizgiler yardımı ile gösterilmiştir. Eş potansiyel çizgiler potansiyel farkı esas tutularak çizilmiştir. Eş potansiyel çizgiler ne kadar sık olursa bu noktadaki alan şiddeti de o nisbette büyük olur.



Şekil 4.11

Düzgün bir alan içinde bulunan a ve b noktaları arasındaki uzaklığı  $s$  ile gösterirsek a noktasından b noktasına bir Q yükünün gitmesiyle yapılan iş

$$W = F \cdot s = Q \cdot E \cdot s$$

bağıntısı ile ifade edilebilir. Bu eşitliğin her iki tarafını Q'ya bölersek,

$$\frac{W}{Q} = E \cdot s$$

bağıntısı bulunur.

Bir noktadan yere giden 1 kulon değerinde bir yükün yaptığı iş bir joule ise, bu noktanın potansiyeli bir voltur. Bu tanıma göre, a ve b noktaları arasındaki gerilim:

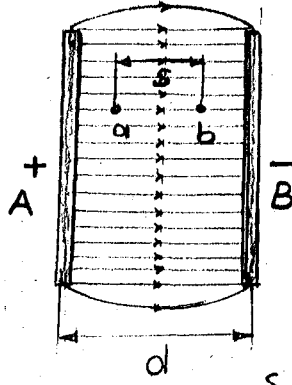
$$U_{ab} = \frac{W}{Q} = E \cdot s$$

bağıntısı ile tanımlanır. birimi

$$\text{Joule/kulon} \left[ \frac{\text{J}}{\text{C}} \right]$$

olup kısaca voltla ifade edilir.

Şekil 4.12'de pozitif ve negatif yüklü iki paralel levha arasında meydana gelen elektrik alanı görülmektedir. Bu levhalar yeter derecede birbirine yakın olursa aralarında meydana gelen alan düzgün elektriksel alandır.



Sekil 4.12

a ve b noktaları arasında uzaklık s olup, a noktasına bir pozitif Q yükünün getirildiği düşünülürse bu yük

$$F = Q \cdot E$$

kuvvetinin tesiri altında kalarak negatif levhaya doğru gider.

Q yükünün a noktasından s kadar uzaklıkta bulunan b noktasına gelinceye kadar alan kuvveti ( $\vec{E}$ ) bir iş görecektir. Bu iş

$$W = F \cdot s = Q \cdot E \cdot s \text{ dir.}$$

a ve b noktaları arasındaki gerilim

$$U_{ab} = \frac{W}{Q}$$

oranı ile tarif edildiğinden

$$U_{ab} = E \cdot s \text{ dir.}$$

Bu bağıntıya göre düzgün alan içindeki elektrik alanı şiddeti, bir alan çizgisi boyunca beher metreye isabet eden gerilimden başka bir şey değildir.

$$E = \frac{U_{ab}}{s} = \frac{U_a - U_b}{s}$$

Alan düzgün olmadığında  $\vec{E}$  her yerde büyüklük ve yönce farklı olacağından, bu durumda iş formülü ancak alan çizgisi üzerinde ds gibi sonsuz küçük bir uzunluk için yazılabileceğini daha önce gördük. Bu durumda Q yükü alan çizgisi boyunca ds kadar gittiği vakit yapılan iş:

$$dW = F \cdot ds = Q \cdot E \cdot ds \text{ olur.}$$

a ve b noktaları arasında Q yükünün hareketi ile görülen iş

$$W = Q \int_a^b E \cdot ds \text{ olup, gerilim ise } U_{ab} = \int_a^b \vec{E} \cdot d\vec{s} \text{ dir.}$$

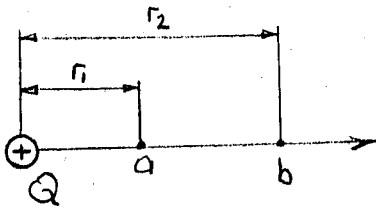
Şayet Q yükü bir alan çizgisi boyunca herhangi bir eğri boyunca hareket ederse

$$U_{ab} = \int_a^b E \cdot ds \cdot \cos \alpha$$

bağıntısı kullanılır. ( $\alpha$ )  $\vec{E}$

vektörü ile eğrinin teğetleri doğrultusundaki ve b ye doğru yönelen ds vektörü arasındaki açıdır.

Şekil 4.13'de Q yükünden  $r_1$  ve  $r_2$  uzaklığında bulunan iki nokta arasındaki gerilim:



Şekil 4.13

$$U_{ab} = \int_{r_1}^{r_2} E \cdot dr \text{ den}$$

$$E = \frac{Q}{4\pi\epsilon r^2} \text{ olduğundan}$$

$$U_{ab} = \frac{Q}{4\pi\epsilon} \int_{r_1}^{r_2} \frac{dr}{r^2}$$

$$U_{ab} = \frac{Q}{4\pi\epsilon} \left[ -\frac{1}{r} \right]_{r_1}^{r_2} = \frac{Q}{4\pi\epsilon} \left( \frac{1}{r_1} - \frac{1}{r_2} \right)$$

formülü ile bulunur. a noktasının potansiyeli

$$U_a = \frac{Q}{4\pi\epsilon r_1}$$

ve b noktasının potansiyeli

$$U_b = \frac{Q}{4\pi\epsilon r_2}$$

olduğundan

$$U_{ab} = U_a - U_b = \frac{Q}{4\pi\epsilon} \left( \frac{1}{r_1} - \frac{1}{r_2} \right) \text{ olur.}$$

#### 4.5. Gauss Teoremi:

Merkezinde bir q nokta pozitif yükü bulunan, herhangi yarıçaplı bir küresel yüzeyden geçen toplam kuvvet çizgisi sayısı nümerik olarak q'ye eşittir.

$$E = \frac{1}{4\pi\epsilon_0} \cdot \frac{q}{r^2} \text{ veya } \epsilon_0 \cdot E = \frac{1}{4\pi} \cdot \frac{q}{r^2} \text{ den}$$

$$q = \epsilon_0 \cdot E \cdot 4\pi r^2 = \epsilon_0 \cdot E \cdot S = D \cdot S$$

olup kuvvet çizgilerini N'le gösterirsek, Gauss Teoremine göre, herhangi bir kapalı yüzeyden, dışarı doğru geçen net kuvvet çizgileri sayısı yüzey içindeki net pozitif yüke eşittir.

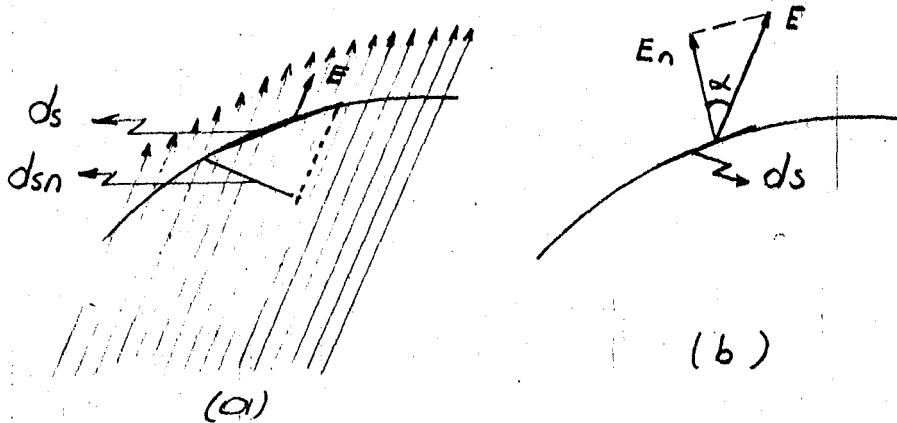
$$N = \sum q$$

$\vec{D}$  deplasman vektörünün akısı ile ilgili olarak Gauss Teoremini şu şekilde ifade edebiliriz.

$\vec{D}$  vektörünün kapalı bir yüzeyden geçirdiği akı, bu yüzeyin kapladığı bölge içinde bulunan yüklerin cebirsel toplamına eşittir.

Bu kavramun pratik faydası N net kuvvet çizgisi sayısının elektrik şiddeti cinsinden ifade edilebilmesidir. Herhangi bir biçimde, bir yüzey için, herhangi bir keyfi yük dağılımı tarafından meydana getirilen alan içinde, kuvvet çizgileri, yüzeyi genel olarak dik açılarla kesmezler ve şiddet yüzeyin bir noktasından öbürüne değişir. Şekil 4.14 (a)'da ds yüzeyinden geçen alan çizgileri görülmektedir. ds elemanının merkezindeki elektrik alan şiddeti E olup ds yüzeyinden geçen çizgi sayısı

$$dN = \epsilon_0 \cdot E \cdot ds_n = \epsilon_0 \cdot E \cdot ds \cdot \cos\alpha \text{ dir.}$$



Şekil 4.14

Şekil incelenirse  $ds$ 'den geçen çizgiler  $ds_n$ 'den geçen çizgilerdir. Yukarıdaki Denklemi,

$$dN = \epsilon_0 (E \cdot \cos \alpha) \cdot ds$$

şeklinde yazarsak  $E \cdot \cos \alpha$  şekil 4.14 b'de  $E$ 'nin  $ds$ 'ye normal bileşeni olan  $E_n$  dir. Böylece çizgiler bir yüzeyden herhangi bir doğrultuda geçtikleri vakit yüzeyin bir elemanından geçen kuvvet çizgilerinin sayısı

$$dN = \epsilon_0 \cdot E_n \cdot ds \text{ olur.}$$

Dağılmış yükü çevreleyen yüzey  $ds_1, ds_2, \dots$  v. s. yüzölçümlü bir çok elemana bölünmüş olsun  $E_{n1}, E_{n2}, \dots$  v. s. bu elemanların merkezlerinde elektrik alan şiddetlerinin normal bileşenini gösterebilir. Bu takdirde elemanlarından geçen kuvvet çizgileri,

$$dN_1 = \epsilon_0 \cdot E_{n1} \cdot ds_1, dN_2 = \epsilon_0 \cdot E_{n2} \cdot ds_2, \dots \text{ v. s.}$$

olacağından bütün yüzeyden geçen kuvvet çizgilerinin toplamı,

$$N = dN_1 + dN_2 + \dots + dN_n = \epsilon_0 (E_{n1} \cdot ds_1 + E_{n2} \cdot ds_2 + \dots + E_{nn} \cdot ds_n) \\ = \epsilon_0 \sum E_n \cdot ds \text{ olur.}$$

limitte yüzey elemanları çok küçük seçildikleri vakit

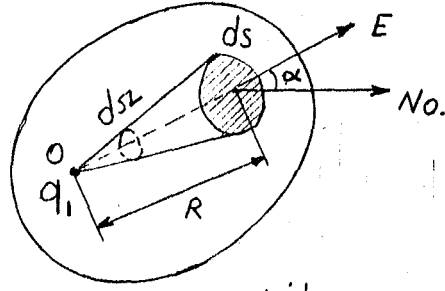
$$N = \epsilon_0 \int E_n \cdot ds$$

olurki integral limitleri bütün yüzeyi kaplayacak şekilde seçilirse  $N$ 'ni  $E_n$  cinsinden ifade etmiş olduğumuzdan

$$\epsilon_0 \int E_n \cdot ds = \sum q$$

olarak elde ederizki burada  $\sum q$  yüzey içerisinde bulunan net pozitif yüküdür. Bu bağıntı Gauss teoremidir.

Bu teoremi şekil 4.15'de görüldüğü değişik bir yüzey ve diferansiyel katı açıdan istifade ederek çıkartalım.



Şekil 4.15

Şekil 4.15'de görüldüğü gibi içinde noktasal bir yük bulunan kapalı bir s yüzeyi düşünelim. O noktasında bulunan  $q_1$  yükünün s yüzeyi üzerindeki bir diferansiyel yüzey parçasından geçirdiği diferansiyel akı  $d\phi_E = E \cdot ds \cdot \cos\alpha$  olup bunun yerine D vektörünün akısını yazarsak

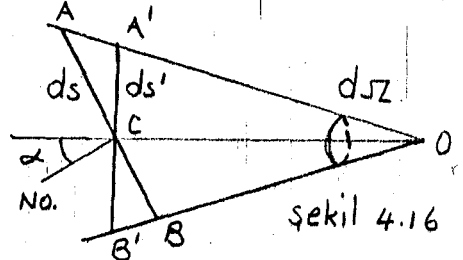
$$d\phi_D = D \cdot ds \cdot \cos\alpha = \frac{q_1}{4\pi R^2} \cdot ds \cdot \cos\alpha$$

elde edilir. diferansiyel katı açısı:

$$d\Omega = \frac{ds \cdot \cos\alpha}{R^2}$$

olduğundan

$$d\phi_D = \frac{q_1}{4\pi} \cdot d\Omega$$



Şekil 4.16

bulunur. Diferansiyel katı açısının bağıntısını  $\Omega$  şekilde bulabiliriz. Şekil 4.16'da görüldüğü gibi tepesi O ve tepedeki katı açısı sonsuz küçük  $d\Omega$  ya eşit olan diferansiyel bir koni alalım. Bu koninin herhangi bir yüzey üzerinde ayırdığı diferansiyel AB kısmının yüzölçümü  $da$  olsun.  $da$  çok küçük olduğundan bir düzlem olarak kabul edilebilir. O noktasının ds yüzey parçasına uzaklığı  $OC = R$  ile ve diferansiyel koninin, yarıçapı R ve merkezi O olan küre üzerinde sınırladığı  $da'$ ye eşit yüzey parçasını  $A'B'$  ile gösterirsek

$$d\Omega = \frac{ds'}{R^2}$$

OC'nin AB'ye normale yaptığı açı  $\alpha$  olsun  $A'B'$  yüzeyinde çok küçük olduğu için, bir düzlem olarak kabul edebiliriz.



Bu takdirde  $ds'$ 'nin  $ds$ ' ile yaptığı açı  $\alpha$  dir. Şu halde

$$ds' = ds \cdot \cos \alpha \text{ olacağından } dsz =$$

Şekil 4.15'de  $q_1$  yükünün meydana getirdiği D vektörünün bütün s yüzeyinden geçirdiği akı ise, bu yüzeyi teşkil eden bütün diferansiyel  $ds$  yüzeylerinden geçirdiği diferansiyel akıların toplamıdır. Bu toplam  $q_1$ 'in bulunduğu O noktası etrafındaki bütün  $dsz$  katı açılarının toplamını hesaplamayı gerektirir.

Halbuki, bir nokta etrafındaki katı açı  $4\pi$  steradyan olduğundan,  $q_1$  yükünün meydana getirdiği D vektörünün geçirdiği akı

$$\int \frac{q_1}{4\pi} dsz = q_1 \text{ olur.}$$

Kapalı S yüzeyi içinde bulunan diğer noktasal yüklere tekabül eden akılarda aynı şekilde bulunacağından; bütün yüklerin meydana getirdiği bileşke D vektörünün bu yüzeyden geçirdiği toplam akı

$$\Phi_0 = \sum q$$

şeklini alır.  $\sum q$  yüklerin cebirsel toplamıdır.

$$D \cdot \cos \alpha$$

D vektörünün  $ds$  yüzeyine normal olan  $D_n$  bileşenini gösterirse

$$d\Phi_0 = D_n \cdot ds$$

ve diferansiyel akıların S yüzeyi için toplamını almak, yani bu ifadenin S yüzeyi boyunca integralini hesaplamak gerekir.

Bu durumda

$$\Phi_0 = \int_S d\Phi_0 = \int_S D_n \cdot ds \text{ veya } \Phi_0 = \oint_S D_n \cdot ds = \sum q$$

ifadesi bulunurki bu ifade deplasman vektörünün modülüne göre yazılmış bir ifadedir.

O noktasındaki yükün s kapalı yüzeyinden geçirdiği toplam

deplasman akısı

$$\int_0^{2\pi} \frac{q}{4\pi} d\Omega = \frac{1}{2} q \text{ dur.}$$

S yüzeyi üzerindeki bütün yüklerin bu yüzeyden geçirdikleri toplam akı ise

$$\Phi = \frac{1}{2} \leq q \text{ olur.}$$

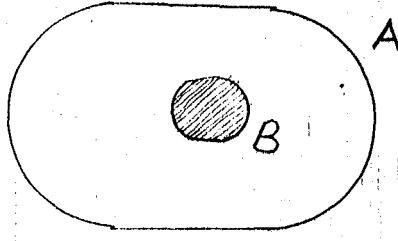
#### 4.6 İletkenlerde Elektrik Yükü

Yabancı etkilerden uzakta, tek başına bulunan bir iletken üzerindeki elektrik yükü, iletken cismin her tarafında serbestçe dolacağından bu yük iletkenin her noktasına dağılmıştır.

Şu halde bir iletken üzerinde bulunan elektrik yükleri başka yüklerin etkisi ile kolayca hareket edebilirler. Ancak hiçbir kuvvete maruz kalmadıkları takdirde denge halinde bulunabilirler. Bu özelliğe dayanarak iletkenin tanımını yapmak mümkündür.

Bir cismin herhangi bir noktadaki elektrik yükü, ancak kendini hareket ettirmeye çalışan hiçbir kuvvetin etkisi altında kalmadığı zaman denge halinde bulunabiliyorsa, bu cisim bir iletkendir.

Üzerinde elektrik yükü denge halinde olan bir iletken alanı. Eğer bu iletkenlerin içinde herhangi bir noktadaki elektrik yüklerini düşünecek olursak, iletkendeki yükler denge halinde bulduklarına göre, bu noktadaki yükler hareket etmezler. Şu halde bunlar üzerine etkiyen kuvvetlerin bileşkesi sıfırdır. Bu ise iletken içinde alınan herhangi bir noktada alan şiddetinin sıfır olduğunu gösterir. Şekil 4.17'deki A iletkeni içinde herhangi bir B kapalı yüzeyi ele alacak olursak, iletken içinde alan sıfır olduğundan B yüzeyinden dışarı çıkan akıda sıfırdır.



Şekil 4.17

Halbuki Gauss teoremine göre bu akı, kapalı yüzey içindeki yüklerin toplamına eşittir. Şu halde

$$\sum q = 0 \text{ dir.}$$

Demekki denge halinde bir iletken içinde net bir elektrik yükü bulunmaz. Halbuki A iletkeni elektrik yükü ile yüklü bir iletken olduğuna göre, bütün elektrik yükünü iletkenin dış yüzeyine dağılmış olması gerekir.

4.6.1. Bir iletkenin Potansiyeli: Bütün diğer elektrik yüklerinden uzakta ve üzerindeki yükler denge halinde bulunan bir iletken düşünelim. Bu iletken üzerinde herhangi bir M noktasındaki potansiyel, q yüklerinin M noktasına uzaklığı R ile gösterilirse

$$\frac{1}{4\pi\epsilon_0} \sum \frac{q}{R} \text{ ye}$$

eşittir. Bu potansiyel iletkenin her noktasında aynıdır. Aksi takdirde, pozitif yükler küçülen potansiyel ve negatif yüklerde büyüyen potansiyel yönünde hareket etmek isteyeceklerdir. Bu durumda iletken üzerinde bir yük hareketi meydana gelir. Halbuki yüklerin denge halinde buldukları kabul edildiğine göre, iletkenin her noktasının potansiyeli aynıdır. Ezo olduğundan

$$du/dN = 0, \text{ dan } du = 0 \text{ ve } \int du = u$$

sabit olması gerekir. Daha önce söylediğimiz gibi bir iletkenin potansiyeli, bu iletken üzerinde bir M noktasında bulunan

+1 yükün yere gitmekle yaptığı işe eşittir. Yerin potansiyeli 0 olduğundan  $+1 \cdot (U_m - 0) = U_m$  dir.

Bir iletkenin potansiyelinin işareti yükünün işaretinin aynadır. Pozitif veya negatif bütün yükler yere gitmek isterler. Eğer yük pozitifse bu yükü taşıyan iletkenin potansiyelide pozitif ve yerin potansiyeli sıfır olduğundan, iletkenin potansiyeli yerin potansiyelinden büyüktür. Pozitif yükler, küçülen potansiyel yönünde hareket ettiklerinden iletkenin yükü yere gitmek ister. Eğer yük negatifse, iletkenin potansiyeli yerin potansiyelinden küçüktür, ve negatif yükler büyüyen potansiyel yönünde hareket edeceklerinden, iletkenin yükü gene yere gitmek ister.

**4.6.2. Bir İletkenin Çok Yakınında ve Üzerindeki Noktalarda Alan Şiddetleri: Elektrostatik Basınç:** Tek başına ve yükü denge halinde bulunan bir iletkenin bütün yükü dış yüzeyine dağılmış olduğuna göre, birim yüzeye isabet eden bir  $\sigma$  yüzey yoğunluğu düşünülebilir. B öyle bir iletkenin bütün yükü, içinden dışarıya doğru atılmış olduğu için dış yüzeyinde toplanmış gibi düşünülebilir. Elektrik yüklerinin, iletkenin dış yüzeyinde fırlayarak gitmelerine, iletkeni kaplayan yalıtkan cisim, mesela hava engel olmaktadır. Bu takdirde yükleri iletkenden dışarı atmaya çalışan bir kuvvet vardır. birim yüzeye isabet eden bu kuvvete elektrostatik basınç adı verilir.

İletkenin dış yüzeyinde toplanan elektrik yükleri kendi yakınlarında bir alan meydana getirirler. Bir iletkenin dış yüzeyi yakınında bir noktada alan vektörü bu yüzeye dik, iletkenin yükü pozitif olduğu takdirde yönü içeriden dışarı doğru ve şiddeti

$$\frac{\sigma}{\epsilon_0} \text{ dir.}$$

Çünkü  $\sigma \cdot ds$  akısı tamamen  $ds$  yüzeyinden geçmektedir.  $\vec{D}$  ve  $\vec{E}$  vektörleri  $ds$  yüzeyine dik olduklarından bu akının değeri

$$D \cdot ds = \epsilon_0 \cdot E \cdot ds$$

Gauss teoremine göre

$$D \cdot ds = \sigma \cdot ds \text{ olduğundan}$$

$$D = \sigma = \epsilon_0 \cdot E \text{ buradan } E = \frac{1}{\epsilon_0} \sigma$$

elde edilir. Eğer iletken üzerinde bir nokta alınırsa, bu noktada alan şiddeti

$$\frac{\sigma}{2\epsilon_0} \text{ ya}$$

eşittir.

$$E = \frac{\sigma}{2\epsilon_0} \text{ olduğundan}$$

iletkenin dışında ve bu iletkenin hemen yakınında bulunan bir noktada alan şiddeti

$$E = \frac{\sigma}{\epsilon_0}$$

Bir iletken cisim üzerindeki yük dağılışı bu cismin şekline bağlıdır. Potansiyeli değiştirmeksizin, sadece sivri uçlar teşkil ederek yükleri buralarda toplamak ve böylece sivri uç civarında alan şiddetini artırmak mümkündür. Meydana gelen bu şiddetli alanın etkisi ile bu sivri uç yakınında hava iyonlaşır, yani atomlar nötr halden çıkıp pozitif ve negatif elektrik yükü ile yüklenirler eğer sivri uçun yükü pozitifse, negatif iyonlar sivri uç tarafından çekilir ve pozitif iyonlarda itilir. Bunun iki türlü sonucu görülür.

- a) iletkenin pozitif yükünün bir kısmı, aldığı negatif iyonlar etkisi ile nötrleşir ve dolayısıyla iletken yükü azalır.
- b) Pozitif iyonlar iletkenden uzaklaştığı için, sanki iletkenin pozitif yükü sivri uçtan dışarıya kaçıyormuş gibi görünür. Hatta iletkenin sivri uçundan uzaklaşan pozitif iyonlar eğer iletkenin meydana getirdiği alan şiddeti yeter büyüklükte ise hava ceryanı bile meydana getirebilirler.

Yüksek potansiyelli iletkenlerde elektrik yükü kaybına neden olurlar. Çünkü yüksek potansiyelli iletkenin yakınında alan şiddetide büyük olur. Bu olay yüksek enerji iletim hatlarında korona etkisi ile tanımlanır. Bu enerji kaybınada neden olur.

#### 4.7. Çizgisel Yük Kaynağı Alanı:

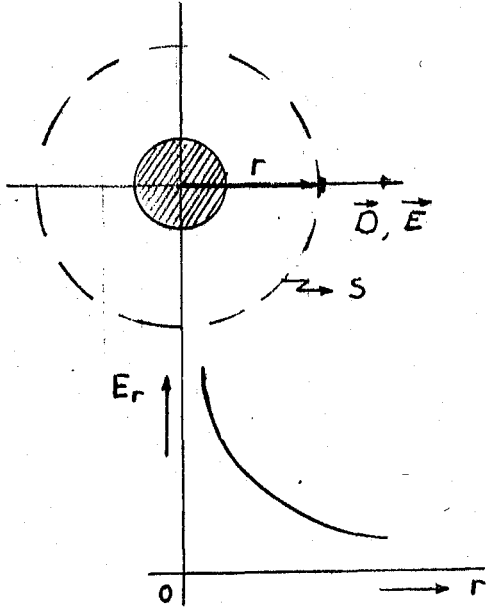
Yarı çapı sonsuz küçük olan düzgün yüklü, çok uzun doğrusal bir iletken, çizgisel bir yük kaynağı olarak düşünülebilir. Böyle bir kaynağın alanı çizgileri iletkeni dik olarak keserler. Çizgisel yük kaynağına dik paralel düzlemlerdeki alan şekilleri birbirinin aynı olur. Alan değişimi sadece radyal yönde meydana gelir. Bu nedenle, bu gibi alanlara iki boyutlu olan veyahut diğer bir deyimle paralel düzlemsel alanlar denir.

Çizgisel yük kaynağının  $L$  uzunluğundaki bir parçasını ele alalım. Bu parçanın toplam yükü  $Q$  olsun kaynağın çizgisel yük yoğunluğunu

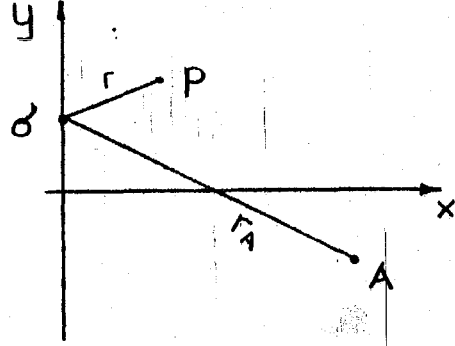
$$\sigma = \frac{Q}{L}$$

olarak gösterelim. Yük kaynağını kusan eş eksenli  $r$  yarıçaplı bir silindir, yüzeyine Gauss teoremini uygulayalım. Her iki uçundan eksene dik birer düzlem ile kesilen yük kaynağı ile birlikte  $r$  yarı çaplı eş eksenli silindirin her iki ucunda bu düzlemler tarafından aynı şekilde dik olacak şekilde kesilecektir. Silindirin her iki ucunda deplasman vektörleri, kesilen yüzeylere paralel olacağından, bu yüzeylerdeki deplasman akılarına sıfır olur. Böylece uç tesirlerinin ortadan kalkması sağlanmış olur.

Şekil 4.18'de görülen söz konusu  $r$  yarı çaplı silindir yüzeyine Gauss teoremi uygulandığında bu yüzeyin herhangi bir  $p$  noktasındaki deplasman ve alan şiddeti için:



Şekil 4.18



Şekil 4.19

$$\vec{D} = \vec{u}_r \cdot D_r$$

$$\oint_S \vec{D} \cdot d\vec{s} = \oint D_r ds = D_r \cdot 2\pi r \cdot l = Q = \sigma \cdot l \quad \text{ve} \quad D_r = \frac{\sigma}{2\pi r}$$

$$E_r = \frac{\sigma}{2\pi \epsilon r}, \quad \vec{E} = \vec{u}_r \cdot E_r$$

bağıntıları elde edilir. Çizgisel yük kaynağının potansiyel alanı ise:

$$U = - \int \vec{E} \cdot d\vec{r} = - \int E_r dr = - \frac{\sigma}{2\pi \epsilon} \int \frac{dr}{r} = - \frac{\sigma}{2\pi \epsilon} \ln r + K$$

bağıntısından bulunur. Burada K integral sabitinin değeri potansiyel sıfır kabul edilen referans noktasına göre sınır şartlarından bulunur. Referans noktasını A ile ve referans noktasının çizgisel yük kaynağına olan uzaklığını  $r_A$  ile gösterebiliriz. Şekil 4.19 referans noktasının potansiyeli

$$r = r_A \quad \text{için}$$

sıfır olacağına göre

$$(U_A = 0), \quad K = \frac{\sigma}{2\pi \epsilon} \ln r_A$$

bulup ve dolayısıyla potansiyel ifadesi içinde

$$U = - \frac{\sigma}{2\pi \epsilon} \ln \frac{r}{r_A} = \frac{\sigma}{2\pi \epsilon} \ln \frac{r_A}{r} \quad \text{bağıntısı bulunur}$$

#### 4.7.1 Dairesel Kesitli Bir İletkenin Alanı:

Buraya kadar umumiyetle yarı çapı sonsuz küçük olan noktasal bir yükün alanı ele alınmıştır. Uzayda izotrop ve homojen bir ortamda bulunan ve yarı çapı  $R$ , uzunluğu  $l$  ve toplam yükü  $Q$  olan bir iletkenin alanını bulalım. İletken yarı çapının, iletken uzunluğuna göre çok küçük olduğunu  $R \ll l$  kabul edelim. Uzayda yalnız başına bulunan böyle bir iletken-  
de, uç tesirler ihmal edilmek suretiyle, iletken üzerindeki yüklerin düzgün olarak dağıldığı ve bunun sonucu olarakta alanın simetrik bir alan olabileceğini kabul edebiliriz. Bu durumda iletkenin alanı, iletkenin eksenindeki çizgisel yük kaynağının alanı ile özdeş olacağından, çizgisel yük kaynağı için bulunan bağıntılar buradada kullanılabilir. Yüzeysel yük yoğunluğu burada

$$\sigma = \frac{Q}{l}$$

olduğuna göre, iletken yüzeyindeki alan şiddeti için diğer bir deyimle maksimum alan şiddeti için ( $r = R$ ),

$$E_r = \frac{\sigma}{2\pi\epsilon} \cdot \frac{l}{r} \text{ bağıntısından } E_{\max} = \frac{\sigma}{2\pi\epsilon} \cdot \frac{l}{R}$$

ve alan şiddeti değişimi içinde

$$E_r = E_{\max} \cdot \frac{R}{r}$$

bağıntısı elde edilir.

Potansiyeli sıfır kabul edilen A referans noktasının iletken eksenine olan uzaklığı  $r_A$  olduğuna göre herhangi bir P noktasındaki potansiyel için:

$$U_p = \int_P^A E_r \cdot dr = \int_P^A \frac{\sigma}{2\pi\epsilon} \cdot \frac{dr}{r} = \frac{\sigma}{2\pi\epsilon} \int_P^A \frac{dr}{r} = \frac{\sigma}{2\pi\epsilon} \left[ \ln r \right]_P^A$$



$$U_p = \frac{\sigma}{2\pi\epsilon} \ln \frac{r_A}{r}$$

bağıntısı yazılabilir. Buradan

$$U = E_{max} \cdot R \cdot \ln \frac{r_A}{r}$$

bağıntısı elde edilir.

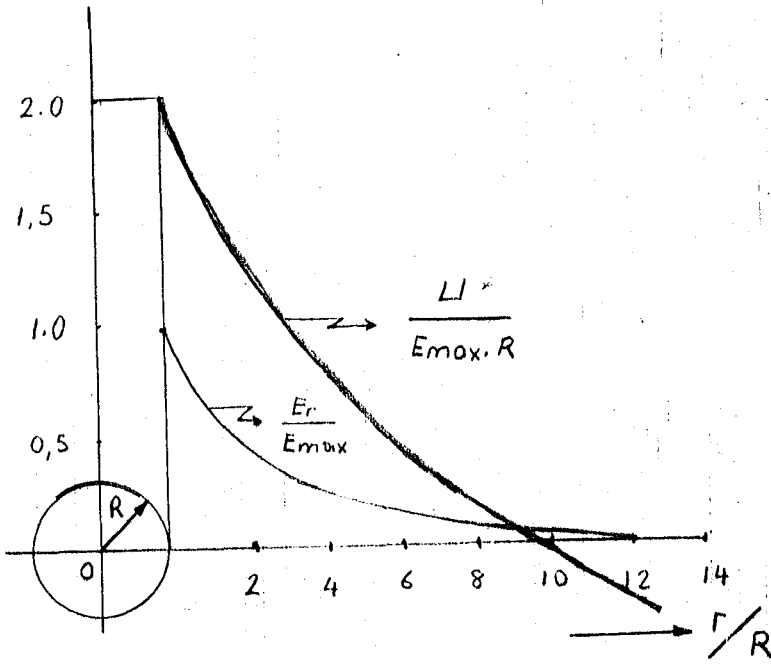
Alan şiddeti ve potansiyelin

$$E_r / E_{max} \text{ ve } U / E_{max} \cdot R$$

bağıl değerlerinin,  $r/R$  bağılı olarak değişimi şekil 4.20'de gösterilmiştir. Burada referans nokta

$$(U=0), \quad r/R = 10$$

değerine tekabül eden değeri için seçilmiştir.



Şekil 4.20

#### 4.7.2. Eş Eksenli İki Silindir Arasındaki Alan:

Yarı çapları  $R_1$ ,  $R_2$  ve uzunluğu  $l$  olan eş eksenli silindirik sistemin bir gerilim kaynağına bağlandığını ve dış elektrodun topraklandığını farz edelim. Bu durumda elektrot yükleri zıt işarette olmak üzere  $Q_1 = -Q_2 = Q$  birbirine eşit ve potansiyelleri  $U_1 = U$ ,  $U_2 = 0$  ve dolayısıyla dış alan sıfır olur. Bu sistemin alanı çizgisel bir yük kaynağı alanından gidilerek bulunabilir. Yük yoğunluğu  $\sigma$  olduğuna göre alan şiddeti ve potansiyel için

$$r = R_1 \text{ ve } U_2 = 0$$

şartı gözönüne alınarak:

$$E_r = \frac{\sigma}{2\pi\epsilon} \cdot \frac{l}{r}, \quad U = -\int E_r \cdot dr = \frac{\sigma}{2\pi\epsilon} \ln \frac{R_2}{r}$$

bağıntılarını elde edilir.

$$r = R_1 \text{ ve } r = R_2 \text{ için } U_1 - U_2 = U_{12}$$

sınır şartları gözönüne alındığında gerilim için:

$$U_{12} = U_1 - U_2 = \int_{R_1}^{R_2} E_r \cdot dr = \frac{\sigma}{2\pi\epsilon} \ln \frac{R_2}{R_1}$$

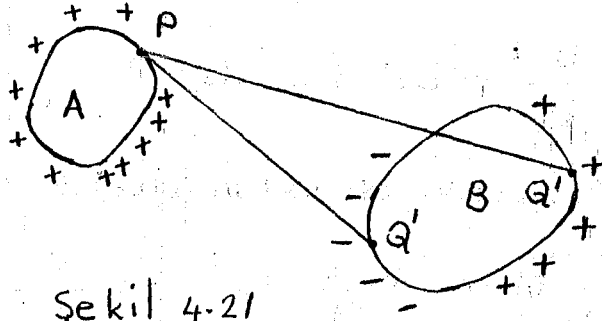
bağıntısı elde edilir.

#### 4.8. Kapasite:

Bir iletkenin elektrik bakımından durumu, yüküne ve potansiyeline bağlıdır. Yükü ve potansiyeli bilinen bir iletkenin elektriksel durumu tamamen belirlidir. Yükün potansiyele oranına "Kapasite" denir. C harfi ile gösterilir Birimi Faraddır.

Her türlü elektriksel etkilerden uzakta bulunan bir iletkenin kapasitesi iletkenin yükü  $Q$  ve potansiyeli  $U$  olmak üzere

$$C = \frac{Q}{U}$$

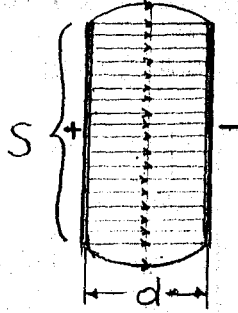


Şekil 4.21

B iletkeni A'ya yaklaştırılınca bunun üzerindeki  $+Q'$  ve  $-Q'$  yüklerinin P noktasında meydana getirecekleri potansiyelleri hesaba katmak gerekir.  $+Q'$  ve  $-Q'$  yüklerinin (P) noktasında meydana getirdikleri potansiyel negatif bir sonuç verir. Dolayısıyla B iletkeni A'ya yaklaştırılınca A iletkenin potansiyeli azalır.

$$C = \frac{Q}{U}$$

bağıntısından kapasitesi büyür.



Şekil 4.22

Şekil 4.22'de görüldüğü gibi paralel levhali kondansatörün levhalarındaki alanın homojen olduğu kabul edilirse levhalar arasındaki gerilim U ile gösterilirse alan şiddeti:

$$E = \frac{U}{d} \text{ dir.}$$

Kondansatörün S yüzeyinden çıkan elektrik akısı Q'ya eşit olduğundan akı yoğunluğu

$$\sigma = D = \frac{Q}{S}$$

ve diğer tarafta,

$$D = \epsilon \cdot E$$

iletken arasındaki havada levhalar arasındaki dielektrik maddedir. Şekil 4.25'de görülen sistemde yerin etkisini nazari ihtibare almadan bu iki iletkenin kapasitesini bulalım.

Eşit yarı çaplı paralel iki silindir sisteminde silindir yarı çapları eksenler arasındaki açıklığa nazaran  $R \ll d$  çok küçük olması halinde, paralel iki iletkenden teşekkül eden sistem elde edilir.

İletkenlerin yarı çapları  $R_1 = R_2 = R$ , boyları  $l$  ve iki iletkenin eksenleri arasındaki uzaklık  $d$  olsun. Bu iletkenler bir gerilim kaynağına bağlandığında iletkenlerin yükleri zıt işaretli olmak üzere birbirine eşit olur.

$$Q_1 = -Q_2 = Q$$

Merkezi O da bulunan iletkenin P noktasında meydana getirdiği alan şiddeti:

$$E = \frac{\phi}{\epsilon \cdot S} \text{ dir.}$$

Burada  $\phi$  deplasman akısı,  $s$  ise merkezi o ve yarı çapı  $r$  ye eşit olan daire kesitli ve  $l$  boyundaki silindirin yanal yüzeyinin yüz ölçümüdür.

$$S = 2\pi r \cdot l$$

iletken yüklerini, iletkenlerin boyları çaplarına göre çok büyük olduğundan çizgisel yük kaynağı olarak kabul edilebilir. Çizgisel yük kaynağından giderek, bu iki iletkenin P noktasında meydana getirdikleri maksimum alan şiddet bulunabilir.

S yüzeyinden çıkan deplasman akısı

$$\phi = \epsilon \cdot E \cdot S = 2\pi r \cdot l \cdot \epsilon \cdot E$$

olup Gauss teoremine göre  $\phi = Q$  olduğundan

$$Q = \epsilon \cdot E \cdot 2\pi r \cdot l$$

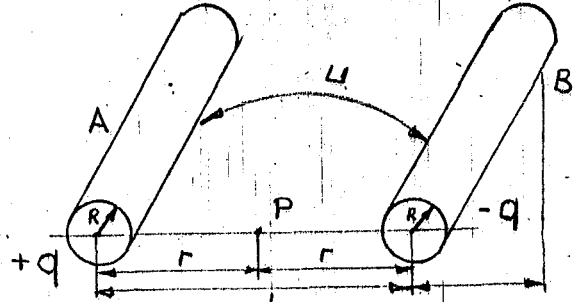
bulunur. Yük yoğunluğu  $q_1 = -q_2 = \sigma = q = \frac{Q}{l}$

ifadesi ile gösterilirse

$$q = \epsilon \cdot E \cdot 2\pi \cdot r$$

bağıntısından alan şiddeti

$$E = \frac{q}{\epsilon \cdot 2\pi \cdot r}$$



Şekil 4.25

bulunur. O halde Şekil 4.25'de sözü edilen iletkenlerin P noktasında meydana getirdikleri alan şiddetleri:

$$\vec{E}_1 = \frac{q}{2\pi\epsilon \cdot r} \cdot \vec{u}_r, \quad \vec{E}_2 = \frac{q}{2\pi\epsilon \cdot r} \cdot \vec{u}_r$$

P noktasındaki alan şiddeti:

$$\vec{E} = \vec{E}_1 + \vec{E}_2$$

olacağından,

$$E_r = 2 \frac{q}{2\pi\epsilon \cdot r} = \frac{q}{\pi \cdot \epsilon \cdot r}$$

olur. İletkenler arasındaki gerilim,

$$U = U_A - U_B = \int_R^{d-R} E_r \cdot dr = \frac{q}{\epsilon \cdot \pi} \int_R^{d-R} \frac{dr}{r} = \frac{q}{\pi \cdot \epsilon} \left| \ln r \right|_R^{d-R} \quad \text{ve}$$

$$U = \frac{q}{\pi \epsilon} \ln \frac{d-R}{R} \text{ bulunur. Burada } R, d-R$$

ile gösterilen integral sınırlarıdır. Çünkü iki iletken arasındaki açıklık R'den  $d-R$ 'ne kadardır.  $R \ll d$  olduğundan

d mesafesi yanında iletken yarı çapı ihmal edilebilir. Bu takdirde:

$$U = \frac{q}{\pi \cdot \epsilon} \ln \frac{d}{R} \text{ olur.}$$

$$C = \frac{q}{U} = \frac{q \cdot l}{U} \quad \text{ve}$$

$$\frac{q}{\pi \cdot \epsilon} = \frac{U}{\ln \frac{d}{R}}$$

bağıntıları yarımını ile paralel iki iletkenli hattın kapasitesi için:

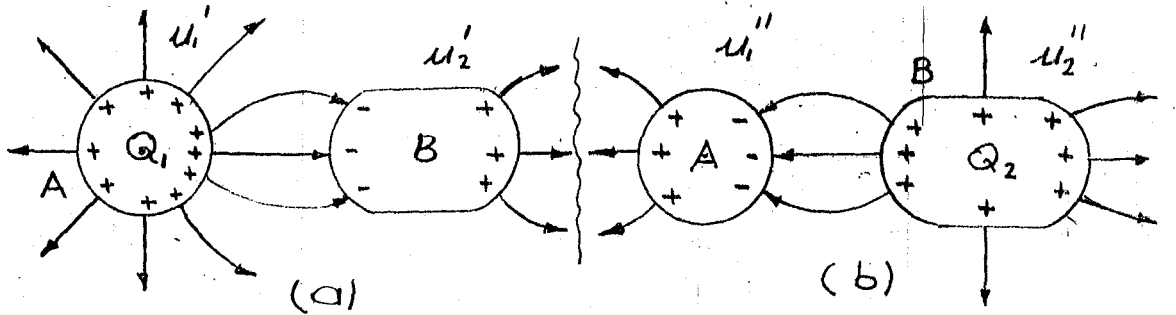
$$C = \frac{\pi \cdot \epsilon \cdot l}{\ln \frac{d}{R}} = \frac{2 \pi \cdot \epsilon \cdot l}{2 \ln \frac{d}{R}}$$

bağıntısı bulunur.

#### 4.9. Yüklerin Potansiyele Etkisi:

Elektrikle yüklü birbirine karşı yalıtılmış cisimlerden teşekkül eden çok iletkenli bir sistemde herhangi bir iletkenin potansiyeli, yalnız bu iletkenin yüküne bağlı, değil aynı zamanda sistemi teşkil eden diğer bütün iletkenlerin yüklerinden de bağlıdır. Elektrik yükü ve potansiyel skalar bir büyüklük olduğundan, bahis konusu edilen iletkenin potansiyeli, iletkenin kendi yükünden başka diğer bütün iletken yüklerinin bu iletken üzerinde meydana getirdikleri potansiyellerin cebirsel toplamına eşittir. Ortamda dielektrik sabiti alan şiddetine bağlı olmadığı takdirde, söz konusu sistemde her bir iletkenin potansiyeli, sistemde bulunan bütün iletken yüklerinin lineer bir fonksiyonu olur.

Şekil 4.26 a ve b'de gösterildiği gibi iki elektrodan teşekkül eden sistemi ele alırsak, şekil (a)'da A elektrodunun  $+ Q_1$  yükü ile yüklendiği, buna karşılık B elektrodunun yüksüz olduğu farz edilmiştir.



Şekil 4.26

$Q_1$  yükünün B elektrodu üzerinde uzaktan tesir suretiyle meydana getirdiği yüklerin toplamı sıfırdır. Bu durumda elektrodların potansiyelleri  $Q_1$  yüküne bağlı olarak

$$U_1' = a_{11} \cdot Q_1, \quad U_2' = a_{21} \cdot Q_1$$

şeklinde yazılabilir.

Şekil b'de ise B elektrodunun  $+ Q_2$  yükü ile yüklendiği, A elektrodunun ise yüksüz olduğu farz edilmiştir. Burada B elektrodunun uzaktan tesir suretiyle A elektrodu üzerinde meydana getirdiği yüklerin toplamı sıfırdır. Bu durumda elektrodların potansiyelleri  $Q_2$  yüküne bağlı olarak:

$$U_1'' = a_{12} \cdot Q_2, \quad U_2'' = a_{22} \cdot Q_2$$

şeklinde yazılabilir.

Her iki elektrodun söz konusu yükler ile yüklennmiş olması halinde ise, elektrodların potansiyelleri her iki haldeki potansiyellerin toplamına eşit olur.

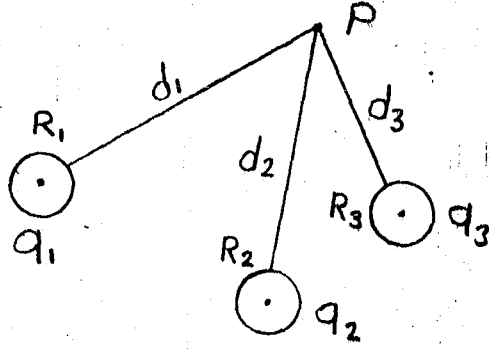
$$U_1 = U_1' + U_1'' = a_{11} \cdot Q_1 + a_{12} \cdot Q_2$$

$$U_2 = U_2' + U_2'' = a_{21} \cdot Q_1 + a_{22} \cdot Q_2$$

Bu denklem sisteminde  $a_{11}, a_{22}$  katsayıları öz potansiyel katsayıları  $a_{12}, a_{21}$  ise karşı potansiyel katsayılarıdır. Aslında söz konusu sistemdeki (a) katsayıları,  $Q$  yükü ile  $U$  potansiyelleri arasındaki bağıntıyı sağlayan

$$\left[ \frac{1}{\text{Kapasite}} = \frac{1}{C} \right]$$

birer orantı faktörüdür. Bu katsayılar elektrodların şekillerine, daha doğrusu yüzeysel boyutlarına, elektrodlar arasındaki uzaklığa ve ortamın dielektrik sabitine bağlıdır.



Şekil 4.27

Şekil 4.27'de bir birim uzunlukta yarı çapları

$$R_1, R_2, R_3$$

ve yükleri  $q_1, q_2, q_3$  olan üç iletkenli bir sistem görülmektedir. Alan şekline toprağın etkisi ihmal edildiğinde, bu yüklerin P noktasında meydana getirdikleri potansiyel, bu üç yükün bu noktada meydana getirdikleri potansiyellerin toplamıdır.

$$U_P = U_{P_1} + U_{P_2} + U_{P_3} = \frac{q_1}{2\pi\epsilon_0} \ln \frac{d_1}{R_1} + \frac{q_2}{2\pi\epsilon_0} \ln \frac{d_2}{R_2} + \frac{q_3}{2\pi\epsilon_0} \ln \frac{d_3}{R_3}$$

potansiyel katsayıları :

$$a_{P_1} = \frac{1}{2\pi\epsilon_0} \ln \frac{d_1}{R_1}, a_{P_2} = \frac{1}{2\pi\epsilon_0} \ln \frac{d_2}{R_2}, a_{P_3} = \frac{1}{2\pi\epsilon_0} \ln \frac{d_3}{R_3}$$

olduğundan

$$U_P = a_{P_1} \cdot q_1 + a_{P_2} \cdot q_2 + a_{P_3} \cdot q_3$$

şeklinde yazılabilir.

#### 4.9.1 Toprak Üstünde Bir İletkenli Hattın Potansiyeli:

Enerji iletim hatları mekanda tam serbest olarak tertiplenmiş olmayıp daima iletken olarak kabul ettiğimiz toprağın yakınındadırlar. Toprağın potansiyelinin sabit olması neticesinde alan kuvvet hatları toprak üzerine dik olduklarından, toprağın potansiyel üzerine tesiri yerine, bir iletkeninki düşümlenebilir. Bunun içinde +q yükü bulunan hakikaten mevcut iletkenlere simetrik olarak -q yüklü iletken kabul edilir. Şekil

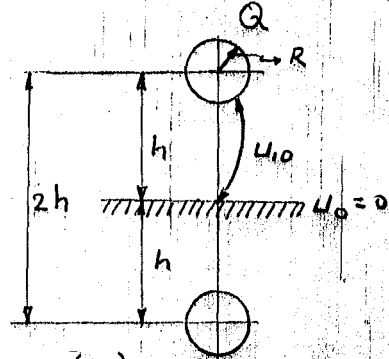
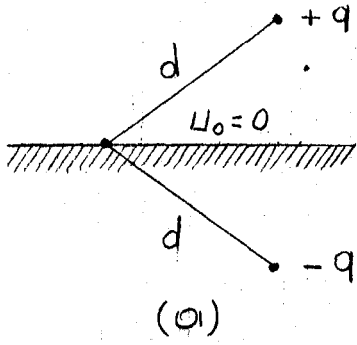


4.28 a'da, yükleri çizgisel yük kabul edip toprak üzerindeki potansiyelini hesaplırsak

$$U_0 = -\frac{q}{2\pi\epsilon_0} \ln d + \frac{q}{2\pi\epsilon_0} \ln d + C'$$

elde edilir.

Toprağın potansiyeli sıfıra eşit kabul edilirse, böylece iletkenlerin potansiyelleri hatların toprağa karşı gerilimlerine eşit olur ve buna göre integral sabitesi  $C' = 0$  elde edilir.



Şekil 4.28

Şekil 4.25'de paralel iki iletkenli sistemde alan şekline toprağın etkisi ihmal edilmiştir. Şekil 4.28 b'de verilen toprak üstünde, toprağa paralel olarak çekilmiş bir iletkenin teşekkül eden sistemde toprak etkisi gözönüne alındığında bu sistem için gerekli bağıntılar paralel iki iletkenli sistemden giderek bulunabilir. Çünkü bu sistem tatbikat bakımından toprak üstünde bir iletkenli havai hatta eşdeğerdır. Burada toprak düzlemi paralel iki iletkenli sistemdeki simetri düzlemini teşkil edeceğinden, Böylece iki iletkenli sisteme ait bağıntılarda, Bu sistem için,  $d$  yerine  $2h$  u yerine  $2U_0$  konulduğunda söz konusu sistemin gerilimi ve kapasitesini veren aşağıdaki yaklaşık bağıntılar elde edilir.

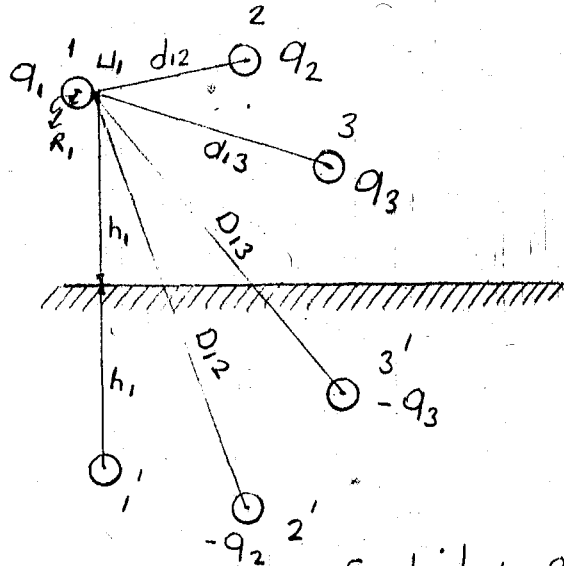
$$U_{10} = \frac{Q}{2\pi\epsilon_0 l} \ln \frac{2h}{R}$$

$$C_{10} = \frac{2\pi \cdot \epsilon_0 \cdot l}{\ln \frac{2h}{R}}$$

Maksimum alan siddeti içinde ;

$$E_{max} = \frac{U_{10}}{R \cdot \ln \frac{2h}{R}} \text{ yazılabilir.}$$

#### 4.9.2 Toprak Üzerinde Üç İletkenli Hattın potansiyeli:



Şekil 4.29

Şekil 4.29'da toprak üzerinde toprağa paralel üç iletkenli bir havai hat sistemi görülmektedir. Sistemdeki iletkenleri yarı çapları  $R_1, R_2, R_3$  ve birim uzunluk başına yük yoğunluğu

$q_1, q_2, q_3$  iletkenlerin boylarına nazaran çapları çok küçük olduğundan yükleri çizgisel yük kaynağı olarak düşünürsek, 1 nolu iletkenin yüzeyindeki potansiyel için aşağıdaki bağıntı yazılabilir.

$$2\pi\epsilon_0 U_1 = -q_1 \cdot \ln R_1 - q_2 \ln d_{12} - q_3 \ln d_{13} + q_1 \ln 2h_1 \\ + q_2 \ln D_{12} + q_3 \ln D_{13} \text{ veya}$$

$$2\pi\epsilon_0 U_1 = q_1 \ln \frac{2h_1}{R_1} + q_2 \ln \frac{D_{12}}{d_{12}} + q_3 \ln \frac{D_{13}}{d_{13}} \text{ veya h\u00fct} \\ U_1 = \frac{q_1}{2\pi\epsilon_0} \ln \frac{2h_1}{R_1} + \frac{q_2}{2\pi\epsilon_0} \ln \frac{D_{12}}{d_{12}} + \frac{q_3}{2\pi\epsilon_0} \ln \frac{D_{13}}{d_{13}}$$

bağıntıları kurulabilir. Denklemlerde mesela  $d_{12}$  1 nolu iletken ile 2 nolu iletkenin merkezleri arasında mesafe  $D_{12}$  ise 1 nolu iletkenle 2 nolu iletkenin toprak görüntüsünün merkezi arasındaki mesafedir. Böylece şekil 4.29'daki sistem için, potansiyel üzerine toprak etkisi ve diğer iletken yüklerinin etkisi dikkate alındığında 2 ve 3 nolu iletken potansiyelleri içinde,

$$2\pi\epsilon_0 U_2 = -q_1 \ln d_{21} - q_2 \ln R_2 - q_3 \ln d_{23} + q_1 \ln D_{21} + q_2 \ln 2h_2 + q_3 \ln D_{23}$$

$$U_2 = \frac{q_1}{2\pi\epsilon_0} \ln \frac{D_{21}}{d_{21}} + \frac{q_2}{2\pi\epsilon_0} \ln \frac{2h_2}{R_2} + \frac{q_3}{2\pi\epsilon_0} \ln \frac{D_{23}}{d_{23}}$$

$$2\pi\epsilon_0 U_3 = -q_1 \ln d_{31} - q_2 \ln d_{32} - q_3 \ln R_3 + q_1 \ln D_{31} +$$

$$+ q_2 \ln D_{32} + q_3 \ln 2h_3 \text{ veya}$$

$$U_3 = \frac{q_1}{2\pi\epsilon_0} \ln \frac{D_{31}}{d_{31}} + \frac{q_2}{2\pi\epsilon_0} \ln \frac{D_{32}}{d_{32}} + \frac{q_3}{2\pi\epsilon_0} \ln \frac{2h_3}{R_3}$$

bağıntıları kurulabilir.

Aşağıdaki kısaltmalar yapılırsa:

$$a_{11} = \frac{1}{2\pi\epsilon_0} \ln \frac{2h_1}{R_1}, \quad a_{22} = \frac{1}{2\pi\epsilon_0} \ln \frac{2h_2}{R_2}, \quad a_{33} = \frac{1}{2\pi\epsilon_0} \ln \frac{2h_3}{R_3}$$

$$a_{12} = a_{21} = \frac{1}{2\pi\epsilon_0} \ln \frac{D_{12}}{d_{12}}, \quad a_{23} = a_{32} = \frac{1}{2\pi\epsilon_0} \ln \frac{D_{23}}{d_{23}}, \quad a_{13} = a_{31} = \frac{1}{2\pi\epsilon_0} \ln \frac{D_{31}}{d_{31}}$$

bu takdirde iletkenlerin potansiyelleri için,

$$U_1 = a_{11} \cdot q_1 + a_{12} \cdot q_2 + a_{13} \cdot q_3$$

$$U_2 = a_{21} \cdot q_1 + a_{22} \cdot q_2 + a_{23} \cdot q_3$$

$$U_3 = a_{31} \cdot q_1 + a_{32} \cdot q_2 + a_{33} \cdot q_3$$

potansiyel katsayılarına göre denklem sistemi kurulabilir.

#### 4.10. Enerji İletim Hatlarında Kapasite Hesabı:

##### 4.10.1. Kapasite Hesaplarında Kullanılan Bazı Terim ve Tarifler:

İletkenin Yanal yüzünün alanı: S harfi ile gösterilir birimi  $m^2$  dir.

Yarı çapı R (metre) boyu  $l$  (metre) olan bir iletkenin Yanal yüzünün alanı aşağıdaki bağıntıdan hesaplanır.

$$S = 2\pi \cdot R \cdot l$$

İletkenin Yüğü: Q harfi ile gösterilir birimi kulon [C] olur.

Yarı çapı R boyu  $l$  olan iletken üzerindeki toplam elektrik yüküdür.

İletkenin boyu çapına göre çok büyük  $l \gg R$  olduğundan, kapasite hesaplarında bu yük çizgisel yük kaynağı olarak düşünülecektir.

Yük yoğunluğu: q yada  $\sigma$  harfi ile gösterilir. Birimi kulon (C) dur. Bir iletkende birim uzunlukta bulunan yüküdür.

$$q = \frac{Q}{l}$$

Elektrik Akısı: N yada  $\Phi_s$  ile gösterilir. Bir s yüzeyine giren yada çıkan toplam alan kuvvet çizgisi sayısıdır. Bir iletkenin birim yüzeyindeki akı yoğunluğu D ise, elektrik akısı

$$\Phi_s = D \cdot S = D \cdot 2\pi \cdot R \cdot l$$

Gauss teoremine göre elektrik akısı yüke eşit olduğundan

$$\phi_s = Q = D \cdot S = D \cdot 2\pi \cdot R \cdot l$$

Deplasman akısı: D harfi ile gösterilir, deplasman yoğunluğu veya akı yoğunluğuda denir. Yukarıdaki bağıntıdan deplasman yoğunluğu için

$$D = \frac{Q}{2\pi \cdot R \cdot l}$$

yük olduğuna görede

$$D = \frac{q}{2\pi \cdot R}$$

bağıntısı yazılabilir. Bu

Birim yüzeydeki akı yoğunluğu olup birimi kulon/metre<sup>2</sup> [C/m<sup>2</sup>] dir.

Alan Şiddeti: E harfi ile gösterilir. Birimi volt/metre [V/m] yada  $E = \frac{F}{Q}$  bağıntısına göre Newton/kulon [N/C] dir.

Bir elektrik alanı içinde, herhangi bir noktadaki alan şiddeti, o noktaya konulan birim pozitif yüke etki eden kuvvet olarak tarif edilebilir.

Deplasman yoğunluğu ile alan şiddeti arasında aşağıdaki bağıntı vardır.

$$D = \epsilon \cdot E \quad \text{bağıntıda } \epsilon$$

Dielektrik katsayısıdır.  $\epsilon = \epsilon_r \cdot \epsilon_0$

olup,  $\epsilon_r$  ortamın dielektrik katsayısı,  $\epsilon_0$  ise boşluğun dielektrik sabitesidir.  $\epsilon_0 = 8,86 \cdot 10^{-12}$  Farad/metre [F/m] dir.

Havaî hat iletkenlerinin kapasite hesabında  $\epsilon = \epsilon_0$  yazılabilir.

Yukardaki bağıntılardan alan şiddeti için aşağıdaki bağıntı kurulabilir.

$$E = \frac{D}{\epsilon_0} = \frac{q}{2\pi \cdot \epsilon_0 \cdot R}$$

Bağıntıda R iletkenin yarı çapı olduğuna göre, çizgisel yükten R mesafedeki alan şiddeti bağıntı yarımını ile hesaplanır ki, buda

iletkenin yüzeyindeki alan şiddeti demektir. Düzgün bir elektriksel alanda merkezden R uzaklıktaki bütün noktalarda alan şiddetinin modülü birbirine eşittir. Alan şiddeti vektörel bir büyüklüktür. Yönü alan çizgilerinden yararlanılarak tayin edilir.

Potansiyel: U harfi ile gösterilir birimi joule/kulon  $[J/c]$  olup kısaca volt'la ifade edilir.

Elektriksel alanda bulunan bir noktadaki potansiyel, herhangi bir yükü sonsuz büyük bir mesafeden, bu noktaya getirmede, birim yük için yapılan işten ibarettir. Birim pozitif yükü sonsuzdan b'ye getirmekle yapılan iş, a ya getirmekle yapılan işten büyükse b'nin potansiyeli a noktasının potansiyelinden büyüktür. denir.

Bir noktadan yere giden bir kulon değerinde bir yükün yaptığı iş bir joule ise, bu noktanın potansiyeli bir voltur. Potansiyelleri birbirinden farklı olan a ve b gibi iki nokta arasındaki potansiyel farkına bu iki nokta arasındaki gerilim denir. Yukardaki tarife göre, düzgün bir elektriksel alanda a ve b gibi iki nokta arasındaki gerilim aşağıdaki bağıntı ile bulunur.

$$U_{ab} = \frac{W}{Q} = E(a-b) = E \cdot S$$

bağıntıda (S) a ve b noktaları arasındaki uzaklıktır. Alan düzgün değilse potansiyel ve gerilim için aşağıdaki bağıntılar kurulabilir. a ve b noktaları arasındaki gerilim,

$$U_{ab} = \int_a^b \vec{E} \cdot d\vec{s}$$

herhangi bir P noktasının referans noktasına göre

$$U_A = 0 \text{ potansiyeli}$$
$$U_P = \int_P^A \vec{E} \cdot d\vec{s} = - \int_A^P \vec{E} \cdot d\vec{s}$$

yarı çapı R olan çizgisel yük kaynağı olarak düşünülen bir iletkenin potansiyeli,

$$U = - \int \vec{E} \cdot d\vec{R} = - \int E \cdot dr = - \frac{q}{2\pi \epsilon_0} \int \frac{dr}{R} = - \frac{q}{2\pi \epsilon_0} \ln R + K \quad 4.1$$

Aynı kaynağın r mesafedeki bir P noktasındaki potansiyeli,  $U_A=0$

$$U_P = \int_P^A \vec{E} \cdot d\vec{R} = \int_P^A E \cdot dR = \frac{q}{2\pi\epsilon} \int_P^A \frac{1}{R} dR = \frac{q}{2\pi\epsilon} \ln \frac{r}{R} \quad 4.2$$

Şekil 4.30 (a)'da yükü Q, yarı çapı R ve boyu L olan iletkenin D deplasman Yoğunluğu;

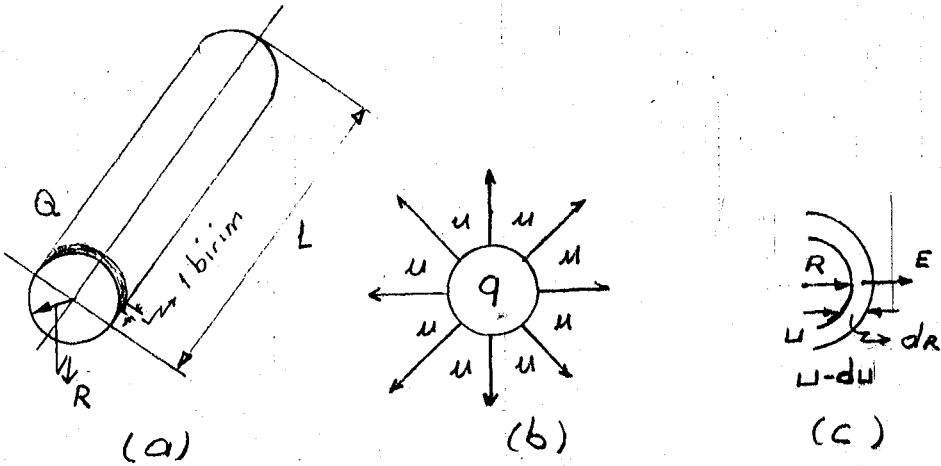
$$D = \frac{q}{2\pi r}$$

bağıntısı yardımı ile hesaplanır. (bak şekil 4.30.b)

D deplasman yoğunluğu E alan şiddeti vektörantılı olduğundan

$$D = \epsilon_0 \cdot E \quad \vee \quad E = \frac{q}{2\pi \cdot \epsilon_0 \cdot R}$$

bağıntısından modülü hesaplanan alan şiddeti vektörü şekil 4.30 (c)'de görülmektedir.



Şekil 4.30

Potansiyel yüzeyleri şekil 4.30 (b)'den de görüleceği üzere merkezi yük olan dairesel. Alan şiddeti yönünde dr kadar ilerlenirse (bak şekil 4.30.c) bu takdirde u potansiyeli du kadar düşer. Şu halde

$$-\frac{du}{dr} = E = \frac{q}{2\pi \epsilon_0 R}$$

bağıntısının integrali alınırsa,

$$U = -\frac{q}{2\pi\epsilon_0} \int \frac{dr}{R} = -\frac{q}{2\pi\epsilon_0} \ln R + K \quad 4.3$$

olur. K integral sabiti potansiyeli sıfır kabul edilen referans noktasına göre sınır şartlarından bulunur. Şekil 4.19'da çizgisel yük kaynağı için bulunan integral sabitesi bu integral sabitesi içinde geçerli olduğundan

$$K = \frac{q}{2\pi\epsilon_0} \ln h_A \quad 4.4$$

olur.  $h_A$  iletkenle A referans noktası arasındaki uzaklık olup

$U_A = 0$  farz edilmiştir. Bu takdirde  $U$  için bağıntısı için

$$U = \frac{q}{2\pi\epsilon_0} \ln \frac{h_A}{R} \quad 4.5$$

yazılabilir. Referans noktası olarak toprak alınıp, toprak etkisi dikkate alındığında (bak şekil 4.28)

$$U = \int_R^{2h} E \cdot dr = \int_R^{2h} \frac{q}{2\pi\epsilon_0 R} \cdot dr = \int_R^{2h} \frac{q}{2\pi\epsilon_0} \cdot \frac{dr}{R}$$

$$U = \frac{q}{2\pi\epsilon_0} \int_R^{2h} \frac{dr}{R} = \frac{q}{2\pi\epsilon_0} \cdot \left[ \ln R \right]_R^{2h} \quad \checkmark c$$

$$2\pi\epsilon_0 U = q (\ln 2h - \ln R)$$

$$2\pi \cdot \epsilon_0 U = q \cdot \ln \frac{2h}{R}$$

$$U = \frac{q}{2\pi \cdot \epsilon_0} \ln \frac{2h}{R} \quad 4.6$$

bağıntısı yardımı ile iletkenin potansiyeli hesaplanır.

**Kapasite:** C harfi ile gösterilir, birimi faraddır. 1 volt altında 1 kulonluk elektrik yükü toplayan kondansatör kapasitesi 1 Faraddır. Yükün potansiyele oranına kapasite denir.

$$C = \frac{Q}{U} \text{ Farad } [F]$$



Uzayda R yarı çaplı bir kürenin kapasitesi, kürenin mutlak potansiyeli,

$$U = \frac{Q}{4\pi\epsilon.R}$$

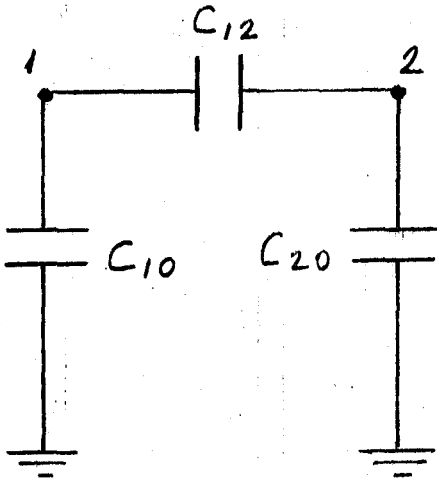
olduğ'a göre

$$C = \frac{Q}{U} = 4\pi.\epsilon.R \text{ dir.}$$

**İşletme Kapasitesi:** Herhangi bir iletim sisteminde bu sistemi teşkil eden iletkenlerden birinin, mesela 1 nolu faz iletkeninin işletme kapasitesi, genel olarak bu iletkenin Q, yükü ile bu iletkenin toprağ'a karşı olan  $U_{10}$  faz gerilimine oranıdır.

$$C_{b1} = \frac{Q_1}{U_{10}} \quad 4.7$$

**Büklüm Kapasitesi:** Bir gerilim kaynağına bağlı iki faz iletkeni arasındaki bileşke kapasite, söz konusu devrenin büklüm kapasitesini verir. C<sub>bük</sub> ifade edilir. Şekil 4.31'deki sistemin büklüm kapasitesi



Şekil 4.31

$$C_{bük} = C_{12} + \frac{C_{10} \cdot C_{20}}{C_{10} + C_{20}} \text{ dir.} \quad 4.8$$

bağintıda ;

$C_{12}$  = 1 ve 2 nolu iletkenler arasındaki kapasite

$C_{10}, C_{20}$  = iletkenlerle toprak arasındaki kapasitedir.

**İletken Yüksekliği:** Faz iletkenleri ile toprak arasındaki yüksekliktir. h harfi ile gösterilir. Hesaplamalarda ortalama hat

yüksekliği esas tutulur.

$$h = h_m - 0,7f$$

bağıntıda  $h$  ortalama hat yüksekliği,  $h_m$  hattın maksimum yüksekliği  $f$  ise hattın sehimini gösterir.

Maksimum Alan Şiddeti:  $E_{max}$  la ifade edilir.  $[\sqrt{m}]$

Yüksek gerilim tekniğinde kv/cm ile ölçülür. Yarı çapı  $R$  ve çizgisel yük yoğunluğu  $q$  olan çok uzun bir iletkenin maksimum alan şiddeti aşağıdaki bağıntı ile bulunur.

$$E_{max} = \frac{Q}{2\pi\epsilon \cdot l} \cdot \frac{1}{R} \quad Q = q \cdot l$$

daha önceki bağıntılar gözönüne alınır sa,  $E_{max} = \frac{U_0}{R \ln \frac{r}{R}} \quad 4.9$

#### 4.10.2. Kapasite Denklem Sistemleri:

Yükün potansiyel üzerine etkisinden giderek potansiyel katsayılarına göre denklem sistemi oluşturulabilir. (Bak kısım 4.9.2)

Toprak üstünde, toprağa paralel iki iletkenli hat sisteminin potansiyelleri için aşağıdaki bağıntı kurulabilir.

$$U_1 = U_1' + U_1'' = a_{11} \cdot Q_1 + a_{12} \cdot Q_2$$

$$U_2 = U_2' + U_2'' = a_{21} \cdot Q_1 + a_{22} \cdot Q_2$$

İki iletkenli sistem için yazılan bu sonuçlar, toprak üstünde, yükleri  $Q_1, Q_2, Q_3, \dots, Q_n$  ve potansiyelleri  $U_1, U_2, \dots, U_n$  olan  $n$  iletkenli sisteme de uygulanabilir. Söz konusu sistem için:

$$U_1 = a_{11} Q_1 + a_{12} Q_2 + a_{13} Q_3 + \dots + a_{1n} Q_n$$

$$U_2 = a_{21} Q_1 + a_{22} Q_2 + a_{23} Q_3 + \dots + a_{2n} Q_n$$

$$U_3 = a_{31} Q_1 + a_{32} Q_2 + a_{33} Q_3 + \dots + a_{3n} Q_n$$

$$U_n = a_{n1} Q_1 + a_{n2} Q_2 + a_{n3} Q_3 + \dots + a_{nn} Q_n$$

4.10

Bu denklem sistemine kapasite hesaplarında Maxwell'in 1.inci denklem sistemi denir.  $Q_{ik}$  potansiyel katsayılı denklem sisteminin matris ifadesi

$$\begin{bmatrix} U_1 \\ U_2 \\ \dots \\ U_n \end{bmatrix} = \begin{bmatrix} Q_{11} & Q_{12} & \dots & Q_{1n} \\ Q_{21} & Q_{22} & \dots & Q_{2n} \\ \dots & \dots & \dots & \dots \\ Q_{n1} & Q_{n2} & \dots & Q_{nn} \end{bmatrix} \begin{bmatrix} Q_1 \\ Q_2 \\ \dots \\ Q_n \end{bmatrix}$$

A potansiyel katsayılı kare matrisin  $A^{-1}$  tersi yardımı ile  $[U] = [A][Q]$  ve  $[Q] = [A]^{-1}[U]$

$$\begin{bmatrix} Q_1 \\ Q_2 \\ \dots \\ Q_n \end{bmatrix} = \begin{bmatrix} \frac{A_{11}}{|A|} & \frac{A_{21}}{|A|} & \dots & \frac{A_{n1}}{|A|} \\ \frac{A_{12}}{|A|} & \frac{A_{22}}{|A|} & \dots & \frac{A_{n2}}{|A|} \\ \dots & \dots & \dots & \dots \\ \frac{A_{1n}}{|A|} & \frac{A_{2n}}{|A|} & \dots & \frac{A_{nn}}{|A|} \end{bmatrix} \begin{bmatrix} U_1 \\ U_2 \\ \dots \\ U_n \end{bmatrix} \quad 4.11$$

matris ifadesi elde edilir. Burada  $|A|$ ,  $Q_{ik}$  potansiyel katsayılı kare matrisin determinanı,  $A_{ki}$  ise bu matrisin  $Q_{ik}$  elemanlarına ait (işaretsiz minörleri) kofaktördür.



b katsayılı denklem sistemi iletkenler arasındaki gerilimlere (potansiyel) görede ifade edilebilir. Kapasite hesaplarında denklem sisteminin bu şekilde ifadesinde bazı yararlı tarafları vardır. Bu sistemde toprak bir elektrod olarak ele alınır ve potansiyeli, yani referans potansiyel  $U_0=0$  kabul edilir. Buna göre:

$$Q_1 = C_{11}(U_1 - 0) + C_{12}(U_1 - U_2) + \dots + C_{1n}(U_1 - U_n)$$

$$Q_2 = C_{21}(U_2 - U_1) + C_{22}(U_2 - 0) + \dots + C_{2n}(U_2 - U_n)$$

..... 4.13

$$Q_k = C_{k1}(U_k - U_1) + C_{k2}(U_k - U_2) + \dots + C_{kk}(U_k - 0) + \dots + C_{kn}(U_k - U_n)$$

$$Q_n = C_{n1}(U_n - U_1) + C_{n2}(U_n - U_2) + \dots + C_{nn}(U_n - 0)$$

denklem sistemi elde edilir. Buda Maxwell'in 3.üncü denklem sistemidir. Burada C kat sayıları, iletkenler arasındaki ve iletkenlerle toprak arasındaki kısmi kapasiteleri gösterir. Eşit indisli  $C_{ii}$  kat sayıları ( $C_{11}, C_{22}, \dots$ ) söz konusu  $i$  iletkeni ile toprak arasındaki öz kapasitedir. Farklı indisli  $C_{ik}$  kat sayılarında ( $C_{12}, C_{23}, \dots$ ) iki iletken arasındaki kapasitedir. Yani iletkeninin k nıncı iletkene göre kısmi kapasitesi yani karşıt kapasitesidir. Öz kapasiteler iletkenlerin toprağa karşı kapasiteleri olduğundan bu kapasiteleri  $C_{i0}$  indisi ilede göserebiliriz.

$C_{ii}$  ve  $C_{ik}$  katsayıları hatların geometrik boyutlarından giderek bulunacağı gibi deneysel olarakta tayin edilebilir.

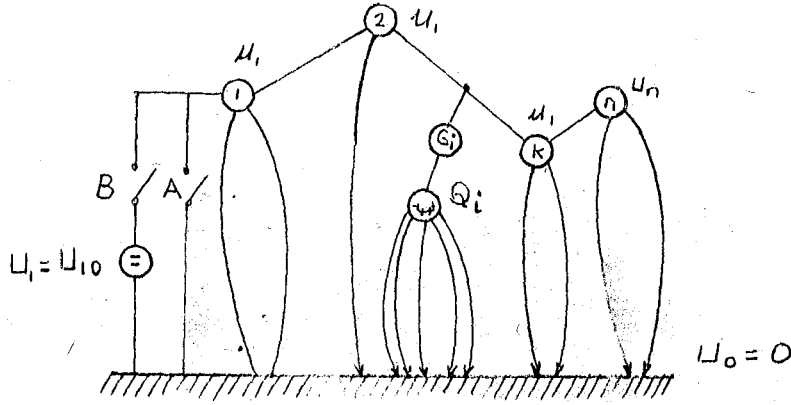
$C_{ii}$  bulunması: C katsayılı denklem sisteminde (4-13 nolu) bütün iletkenlerin potansiyeli  $i$  iletkeninin potansiyeline eşit yapıldığında,

$$U_1 = U_2 = \dots = U_n = U_i$$

4-13 nolu denklem sisteminde  $Q_i = C_{ii} \cdot U_i$  hariç diğer bütün terimler sıfır olacağından,

$$C_{ii} = \frac{Q_i}{U_i} \text{ dir} \quad 4.14$$

$C_{ii}$ 'yi deneysel olarak tayin etmek için, bütün iletkenlerin



Şekil 4.32

Şekil 4.32'de görüldüğü gibi, birbirleriyle birleştirilmesi ve toprağa karşı potansiyeli  $U_i' = U_i'0$  olan bir doğru gerilim kaynağına bağlanması gerekir. Gerilim kaynağı devresinde bulunan B anahtarı kapatılmak sureti ile bütün iletkenler aynı potansiyele getirilir. Bu dolma olayı esnasında her iletken aynı işaretli olmak üzere belirli bir yükçe yüklenir.  $i$  iletkeninin yükünü ölçmek için iletken sisteminin B anahtarı açılmak sureti ile gerilim kaynağından irtibatı kesilir. Bunu takiben sistem (A) anahtarı kapatılmak suretiyle toprakla birleştirilir. Bu esnada meydana gelen boşalma olayında,  $i$  iletkeninin devresinden akan  $Q_i'$  yük miktarı  $G_i'$  balistik galvanometresi yardımı ile ölçülür. Böylece söz konusu  $i$  iletkeninin  $C_{ii}'$  öz kapasitesi 4-14 nolu bağıntı yardımı ile hesaplanır.  $C_{ii}'$ 'nin işareti  $U_{i0}$  ve  $Q_i'$  aynı işaretli olduğundan daima pozitifdir.

$$C_{ii}' = \frac{Q_i'}{U_{i0}} \text{ ve } (C_{ii}' > 0)$$

$C_{ik}$  Bulunması: 4-13 nolu C kat sayılı denklem sisteminde  $k$  iletkeninin yükünü veren ifadede,  $i$  iletkeni hariç diğer bütün iletkenlerin potansiyelleri sıfır yapıldığında,



pozitif işaretli olacağı anlaşılır. Maxwell'in denklemlerinde katsayılar arasında

$$C_{ik} = C_{ki}, \quad b_{ik} = b_{ki}, \quad a_{ik} = a_{ki} \quad 4.18$$

eşitlik vardır.

Yukarıdaki bağıntılarda C katsayıları, sözkonusu iletken (elektrod) sisteminde farad [ F ] boyutunda kısmi kapasiteleri gösterir. a katsayıları [ 1/F ] boyutunda katsayılar olduğundan ve bu katsayılar iletken sisteminin geometrik boyutlarından tayin edildiğinden, a katsayıları ile C katsayıları arasında belirli bir bağıntının kurulması gerekir.  $b_{ik}$  katsayıları ile  $C_{ik}$  ve  $C_{ii}$  katsayıları arasında yukarıda bulduğumuz katsayıları gözönüne aldığımızda 4-11 nolu matris bağıntısı yardımı ile  $C_{ik}$  kısmi kapasiteler ile  $a_{ik}$  katsayıları arasında

$$C_{ik} = -\frac{A_{ki}}{|A|} \quad i \neq k \quad 4.19$$

Aynı şekilde  $C_{ii}$  kısmi kapasiteleri ile  $a_{ik}$  katsayıları arasında da

$$C_{ii} = C_{i0} = \sum_{k=1}^n \frac{A_{ki}}{|A|} \quad (i, k = 1, 2, \dots, n) \quad 4.20$$

bağıntısı elde edilir.

Şekil 4.33'deki n iletkenli enerji iletim sisteminin potansiyelleri için  $Q_i$  toplam yüküne göre

$$\begin{aligned} U_1 &= \frac{Q_1}{2\pi\epsilon L} \ln \frac{2h_1}{R_1} + \frac{Q_2}{2\pi\epsilon L} \ln \frac{D_{12}}{d_{12}} + \dots + \frac{Q_n}{2\pi\epsilon L} \ln \frac{D_{1n}}{d_{1n}} \\ U_2 &= \frac{Q_1}{2\pi\epsilon L} \ln \frac{D_{21}}{d_{21}} + \frac{Q_2}{2\pi\epsilon L} \ln \frac{2h_2}{R_2} + \dots + \frac{Q_n}{2\pi\epsilon L} \ln \frac{D_{2n}}{d_{2n}} \end{aligned} \quad 4.21$$

.....



$$L_n = \frac{Q_1}{2\pi\epsilon l} \ln \frac{D_{n1}}{d_{n1}} + \frac{Q_2}{2\pi\epsilon l} \ln \frac{D_{n2}}{d_{n2}} + \dots + \frac{Q_n}{2\pi\epsilon l} \ln \frac{2h_n}{R_n}$$

bağıntıları kurulabilir. Bu bağıntıda

$h_i$  = iletkenle toprak arasındaki yükseklik

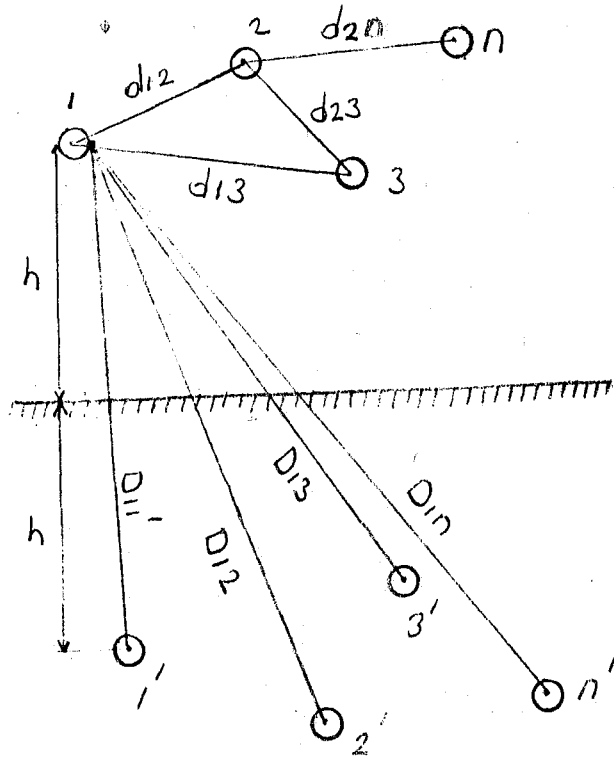
$R_1, R_2, R_3, \dots, R_i, R_n$  = iletkenlerin yarı çapları

$d_{ik}$  = iki iletken arasındaki mesafe

$D_{ik}$  = potansiyeli bulunan iletkenle, diğer iletkenlerin toprak tesirinden dolayı görüntüsü arasındaki mesafedir.

$L$  = iletkenlerin boyu

$Q_i$  =  $L$  uzunluğundaki iletkenin yüküdür.



Şekil 4.33

$$a_{11} = \frac{1}{2\pi\epsilon\ell} \ln \frac{2h_1}{R_1}, \quad a_{22} = \frac{1}{2\pi\epsilon\ell} \ln \frac{2h_2}{R_2}, \quad a_{33} = \dots$$

4.22

$$a_{21} = a_{12} = \frac{1}{2\pi\epsilon\ell} \ln \frac{D_{12}}{d_{12}}, \quad a_{23} = a_{32} = \frac{1}{2\pi\epsilon\ell} \ln \frac{D_{23}}{d_{23}}, \quad a_{ik} = \dots$$

şeklinde gerekli kısaltmalar yapıldığında,  $a_{ik}$  katsayılı Maxwell'in 1 inci kapasite denklem sistemi elde edilir.

$$U_1 = a_{11}Q_1 + a_{12}Q_2 + \dots + a_{1n}Q_n$$

$$U_2 = a_{21}Q_1 + a_{22}Q_2 + \dots + a_{2n}Q_n$$

.....

.....

$$U_n = a_{n1}Q_1 + a_{n2}Q_2 + \dots + a_{nn}Q_n$$

4.23

$a_{ik}$  katsayılı denklem sisteminin matris ifadesinden giderek:

$$\begin{bmatrix} U_1 \\ U_2 \\ \dots \\ U_n \end{bmatrix} = \begin{bmatrix} a_{11} & a_{12} & \dots & a_{1n} \\ a_{21} & a_{22} & \dots & a_{2n} \\ \dots & \dots & \dots & \dots \\ a_{n1} & a_{n2} & \dots & a_{nn} \end{bmatrix} \begin{bmatrix} Q_1 \\ Q_2 \\ \dots \\ Q_n \end{bmatrix}$$

4.24

$a_{ik}$  katsayılar kare matrisinin,

$$A = \begin{bmatrix} a_{11} & a_{12} & \dots & a_{1n} \\ a_{21} & a_{22} & \dots & a_{2n} \\ \dots & \dots & \dots & \dots \\ a_{n1} & a_{n2} & \dots & a_{nn} \end{bmatrix}$$

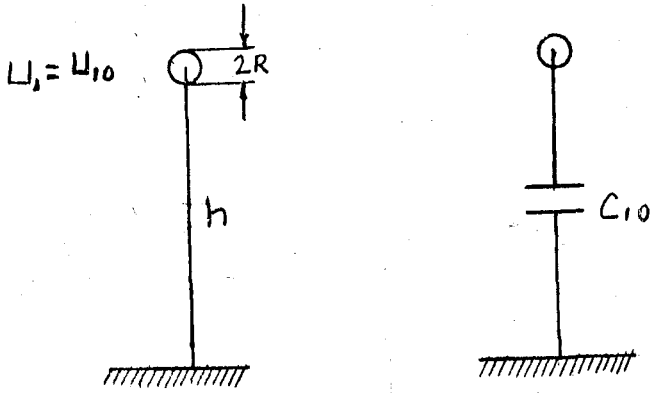
4.25

$(A^{-1})$  ters matrisi yardımı ile,

$$\begin{bmatrix} Q_1 \\ Q_2 \\ \dots \\ Q_n \end{bmatrix} = [A]^{-1} \begin{bmatrix} U_1 \\ U_2 \\ \dots \\ U_n \end{bmatrix} = \begin{bmatrix} \frac{A_{11}}{|A|} & \frac{A_{21}}{|A|} & \dots & \frac{A_{n1}}{|A|} \\ \frac{A_{12}}{|A|} & \frac{A_{22}}{|A|} & \dots & \frac{A_{n2}}{|A|} \\ \dots & \dots & \dots & \dots \\ \frac{A_{1n}}{|A|} & \frac{A_{2n}}{|A|} & \dots & \frac{A_{nn}}{|A|} \end{bmatrix} \begin{bmatrix} U_1 \\ U_2 \\ \dots \\ U_n \end{bmatrix} \quad 4.26$$

A kare matrisinin determinanı  $|A|$  ve  $Oik$  elamanlarına ait  $A_{ik}$  kofaktörü bulunarak 4-19 ve 4-20 nolu bağıntılardan  $C_{ii}$  ve  $C_{ik}$  kısmi kapasiteler hesaplanır.

#### 4.10.3 Bir İletkenli Hat Sistemi:



Şekil 4.34

Şekil 4.34'de görüldüğü gibi toprak üstünde  $h$  yükseklikte bir iletkenin tesekkül eden dönüşümü toprak üzerinden tamamlayan hat sisteminde iletkenin toprağa karşı potansiyeli  $U_1 = U_{10}$  ve yükü

$Q_1$  olduğuna göre  $U_1 = Q_{11} \cdot Q_1$  ve

$O_{11}$  katsayılı denklem sisteminden,

$$C_{11} = C_{10} = \frac{Q_1}{U_1} = \frac{1}{O_{11}}$$

bağıntısından hattın toprağa karşı kapasitesi hesaplanır.

4.22 nolu bağıntı yardımı ile uzunluğu  $L$  yüksekliği  $h$  ve yarı çapı  $R$  olan iletkenin  $O_{11}$  katsayısı

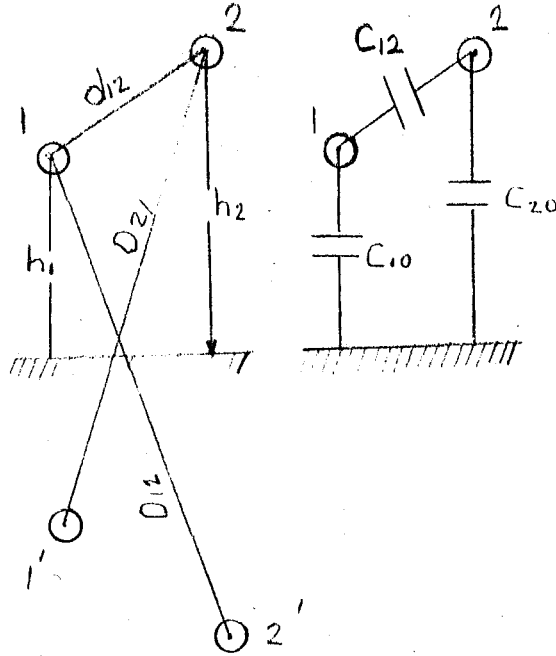
$$O_{11} = \frac{1}{2\pi\epsilon L} \ln \frac{2h}{R}, \quad C_{11} = C_{10} = \frac{1}{O_{11}} \text{ den}$$

hattın toprağa karşı kapasitesi,

$$C_{11} = C_{10} = \frac{2\pi\epsilon L}{\ln \frac{2h}{R}} = C_b$$

olur. Burada hattın toprağa karşı kapasitesi, aynı zamanda işletme ( $C_b$ ) kapasitesidir.

#### 4.10.3.1 İki İletkenli Hat Sistemi:



Şekil 4.35

Hattın potansiyel denklem sistemi 39 nolu bağıntıdan

$$U_1 = a_{11} \cdot Q_1 + a_{12} \cdot Q_2$$

$$U_2 = a_{21} \cdot Q_1 + a_{22} \cdot Q_2$$

Şekil 4.35'de gösterilen hat sisteminin çaprazlanmış olduğunu kabul edersek 4-26 nolu matris ifadesinden  $a_{ik}$  katsayılarının  $A^{-1}$  ters matrisi yardımı ile 4-19 ve 4-20 nolu bağıntılardan

$$C_{ik} = -\frac{A_{ki}}{|A|}, \quad C_{ii} = C_{i0} = \sum_{k=1}^n \frac{A_{ki}}{|A|}$$

$$A_{ik} = (-1)^{(i+k)} |M_{ik}| \text{ giderek söz konusu hat siste-}$$

minin kısmi kapasiteleri bulunur.

$$A = \begin{vmatrix} a_{11} & a_{12} \\ a_{21} & a_{22} \end{vmatrix} = a_{11} \cdot a_{22} - a_{12}^2, \quad a_{12} = a_{21}$$

$$A_{11} = a_{22}, \quad A_{12} = -a_{21}, \quad A_{21} = -a_{12}, \quad A_{22} = a_{11}$$

$$C_{12} = C_{21} = -\frac{A_{21}}{|A|} = \frac{a_{12}}{|A|} = \frac{a_{12}}{a_{11} \cdot a_{22} - a_{12}^2}$$

$$C_{11} = C_{10} = \frac{a_{22} - a_{12}}{|A|} = \frac{a_{22} - a_{12}}{a_{11} \cdot a_{22} - a_{12}^2}$$

$$C_{22} = C_{20} = \frac{a_{11} - a_{12}}{|A|} = \frac{a_{11} - a_{12}}{a_{11} \cdot a_{22} - a_{12}^2}$$

bağıntıları elde edilir.  $a_{ik}$  kat sayılı denklem sistemi,

$b_{ik}$  katsayılı denklem sistemine buda  $C_{ik}$  katsayılı denklem sistemine dönüştürülmek suretiyle yukardaki bağıntılar aynen bulunabilir.

$$Q_1 = \frac{a_{22}}{A} U_1 - \frac{a_{12}}{A} U_2 = b_{11} U_1 + b_{12} U_2$$

$$Q_2 = -\frac{a_{21}}{A} U_1 + \frac{a_{11}}{A} U_2 = b_{21} U_1 + b_{22} U_2$$

Buda  $C_{ik}$  katsayılı denklem sistemine dönüştürülür.

$$Q_1 = C_{11} U_1 + C_{12} (U_1 - U_2) = (C_{11} + C_{12}) U_1 - C_{12} U_2$$

$$Q_2 = C_{21} (U_2 - U_1) + C_{22} U_2 = -C_{21} U_1 + (C_{22} + C_{12}) U_2$$

Eşitlikleri gözönüne alınarak  $b_{ik}$  ve  $C_{ik}$  denklem sistemleri birbiri ile karşılaştırıldığında,

$$C_{11} + C_{12} = b_{11} = \frac{a_{22}}{|A|}$$

$$C_{22} + C_{12} = b_{22} = \frac{a_{11}}{|A|}$$

$$C_{12} = -b_{12} = \frac{a_{12}}{|A|}$$

bağıntıları ve buradanda kısmi kapasiteler için yukarda bulunan aynı sonuçlar

$$C_{12} = -\frac{A_{ki}}{A} = -\frac{A_{21}}{|A|} = \frac{a_{12}}{|A|}, \quad C_{ii} = C_{i0} = \sum_{k=1}^n \frac{A_{ki}}{|A|}$$

$$C_{11} = C_{10} = \frac{A_{11}}{|A|} + \frac{A_{21}}{|A|} = \frac{a_{22} - a_{12}}{|A|}$$

$$C_{22} = C_{20} = \frac{A_{22}}{|A|} + \frac{A_{12}}{|A|} = \frac{a_{11} - a_{12}}{|A|}$$

elde edilir.

Şekil 4.35'den ve 4-22 nolu bağıntılardan,

$$a_{12} = \frac{1}{2\pi \epsilon \cdot L} \ln \frac{D_{12}}{d_{12}}, \quad a_{21} = \frac{1}{2\pi \epsilon L} \ln \frac{D_{21}}{d_{21}}, \quad a_{21} = a_{12}$$
$$a_{11} = \frac{1}{2\pi \epsilon L} \ln \frac{2h_1}{R}, \quad a_{22} = \frac{1}{2\pi \epsilon L} \ln \frac{2h_2}{R}$$

eşitlikleri elde edilir. Hattın bütünü kapasitesi yani iletkenler arasındaki bileşke kapasite şekil 4.35'den

$$C_{bük} = C_{12} + \frac{C_{10} \cdot C_{20}}{C_{10} + C_{20}}$$

bağıntısı yardımı ile bulunur. Bu bağıntıda kısmi kapasiteler için  $a_{ik}$  katsayılarına göre yukarıda bulunan değerleri yerine konulursa:

$$C_{bük} = \frac{1}{a_{11} + a_{22} - 2a_{12}}$$

bağıntısı elde edilir.

Hattaki iletkenlerin işletme kapasiteleri, hattın tertip tarzına, bağlama ve işletme şekline ve çaprazlanmış olup olmamasına bağlıdır. İlki iletkenli böyle bir hatta genel olarak,

$$U_1 = -U_2 = U, \quad Q_1 = -Q_2 = Q \quad \text{ve} \quad Q_1 = Q_2 = Q$$

İşletme şekilleri bahis konusu olabilir. Hattın faz iletkenleri direğe nazaran simetri yerleştirilmemeleri halinde, fazların işletme kapasiteleri birbirine eşit olmaz.

Hattın işletme şekli,

$$U_1 = -U_2 = U = U_{12}/2$$

olduğunda c katsayılı denklem sisteminden,

$$Q_1 = (C_{10} + 2C_{12})U$$

$$Q_2 = (C_{20} + 2C_{12})U$$

bağıntıları elde edilir. Hattın işletme kapasiteleri bu bağıntıdan,

$$Cb_1 = \frac{Q_1}{U} = C_{10} + 2C_{12} = \frac{a_{22} + a_{12}}{|A|}$$

$$Cb_2 = \frac{Q_2}{U} = C_{20} + 2C_{12} = \frac{a_{11} + a_{12}}{|A|}$$

$$A = a_{11} \cdot a_{22} - a_{12}^2$$

şeklinde bulunur.

Simetrik hat tertibinde,  $a_{11} = a_{22}$ ,  $C_{10} = C_{20} = C_0$  olacağından, faz iletkenlerinin işletme kapasiteleri,

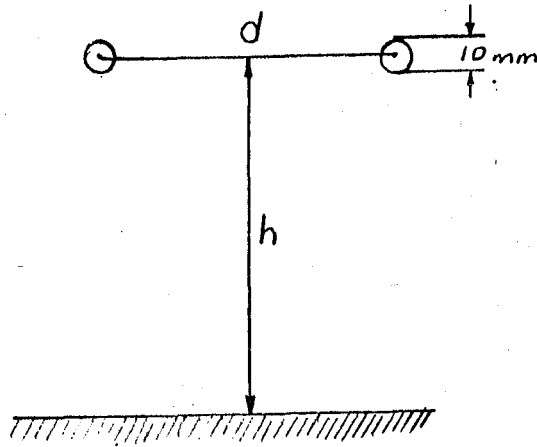
$$Cb_1 = Cb_2 = Cb = C_0 + 2C_{12} = \frac{1}{a_{11} - a_{12}}$$

şeklinde birbirine eşit olur.

Örnek: Şekil 4.36'da verilen, simetrik yatay tertipte düzenlenen iki iletkenli bir fazlı hat sisteminin uzunluğu  $L:10$  km. sehim göz önüne alınarak hesaplanan ortalama yükseklik

$h = h_m - 0,7f = 11$  m. iletkenler arasındaki açıklık  $d:1$  m ve iletken yarı çapları  $R:5$  mm olduğuna göre, her iki hattın kısmi kapasitelerini, işletme ve büküm kapasitelerini bulunuz.





$h = 11 \text{ m}$   
 $R = 5 \text{ mm}$   
 $d = 1 \text{ m}$

Şekil 4.36

$$a_{11} = \frac{1}{2\pi\epsilon l} \ln \frac{2h}{R} = 1,8 \cdot 10^6 \ln \frac{2200}{0,5} = 15,1 \cdot 10^6 \text{ F}^{-1}$$

$$a_{12} = 1,8 \cdot 10^6 \ln \frac{2200}{100} = 5,5 \cdot 10^6 \text{ F}^{-1}$$

Bu katsayılara göre kısmi kapasiteler,

$$C_{10} = C_{20} = C_0 = \frac{1}{a_{11} + a_{12}} = \frac{10^{-6}}{(15,1 + 5,56)} = 48,4 \cdot 10^{-9} \text{ F}$$

$$C_{12} = \frac{a_{12}}{a_{11}^2 - a_{12}^2} = \frac{5,56 \cdot 10^{-6}}{15,1^2 - 5,56^2} = 28,2 \cdot 10^{-9} \text{ F}$$

İşletme ve büküm kapasitesi:

$$C_b = C_0 + C_{12} \cdot 2 = 104,8 \cdot 10^{-9} \text{ F}$$

$$C_{bük} = \frac{C_b}{2} = 52,4 \cdot 10^{-9} \text{ F}$$

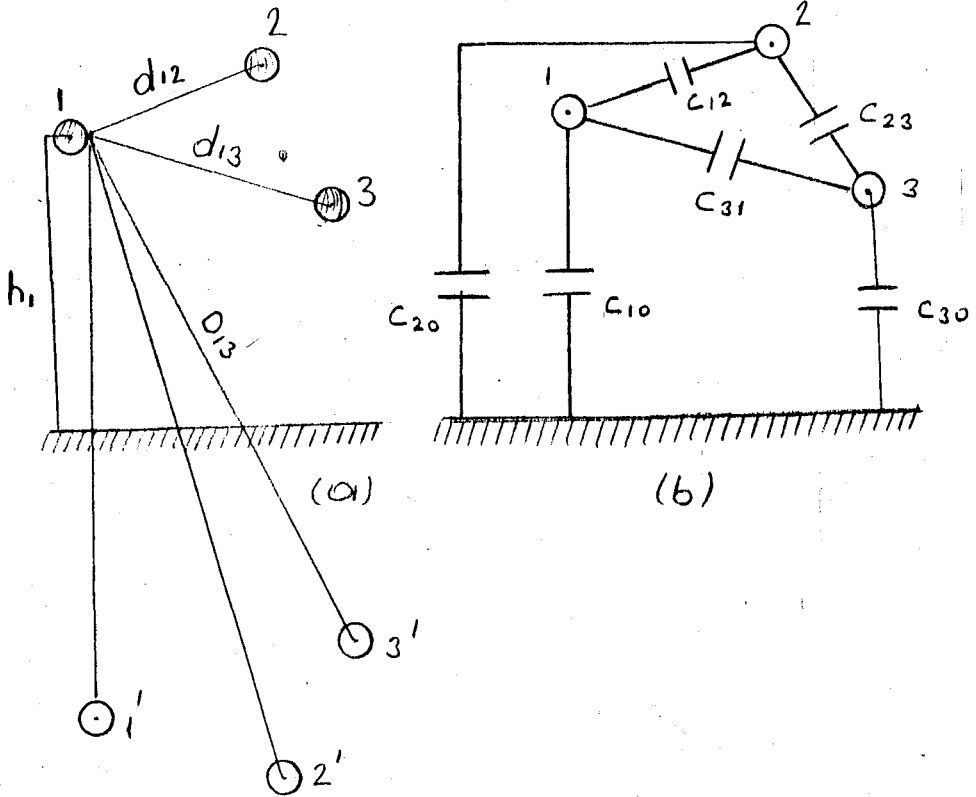
olarak bulunur.

#### 4.10.4 Üç Fazlı Tek Hat Sistemleri:

Üç fazlı bir hat sistemi, tek veya çift hat sistemi halinde döşenmiş ve muhtelif şekillerle tertiplenmiş, bir veya bir kaç koruma iletkeni ile korunmuş ve bu arada faz iletkenleri muhtelif şekilde çaprazlanmış olabilir.

##### 4.10.4.1. Koruma İletkensisiz Çaprazlanmamış Sistem:

Şekil 4.37'de gösterilen ve simetrik olmayan herhangi bir tertipte yerleştirilmiş çaprazlanmamış bir hat sisteminin kısmi kapasiteleri ile işletme kapasiteleri aşağıdaki şekilde hesaplanabilir.



Şekil 4.37

4-23 nolu *aik* katsayılı 1 inci Maxwell kapasite denklem sisteminden Şekil 4.37'deki hat sistemi için, hat potansiyelleri,

$$U_1 = a_{11} Q_1 + a_{12} Q_2 + a_{13} Q_3$$

$$U_2 = a_{21} Q_1 + a_{22} Q_2 + a_{23} Q_3$$

$$U_3 = a_{31} Q_1 + a_{32} Q_2 + a_{33} Q_3$$

A katsayılar matrisinin  $[A]^{-1}$  ters matrisi yardımı ile ,

$$A = \begin{bmatrix} a_{11} & a_{12} & a_{13} \\ a_{21} & a_{22} & a_{23} \\ a_{31} & a_{32} & a_{33} \end{bmatrix} \quad \text{ve} \quad A^{-1} = \frac{A^+}{|A|}$$

olup A katsayılar determinanı ve  $a_{ik}$  elamanlarının kofaktörleri aşağıdaki şekilde hesaplanır.

$$|A| = a_{11}(a_{22} \cdot a_{33} - a_{23}^2) - a_{12}(a_{12} \cdot a_{33} - a_{31} \cdot a_{23}) + a_{13}(a_{21} \cdot a_{32} - a_{13} \cdot a_{22})$$

$$A_{11} = a_{22} \cdot a_{33} - a_{23}^2, \quad A_{12} = -(a_{12} \cdot a_{33} - a_{23} \cdot a_{13}), \quad A_{13} = a_{12} \cdot a_{32} - a_{13} \cdot a_{22}$$

$$A_{21} = -(a_{12} \cdot a_{33} - a_{32} \cdot a_{13}), \quad A_{22} = a_{11} \cdot a_{33} - a_{31}^2, \quad A_{23} = -(a_{11} \cdot a_{32} - a_{31} \cdot a_{12})$$

$$A_{31} = a_{12} \cdot a_{23} - a_{22} \cdot a_{13}, \quad A_{32} = -(a_{11} \cdot a_{23} - a_{21} \cdot a_{13}), \quad A_{33} = a_{11} \cdot a_{22} - a_{12}^2$$

$$\begin{bmatrix} Q_1 \\ Q_2 \\ Q_3 \end{bmatrix} = \begin{bmatrix} \frac{A_{11}}{|A|} & \frac{A_{21}}{|A|} & \frac{A_{31}}{|A|} \\ \frac{A_{12}}{|A|} & \frac{A_{22}}{|A|} & \frac{A_{32}}{|A|} \\ \frac{A_{13}}{|A|} & \frac{A_{23}}{|A|} & \frac{A_{33}}{|A|} \end{bmatrix} \begin{bmatrix} U_1 \\ U_2 \\ U_3 \end{bmatrix}$$

Bu matristen:

$$Q_1 = \frac{A_{11}}{|A|} U_1 + \frac{A_{21}}{|A|} U_2 + \frac{A_{31}}{|A|} U_3$$

$$Q_2 = \frac{A_{12}}{|A|} U_1 + \frac{A_{22}}{|A|} U_2 + \frac{A_{32}}{|A|} U_3 \quad 4.27$$

$$Q_3 = \frac{A_{13}}{|A|} U_1 + \frac{A_{23}}{|A|} U_2 + \frac{A_{33}}{|A|} U_3$$

denklem sistemi elde edilir 4-19 ve 4-20 nolu bağıntılar yardımı ile 4-27 nolu denklemden,

$$C_{12} = -\frac{A_{21}}{|A|} = \frac{a_{12} \cdot a_{33} - a_{23} \cdot a_{13}}{|A|}, \quad C_{23} = -\frac{A_{23}}{|A|} = \frac{a_{11} \cdot a_{32} - a_{31} \cdot a_{12}}{|A|}$$

$$C_{31} = -\frac{A_{13}}{|A|} = \frac{-a_{12} \cdot a_{23} + a_{22} \cdot a_{13}}{|A|} = \frac{a_{22} \cdot a_{13} - a_{12} \cdot a_{23}}{|A|} \quad 4.28$$

$$C_{10} = \frac{A_{11} + A_{21} + A_{31}}{|A|} = \frac{a_{22} \cdot a_{33} - a_{23}^2 + a_{13} \cdot a_{23} - a_{12} \cdot a_{33} + a_{12} \cdot a_{23} - a_{22} \cdot a_{13}}{|A|}$$

$$C_{20} = \frac{A_{12} + A_{22} + A_{32}}{|A|} = \frac{a_{23} \cdot a_{13} - a_{12} \cdot a_{33} + a_{11} \cdot a_{33} - a_{31}^2 + a_{21} \cdot a_{13} - a_{11} \cdot a_{23}}{|A|}$$

$$C_{30} = \frac{A_{13} + A_{23} + A_{33}}{|A|} = \frac{a_{12} \cdot a_{32} - a_{13} \cdot a_{32} + a_{31} \cdot a_{12} - a_{11} \cdot a_{32} + a_{11} \cdot a_{22} - a_{12}^2}{|A|}$$

kısmı kapasiteler hesaplanır. 4-28 nolu bağıntılardaki  $O_{ii}$  ve  $O_{ik}$  katsayıları, 4-22 nolu bağıntıya göre,

$$O_{11} = \frac{1}{2\pi\epsilon L} \ln \frac{2h_1}{R_1}, \quad O_{22} = \frac{1}{2\pi\epsilon L} \ln \frac{2h_2}{R_2}, \quad O_{33} = \frac{1}{2\pi\epsilon L} \ln \frac{2h_3}{R_3}$$

4.29

$$O_{12} = O_{21} = \frac{1}{2\pi\epsilon L} \ln \frac{D_{12}}{d_{12}}, \quad O_{23} = O_{32} = \frac{1}{2\pi\epsilon L} \ln \frac{D_{23}}{d_{23}}, \quad O_{31} = O_{13} = \frac{1}{2\pi\epsilon L} \ln \frac{D_{31}}{d_{31}}$$

iletkenlerin geometrik durumları göz önüne alınarak hesaplanır.

#### 4.10.4.2. Hat Sisteminin İşletme Bakımından Durumu:

Bir hat sistemi işletme bakımından simetrik veya simetrisiz olabilir. İşletme bakımından simetrik olmayan bir hat aşağıda belirtileceği üzere, bazı tedbirlere baş vurmak suretiyle simetrik bir işletme haline getirilebilir.

Hat sistemine yıldız noktası topraklanmış simetrik 3 fazlı bir alternatif gerilim tatbik edildiğini düşünürsek, hatın boşta çalışmada faz yükleri  $Q_1, Q_2, Q_3$  ve toprağa karşı potansiyelleri  $U_1 = U_{10}, U_2 = U_{20},$

$$U_3 = U_{30}$$

olduğuna göre sistemin  $b_{ik}$  katsayılı denklem sistemi:

$$Q_1 = b_{11} \cdot U_{10} + b_{12} U_{20} + b_{13} \cdot U_{30}$$

$$Q_2 = b_{21} U_{10} + b_{22} U_{20} + b_{23} U_{30}$$

4.30

$$Q_3 = b_{31} U_{10} + b_{32} U_{20} + b_{33} U_{30}$$

$$\dot{U}_{10} + \dot{U}_{20} + \dot{U}_{30} = 0$$

olup bu pozitif simetrikli sistemde:

$$\dot{U}_{10} = \dot{U}_p, \quad \dot{U}_{20} = a^2 \dot{U}_{10} \text{ ve } \dot{U}_{30} = a \dot{U}_{10} \quad 4.31$$

dir. Yukarıda 4.30. nolu denklem sisteminde  $\dot{U}_{20}$  ve  $\dot{U}_{30}$  yerine  $\dot{U}_{10} = \dot{U}_p$  cinsinden değerleri yerine konulursa,

$$Q_1 = (b_{11} + a^2 b_{12} + a b_{13}) \dot{U}_{10}$$

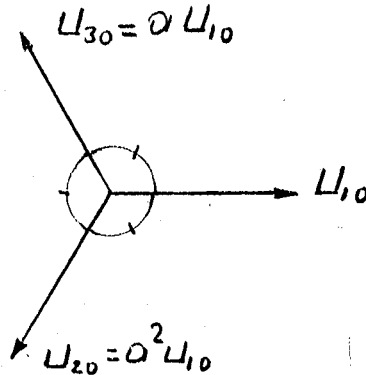
$$Q_2 = (b_{22} + a^2 b_{23} + a b_{21}) \dot{U}_{20}$$

4.32

$$Q_3 = (b_{33} + a^2 b_{31} + a b_{32}) \dot{U}_{30}$$

denklemler sistemi bulunur.

Bu denklemler sisteminde



Şekil 4.38

Şekil 4.38'deki pozitif faz sırasından a döndürme operatörü olup

$$a = -0,5 + j0,866, \quad a^2 = -0,5 - j0,866$$

$$a + a^2 + 1 = 0, \quad a^2 + a = -1, \quad a^3 = 1 \text{ dir}$$

b ve c kat sayıları arasında daha önceden bulunan

$$C_{ii} = \sum_{k=1}^{k=n} b_{ik}, \quad C_{ik} = -b_{ik}, \quad C_{ik} = C_{ki}$$

bağıntıları göz önüne alındığında,

$$\dot{Q}_1 = (C_{10} + C_{12} + C_{13} - a^2 C_{12} - a C_{13}) \dot{U}_{10}$$

$$\dot{Q}_2 = (C_{20} + C_{12} + C_{23} - a^2 C_{23} - a C_{12}) \dot{U}_{20}$$

4.33

$$\dot{Q}_3 = (C_{30} + C_{13} + C_{23} - a^2 C_{13} - a C_{23}) \dot{U}_{30}$$

şeklinde denklem yazılabilir. Sistemin yıldız noktası topraklanmış bir sistem olduğundan parantez içindeki kapasitelerin toplamı, fazların  $C_1, C_2, C_3$  bileşke kapasitelerini diğer bir deyişle fazların işletme kapasitelerini verir. Buna göre fazların işletme kapasitelerini veren aşağıdaki denklem sistemi elde edilir.

$$C_{b1} = C_{10} + C_{12}(1 - a^2) + C_{13}(1 - a) = \frac{\dot{Q}_1}{\dot{U}_{10}}$$

$$C_{b2} = C_{20} + C_{21}(1 - a) + C_{23}(1 - a^2) = \frac{\dot{Q}_2}{\dot{U}_{20}}$$

4.34

$$C_{b3} = C_{30} + C_{31}(1 - a^2) + C_{32}(1 - a) = \frac{\dot{Q}_3}{\dot{U}_{30}}$$

faz iletkenlerinin simetrik veya simetrik olmayan bir tertipte yerleştirilmiş olmasına göre, fazların bileşke kapasiteleride reel veya kompleks bir büyüklük olur.

Sistemin tam simetrik olması halinde,

$$C_{12} = C_{22} = C_{31} = C, \quad C_{10} = C_{20} = C_{30} = C_0 \quad 4.35$$

olacağından, fazların işletme kapasiteleri reel ve birbirine

$$C_1 = C_2 = C_3 = C_0 + 3C$$

eşit olur.

Herhangi bir hat tertibinin kapasite bakımından simetrik bir duruma getirilebilmesi, diğer bir deyimle kısmi kapasiteler arasındaki eşitliklerin elde edilmesi, ancak  $a_{ik}$ 'li potansiyel katsayıları arasında,

$$a_{12} = a_{22} = a_{31} = a_m$$

4.36

$$a_{11} = a_{22} = a_{33} = a_0$$

eşitliğinin sağlanması ile mümkün olur. Havai hatlarda böyle bir eşitlik, ancak hat tertibinin şekil 4.39 a'da görüldüğü gibi üçgen simetrik tertipte yerleştirilmesi ile mümkün olur. Bu arada faz iletkenlerinin topraktan yükseklikleri

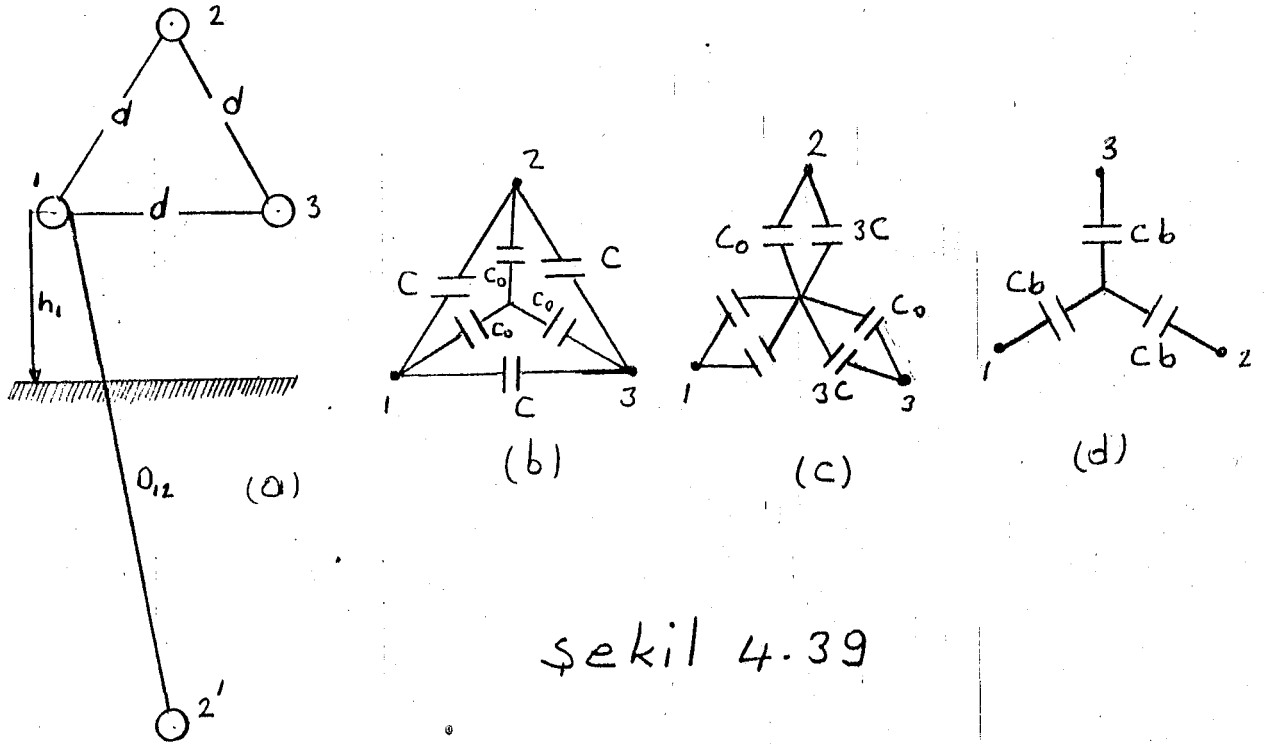
$$h_1 \approx h_2 \approx h_3 \approx \sqrt[3]{h_1 \cdot h_2 \cdot h_3} = h_0$$

ve ortalama  $h_0$  hat yüksekliğinin, iletkenler arasındaki açıklığa nazaran  $h_0 \gg d$  çok büyük olması halinde yaklaşık olarak gerçekleşir. Bu şartlar altında fazların bileşke (işletme kapasiteleri)

$$C_1 \approx C_2 \approx C_3 = C_0 + 3C = C_b \quad 4.37$$

olur.





Şekil 4.39

Şekil 4.39 b,c,d görüldüğü gibi iletkenler arasındaki c kısmı kapasitelerinin teşkil ettiği kapasite üçgeninin eşdeğer yıldız sisteme dönüştürülmesi sureti ile de gösterilebilir. Bu durumda sistemin büküm kapasitesi

$$C_{bük} = \frac{1}{2} C_b$$

$$4.38$$

olur.

Şekil 4.39 a'daki söz konusu hat sisteminde

$$R_1 = R_2 = R_3 = R, \quad d_{12} = d_{23} = d_{31} = d$$

$$h_1 = h_2 = h_3 = \sqrt[3]{h_1 \cdot h_2 \cdot h_3} = h_0, \quad D_{12} = D_{23} = D_{31} = D = 2h_0$$

kabul edildiğinde,

$$a_{11} = a_{22} = a_{33} = a_0 = \frac{1}{2\pi \epsilon L} \ln \frac{2h_0}{R}$$

$$4.39$$

$$a_{12} = a_{23} = a_{31} = a_m = \frac{1}{2\pi \epsilon L} \ln \frac{2h_0}{d}$$

$a_{ik}$  potansiyel katsayıları birbirine eşit olur. İlerde görüleceği üzere  $a_0$  ve  $a_m$  aynı zamanda çaprazlanmış hatlarda potansiyel katsayılarının ortalama değerlerine tekabül eder.

Simetrik olmayan hat tertibi için kısım 4.10.4.1'deki A katsayılar matrisi göz önüne alındığında şekil 4.39'daki sistem için,

$$A = a_{11}^3 - 3a_{11}a_{12}^2 + a_{12}^3 \cdot 2 = (a_{11} - a_{12})^2 (a_{11} + 2a_{12}) \quad 4.40$$

olur. Bu takdirde kısmi kapasiteler için 4-28 nolu bağıntılara benzer şekilde,

$$C = C_{12} = C_{23} = C_{31} = \frac{a_{12}}{(a_{11} - a_{12})^2 (a_{11} + 2a_{12})}$$

4.41

$$C_0 = C_{10} = C_{20} = C_{30} = \frac{1}{(a_{11} + 2a_{12})}$$

işletme kapasiteleri içinde,

$$C_b = C_0 + 3C = \frac{1}{(a_{11} - a_{12})^2}$$

4.42

bağıntıları elde edilir. a kat sayılarının değerleri yerine konulduğunda,

$$C_0 = \frac{2\pi\epsilon \cdot l}{3 \ln \frac{2h_0}{\sqrt[3]{R \cdot d^2}}} = \frac{1}{3} C_{e0}$$

4.43

$$C_b = \frac{2\pi\epsilon \cdot l}{\ln \frac{d}{R}} = 2C_{bük}$$

ifadeleri elde edilir. İşletme kapasitesini veren ifadede h yüksekliğinin bulunmaması, kabul edilen şartlar altında söz konusu simetrik üçgen tertipteki hattın işletme ve büküm kapasitelerinin, hattın yüksekliğine bağlı olmadığını, diğer bir deyimle toprak etkisinin bulunmadığını gösterir. 4/43 nolu bağıntıda  $C_0$  toprak kapasitesini veren ifadede  $C_{e0}$  ile gösterilen kapasite değeri, ileride görüleceği üzere üçlü bir demet iletkenin toprak kapasitesini ve bu ifadedeki

$$\sqrt[3]{R \cdot d^2} = R_e$$

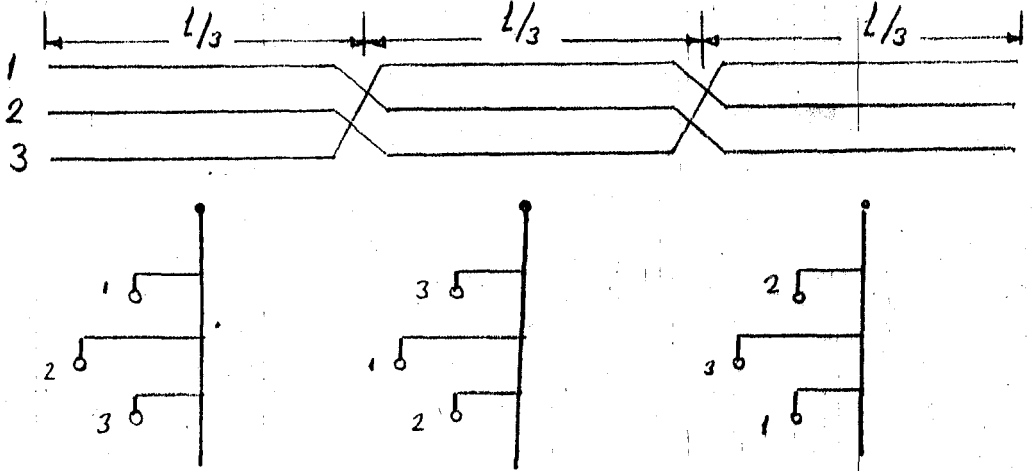
bağıntısında  $R_e$  yarı çapıda, söz konusu demet iletkenin toprak kapasitesi bakımından eş değeri olan iletkenin yarı çapını, diğer bir deyimle eşdeğer yarı çapını verir. Kabul edilen şartlar altında iki kapasite arasında,

$$C_{e0} = 3C_0 \text{ bağıntısı vardır}$$

#### 4.10.4.3 Çaprazlanmış Üç Fazlı Hat Sistemi:

Enerji iletim hatlarında faz iletkenlerinin simetrik yerleştirilmemesi nedeni ile bu simetresizlikten dolayı gerilim ve akım sistemlerinde meydana gelebilecek simetrisizliklerin düzeltilmesi, enerji iletim hatlarının yakınından geçen haberleşme hatlarında enerji iletim hatlarının sebep oldukları elektrostatik ve elektromanyetik gerilim indükl emelerinin, bunun sonucunda meydana gelen parazitlerin önlenmesi gayesi ile enerji iletim sistemleri çaprazlama yolu ile simetrik bir işletme haline getirilir. Aynı zamanda üç fazlı hat sistemleri bir fazlı eşdeğer şemalar halinde incelenebilir.

Şekil 4.40'da  $\infty$  çaprazlanması adı verilen ve üç fazlı tek hat sistemlerinde kullanılan çaprazlama görülmektedir.



Şekil 4.40

Çaprazlama tüm hat boyunca eşit aralıklarda yapılmalı ve belirli bir uzunluğu aşmamalıdır. Mesela eşit kenarlı üçgen tertipdeki bir hatta bu uzunluk 80 km'yi, diğer tertiplerde ise 40 km'yi aşmamalıdır. Simetrik tertipte olmayan üç fazlı bir hattın çaprazlanması halinde, eğer hatta tatbik edilen üç fazlı gerilim sistemi simetrik bir sistem ise, bu takdirde faz iletkenlerinin potansiyelleri ve yükleride hattın tüm uzunluluğu bakımından aynı şekilde simetrik birer sistem teşkil eder. Çaprazlanma bölgeleri içinde faz yükleri birbirine eşit olmadığı halde, çaprazlama ile faz iletkenlerinin tüm uzunlukları boyunca toplam yükleri miktarca birbirine eşit olur. Kısmi kapasitelerin hesaplanmasında kesin hesap metodu uzun ve yorucu olduğundan, daha çok →

\* V.D.E'ye göre

yaklaşık hesap metodu kullanılır. Yaklaşık hesap metodunda, potansiyel katsayıları için,

$$a_{11} = a_{22} = a_{33} , \quad a_0 = \frac{a_{11} + a_{22} + a_{33}}{3}$$

4.44

$$a_{12} = a_{23} = a_{31} , \quad a_m = \frac{a_{12} + a_{23} + a_{31}}{3}$$

ortalama değerleri esas alınır.

Hatta tatbik edilen gerilim pozitif simetrik bir sistem ise,

$$\dot{U}_{10} + \dot{U}_{20} + \dot{U}_{30} = 0$$

4.45

$$\dot{Q}_1 + \dot{Q}_2 + \dot{Q}_3 = 0$$

bağıntıları kurulabilir. Potansiyel katsayılarına göre denklemler sistemi,

$$\dot{U}_1 = \dot{U}_{10} = a_0 \dot{Q}_1 + a_m \dot{Q}_2 + a_m \dot{Q}_3$$

$$\dot{U}_2 = \dot{U}_{20} = a_m \dot{Q}_1 + a_0 \dot{Q}_2 + a_m \dot{Q}_3$$

4.46

$$\dot{U}_3 = \dot{U}_{30} = a_m \dot{Q}_1 + a_m \dot{Q}_2 + a_0 \dot{Q}_3$$

veyahut,

$$\dot{Q}_1 = \dot{Q}_p , \quad \dot{Q}_2 = a^2 \dot{Q}_1 , \quad \dot{Q}_3 = a \dot{Q}_1$$

olduğundan,

$$\dot{U}_{10} = [a_0 + (a + a^2) a_m] \cdot \dot{Q}_1 = (a_0 - a_m) \cdot \dot{Q}_1$$

$$\dot{U}_{20} = [a_0 + (a + a^2) a_m] \cdot \dot{Q}_2 = (a_0 - a_m) \cdot \dot{Q}_2 \quad 4.47$$

$$\dot{U}_{30} = [a_0 + (a + a^2) a_m] \cdot \dot{Q}_3 = (a_0 - a_m) \cdot \dot{Q}_3$$

olur. Yukardaki denklem sisteminden ve 4-19, 4-20, 4-40, 4-41 nolu bağıntılar göz önüne alındığında, söz konusu çaprazlanmış hattın kısmi kapasiteleri için,

$$A = (a_0 - a_m)^2 (a_0 + 2a_m)$$

$$C = C_{12} = C_{23} = C_{31} = \frac{a_m}{(a_0 - a_m)(a_0 + 2a_m)} \quad 4.48$$

$$C_0 = C_{10} = C_{20} = C_{30} = \frac{1}{(a_0 + 2a_m)}$$

bağıntıları elde edilir.

Çaprazlama ile böylece simetrik bir işleme elde edilmiş olacağından her üç fazın bileşke kapasitelerinin birbirine eşit olması nedeni ile sistem için,

$$C_b = C_{b1} = C_{b2} = C_{b3} = \frac{\dot{Q}_1}{\dot{U}_{10}} = \frac{\dot{Q}_2}{\dot{U}_{20}} = \frac{\dot{Q}_3}{\dot{U}_{30}} = \frac{1}{a_0 - a_m} \quad 4.49$$

$$C_b = C_0 + 3C$$

müşterek bir işletme kapasitesinin elde edileceği kolayca görülür. Burada  $a_0$  ve  $a_m$  ortalama potansiyel katsayılarının değerleri,

$$a_0 = \frac{1}{3} (a_{11} + a_{22} + a_{33}) = \frac{1}{2\pi \epsilon L} \ln \frac{2h}{R}$$

$$a_m = \frac{1}{3} (a_{12} + a_{23} + a_{31}) = \frac{l}{2\pi \epsilon l} \ln \frac{D}{d}$$

$$h = \sqrt[3]{h_1 \cdot h_2 \cdot h_3}$$

$$d = \sqrt[3]{d_{12} \cdot d_{23} \cdot d_{31}}$$

$$D = \sqrt[3]{D_{12} \cdot D_{23} \cdot D_{31}}$$

$$R = R_1 = R_2 = R_3$$

4.50

olur.

Buna göre, söz konusu simetrik olmayan fakat çaprazlanmış hattın kısmı ve işletme kapasiteleri için (4.48, 49 ve 50) nolu bağıntılar göz önüne alındığında,

$$C = \frac{2\pi \epsilon \cdot l}{\ln \frac{2h \cdot d}{R \cdot D} \cdot \ln \frac{2h \cdot D^2}{R \cdot d^2}} \ln \frac{D}{d}$$

4.51

$$C_0 = \frac{2\pi \epsilon \cdot l}{\ln \frac{2h \cdot D^2}{R \cdot d^2}}, \quad C_b = \frac{2\pi \epsilon \cdot l}{\ln \frac{2h \cdot d}{R \cdot D}}$$

bağıntıları elde edilir. Tatbikatta bir çok hallerde  $D \approx 2h$  alınabilir. Bu takdirde yukardaki ifadeler,

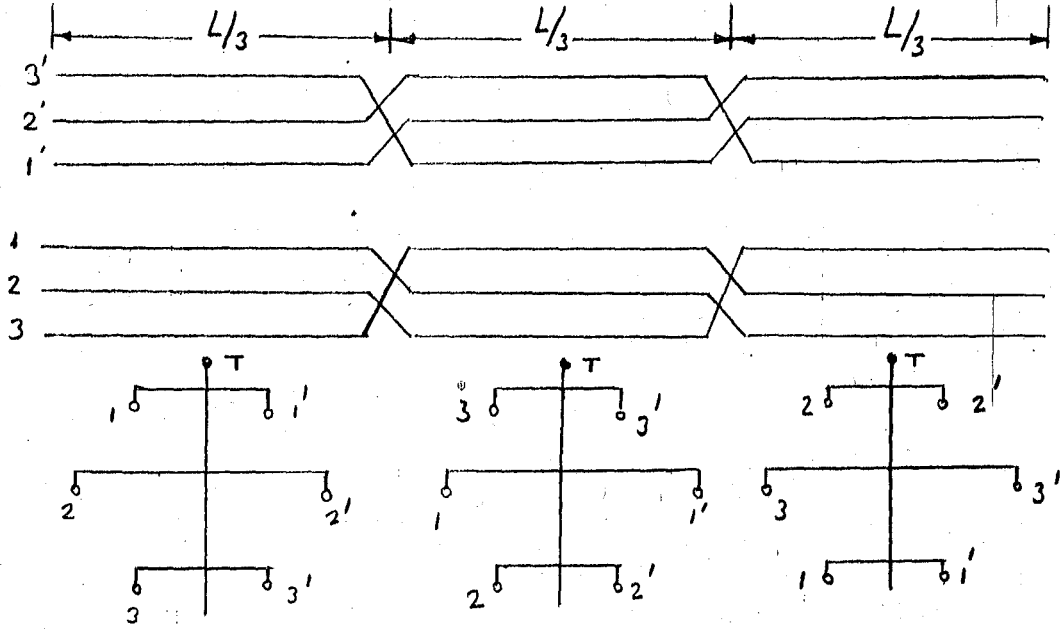
$$C \approx \frac{2\pi \epsilon \cdot l}{3 \ln \frac{d}{R} \ln \frac{2h}{\sqrt[3]{R d^2}}} \ln \frac{2h}{d}$$

$$C_0 \approx \frac{2\pi \epsilon \cdot l}{3 \ln \frac{2h}{\sqrt[3]{R \cdot d^2}}} = \frac{1}{3} C_{e0}, \quad C_b \approx \frac{2\pi \epsilon \cdot l}{\ln \frac{d}{R}}$$

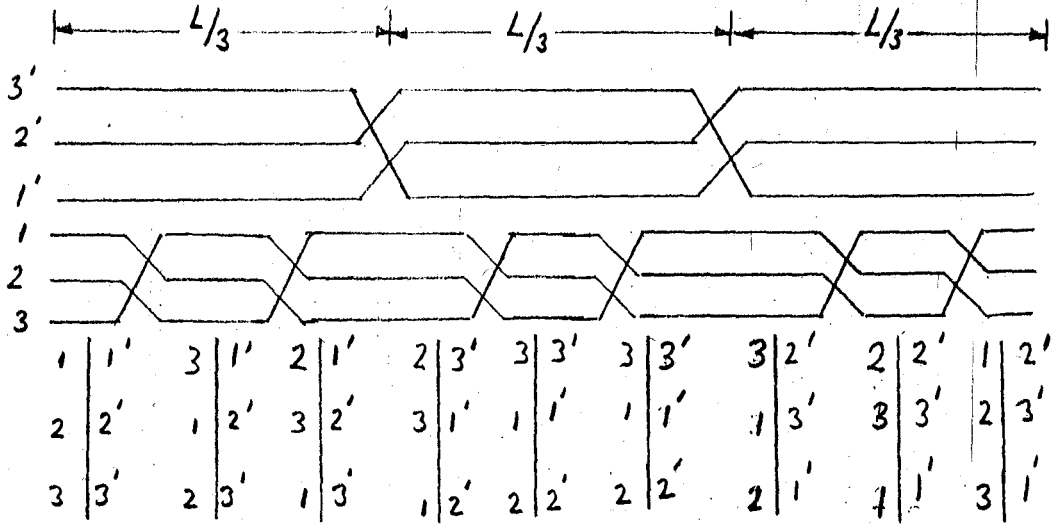
şeklinde yaklaşık olarak bulunabilir.

4.10.5. Üç Fazlı Çift Hat Sistemleri:

Üçfazlı çift hat sistemlerinde şekil 4.41'de görüldüğü gibi  $\beta$  veya  $\gamma$  adları ile adlandırılan çaprazlama tertipleri kullanılır.



$\gamma$  - Çaprazlaması (Çift hat)



$\beta$  - Çaprazlaması (Çift hat)

Şekil 4.41



$\gamma$  - çaprazlama tertibinde birbirine paralel olarak bağlanmış aynı fazların toprağa karşı potansiyelleri ve hattın tüm uzunluğundaki yükleri birbirine eşit olacağından, çift hattı teşkil eden iki tek hat sisteminden, ilk önce birinin potansiyel denklem sistemini ele alalım:

$$U_{10} = (a_0 + a_0') Q_1 + (a_m + a_m') Q_2 + (a_m + a_m') Q_3$$

$$U_{20} = (a_m + a_m') Q_1 + (a_0 + a_0') Q_2 + (a_m + a_m') Q_3 \quad 4.53$$

$$U_{30} = (a_m + a_m') Q_1 + (a_m + a_m') Q_2 + (a_0 + a_0') Q_3$$

Burada  $a_0, a_m$  birinci hat sisteminin ve  $a_0', a_m'$  ise, ikinci hat sisteminin birinci sistem üzerine yaptığı etkiyi gösteren ortalama potansiyel katsayılarıdır. Çaprazlama  $\gamma$  tertibinde olduğuna göre  $a_0$  ve  $a_m$  potansiyel katsayıları için,

$$a_0 = \frac{a_{11} + a_{22} + a_{33}}{3}, \quad a_0' = \frac{a_{11}' + a_{22}' + a_{33}'}{3} \quad 4.54$$
$$a_m = \frac{a_{12} + a_{23} + a_{31}}{3}, \quad a_m' = \frac{a_{12}' + a_{23}' + a_{31}'}{3}$$

bağıntıları yazılabilir. Bu takdirde 4.53 nolu denklem

$$U_{10} = k_{11} Q_1 + k_{12} Q_2 + k_{12} Q_3$$

$$U_{20} = k_{12} Q_1 + k_{11} Q_2 + k_{12} Q_3$$

4.55

$$U_{30} = k_{12} Q_1 + k_{12} Q_2 + k_{11} Q_3$$

$$k_{11} = k_{22} = \dots, \quad k_{11} = a_0 + a_0', \quad k_{12} = a_m + a_m', \quad k_{12} = k_{32} = \dots$$

şeklinde yazılabilir. Bu denklem sistemi çaprazlanmış üç fazlı tek hattın denklem sistemi ile aynı yapıdadır. Bu durumda

$k_{11}$  ve  $k_{12}$ 'nin yukardaki değerleri alınmak şartı ile çift hat sisteminin kapasiteleri 4-(47,48,49,50) nolu bağıntılar yardımı ile aynı şekilde hesaplanabilir.

Yukardaki denklem sistemi çift hat sistemini teşkil eden tek hat sisteminden birine aittir. İkinci hat sistemi paralel bağlandığına ve direğe göre simetrik olduğuna göre, bulunan bu sonuçların iki ile çarpılması gerekir. Buna göre, çift hat sisteminin kısmi kapasiteleri,

$$C_{12} = C_{23} = C_{13} = C = 2 \cdot \frac{k_{12}}{(k_{11} - k_{12})(k_{11} + 2k_{12})}$$

4.56

$$C_{10} = C_{20} = C_{30} = C_0 = 2 \cdot \frac{1}{(k_{11} + 2k_{12})} = 2 \cdot \frac{1}{(a_0 + 2a_m) + (a_0' + 2a_m')}$$

ve sistemin işletme kapasitesi,

$$C_b = 2 \cdot \frac{1}{(k_{11} - k_{12})} = 2 \cdot \frac{1}{(a_0 - a_m) + (a_0' - 2a_m')}$$

4.57

olur. Bağıntılarda paydadaki ikinci terimler, ikinci hat sisteminin birinci hat sistemi üzerine yaptığı etkiyi gösteren terimdir. İşletme kapasitesinde bu etkinin derecesi  $a_0'$  ile  $a_m'$  arasındaki farkın büyüklüğüne bağlıdır.  $a_0' = a_m'$  olması halinde, bu etki ortadan kalkar ve çift hat sisteminin işletme kapasitesi müstakil tek bir hat sisteminin işletme kapasitesine eşit olur. Fakat tatbikatta bir çok hallerde  $a_0' \neq a_m'$  olduğundan, böyle bir durum nadiren söz konusu olabilir. Sözü edilen sistem için potansiyel katsayıları,

$$a_0 = \frac{1}{2\pi\epsilon L} \ln \frac{2h}{R}, \quad a_m = \frac{1}{2\pi\epsilon L} \ln \frac{D}{d}$$

$$a_0' = \frac{1}{2\pi\epsilon L} \ln \frac{D''}{d''}, \quad a_m' = \frac{1}{2\pi\epsilon L} \ln \frac{D'}{d'}$$

$$d' = \sqrt[3]{d'_{12} \cdot d'_{23} \cdot d'_{31}}$$

$$d'' = \sqrt[3]{d''_{11} \cdot d''_{22} \cdot d''_{33}}$$

4.58

$$D' = \sqrt[3]{D'_{12} \cdot D'_{23} \cdot D'_{31}}$$

$$D'' = \sqrt[3]{D''_{11} \cdot D''_{22} \cdot D''_{33}}$$

$$R = R_1 = R_2 = R_3 = R'_1 = R'_2 = \dots$$

olur. Potansiyel katsayıları için diğer açıklamalar 4-50 nolu bağıntıda verilmiştir. 4-58 nolu bağıntıya göre  $C_0$  kısmı, bu işletme kapasitesini veren aşağıdaki bağıntılar elde edilir.

$$C_o = 2 \frac{2 \pi \epsilon \cdot l}{\ln \frac{2h \cdot D^2}{R \cdot (d')^2} + \ln \frac{D'' \cdot (D')^2}{d'' \cdot d'}}$$

4.59

$$C_b = 2 \frac{2 \pi \epsilon \cdot l}{\ln \frac{2h D''}{R \cdot d''} - \ln \frac{D \cdot D'}{d \cdot d'}}$$

olur. Faz iletkenlerinin yarı çapları birbirine eşit olduğundan tatbikatta umumiyetle,

$$D' \approx D'' , D = 2h$$

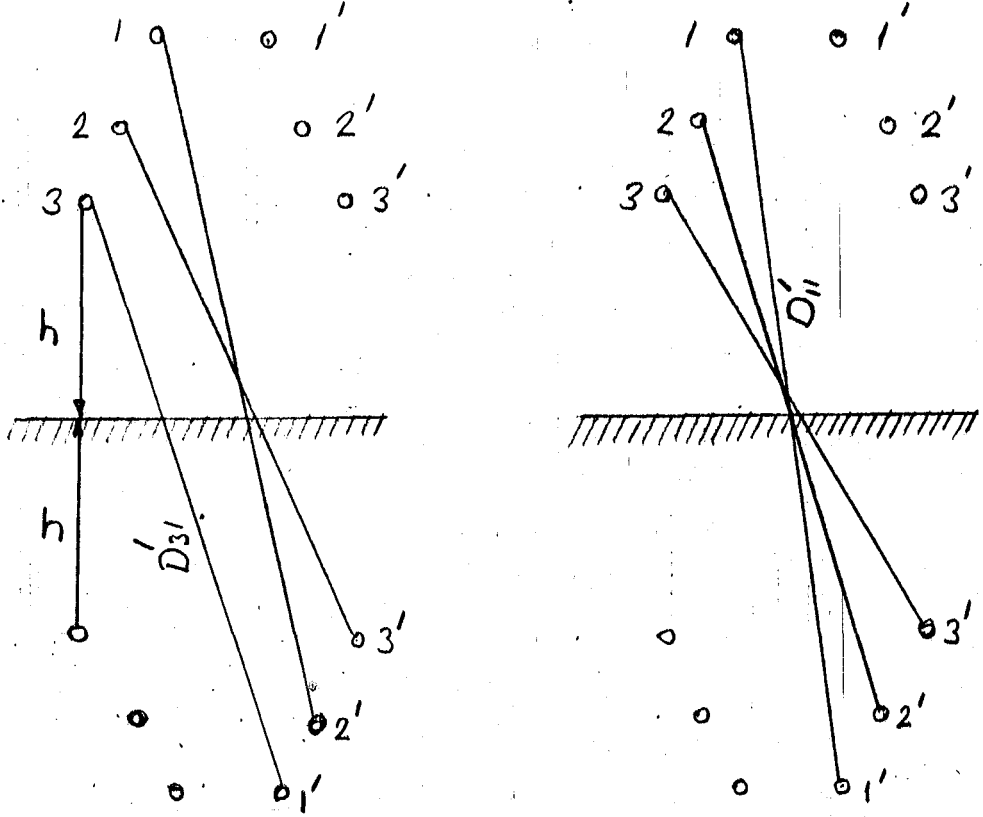
alınabileceğinden bu durumda 4-59 nolu bağıntı,

$$C_o = 2 \frac{2 \pi \epsilon \cdot l}{3 \left[ \ln \frac{2h}{\sqrt[3]{R \cdot d^2}} + \ln \frac{D'}{\sqrt[3]{d'' \cdot (d')^2}} \right]}$$

4.60

$$C_b = 2 \frac{2 \pi \epsilon \cdot l}{\ln \frac{d \cdot d'}{R \cdot d''}}$$

halini alır. Şekil 4.42'de sözü edilen hat sisteminde potansiyel katsayıları ile kısmi kapasite bağıntılarından kullanılan bazı terimler verilmiştir.



Şekil 4.42

#### 4.10.6 Koruma İletkenli Enerji İletim Sistemleri:

##### 4.10.6.1 Bir koruma İletkenli Tek Hat Sistemi:

Bir koruma iletkenli çaprazlanmamış üç fazlı tek hat sistemi, dört iletkenli bir sistem gibi ele alınarak hesaplanır.

Şekil 4.43'de gösterilen dört iletkenli böyle bir sistemin

$C_{ii}$  ve  $C_{ik}$  kısmi kapasiteleri hattın,

$$U_1 = a_{11} Q_1 + a_{12} Q_2 + a_{13} Q_3 + a_{14} Q_4$$

$$U_2 = a_{41} Q_1 + a_{42} Q_2 + a_{43} Q_3 + a_{44} Q_4$$

potansiyel katsayılı denklem sisteminden giderek bulunur. Bu sistemde önce koruma iletkeninin topraklanmadığını farz edelim.

Koruma iletkeninin potansiyel katsayılarındaki 4 indisini T indisi olarak gösterelim.  $a_{ik} = a_{ki}$  eşitliği göz önüne alınarak, söz konusu dört iletkenli sistemin kısmi kapasitelerini veren ifadelerden  $C_{10}$  ve  $C_{12}$  kısmi kapasitelerine ait ifadeler örnek olarak aşağıda gösterilmiştir.

$$C_{12} = \frac{1}{|A|} [a_{12}(a_{33}a_{TT} - a_{TT}^2) - a_{23}(a_{13}a_{TT} - a_{1T}a_{3T}) + a_{2T}(a_{33}a_{3T} - a_{1T}a_{3T})]$$

$$|A| = (a_{11}a_{22} - a_{12}^2)(a_{33}a_{TT} - a_{3T}^2) - (a_{11}a_{23} - a_{12}a_{13})(a_{23}a_{TT} - a_{2T}a_{3T})$$

$$+ (a_{11}a_{3T} - a_{12}a_{1T})(a_{23}a_{3T} - a_{2T}a_{33}) + (a_{12}a_{23} - a_{13}a_{22})(a_{13}a_{TT} - a_{1T}a_{3T})$$

$$- (a_{12}a_{2T} - a_{1T}a_{22})(a_{13}a_{3T} - a_{1T}a_{33}) + (a_{13}a_{2T} - a_{1T}a_{23})(a_{13}a_{2T} - a_{1T}a_{23})$$

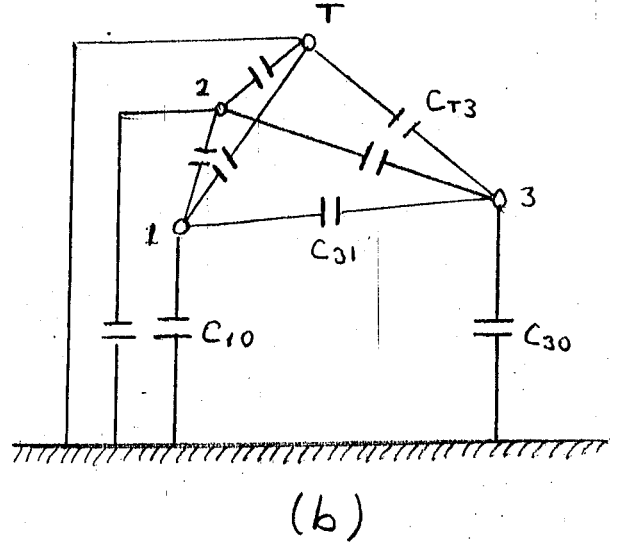
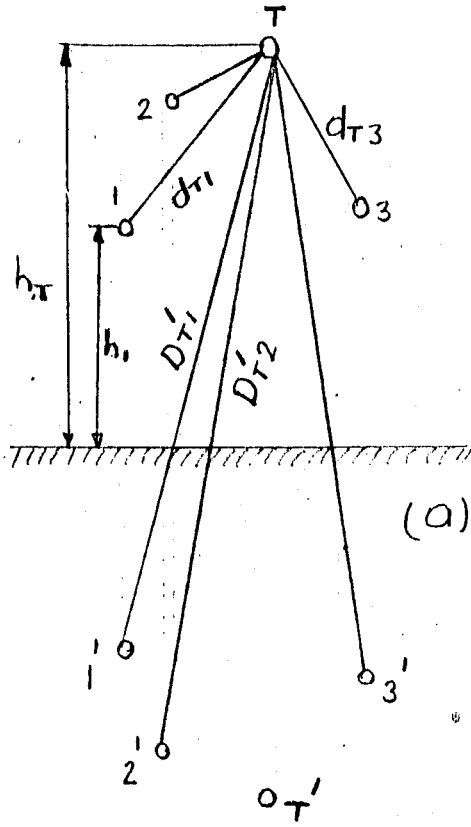
4.61

$$C_{10} = \frac{1}{|A|} = [(a_{22} - a_{12})(a_{33}a_{TT} - a_{3T}^2) - (a_{23} - a_{13})(a_{TT}a_{33} - a_{2T}a_{3T})$$

$$+ (a_{2T} - a_{1T})(a_{23}a_{3T} - a_{33}a_{2T}) + (a_{TT} - a_{3T})(a_{12}a_{23} - a_{22}a_{13})$$

$$- (a_{3T} - a_{33})(a_{12}a_{2T} - a_{22}a_{1T}) + (a_{2T} - a_{23})(a_{13}a_{2T} - a_{23}a_{1T})]$$

Dört iletkenli sisteme ait yukarıdaki bağıntılarda koruma iletkeninin yarı çapını sıfır kabul ettiğimizde ( $a_{TT} \rightarrow \infty$ ) üç iletkenli sisteme ait bağıntılar elde edilir.



Şekil 4.43

Yukardaki denklem sistemlerinin kurulmasında koruma iletkeninin topraklanmadığı faz edilerek denklem sistemleri yazılmıştır. Gerçekte koruma iletkenleri topraklandığından, söz konusu dört iletkenli sistemde koruma iletkeninin  $C_{T0}$  toprak kısmı kapasitesi şekil 4.43 b'de görüldüğü gibi kısa devre olacağından, ortadan kalkar.

Faz iletkenlerine ait  $a_{ii}$  ve  $a_{ik}$  potansiyel katsayıları üç iletkenli sistemde 4-29 nolu bağıntı ile verilmiştir. Koruma iletkenine ait potansiyel katsayıları ise,

$$a_{Ti} = \frac{1}{2\pi\epsilon \cdot L} \ln \frac{D_{Ti}}{d_{Ti}}$$

4.62

$$a_{TT} = \frac{1}{2\pi\epsilon \cdot L} \ln \frac{2h_T}{R_T}$$

olur.

Sözü edilen üç fazlı tek hat sisteminin  $\alpha$  tertibine göre çaprazlanmış olduğunu farz edelim. Hat sisteminin kapasitelerini yaklaşık hesap metodundan yararlanarak bulalım. Bu takdirde hesaplamalarda  $Q_0, Q_m, Q_{Tm}$  potansiyel katsayıları için 4-54 nolu bağıntıdaki ortalama potansiyel katsayıları esas alınacaktır. Koruma iletkenine ait  $Q_{Tm}$  ortalama potansiyel katsayısı

$$Q_{Tm} = \frac{Q_{T1} + Q_{T2} + Q_{T3}}{3} \quad 4.63$$

bağıntısı ile gösterilir.

Faz iletkenlerinin toprağa karşı potansiyelleri

$U_1 = U_{10}, U_2 = U_{20}, U_3 = U_{30}, U_4 = U_T = U_{T0} = 0$  olduğuna göre (koruma hattı topraklı  $U_{T0} = 0$ ) hattın denklem sistemi,

$$U_{10} = a_0 Q_1 + a_m Q_2 + a_m Q_3 + a_{Tm} Q_T$$

4.64

$$0 = a_{Tm} Q_1 + a_{Tm} Q_2 + a_{Tm} Q_3 + a_{TT} Q_T$$

olur. Burada koruma iletkeninin yükünü veren

$$a_T = \frac{Q_{Tm}}{a_{TT}} (Q_1 + Q_2 + Q_3), \quad a_T = \frac{Q_{Tm}^2}{a_{TT}} \quad 4.65$$

kısaltmaları göz önüne alındığında, 4-64 nolu dört iletken için yazılmış denklem sistemi,



$$U_{10} = (a_0 - a_T) Q_1 + (a_m - a_T) Q_2 + (a_m - a_T) Q_3$$

$$U_{20} = (a_m - a_T) Q_1 + (a_0 - a_T) Q_2 + (a_m - a_T) Q_3 \quad 4.66$$

$$U_{30} = (a_m - a_T) Q_1 + (a_m - a_T) Q_2 + (a_0 - a_T) Q_3$$

Şeklinde üç iletkenli bir hattın denklem sistemine dönüştürülebilir. Söz konusu hat sistemine pozitif simetrik bir gerilim uygulandığında, 4-66 nolu denklem sistemi,

$$k_{11} = a_0 - a_T, \quad k_{12} = a_m - a_T$$

$$U_{10} = k_{11} \dot{Q}_1 + k_{12} \dot{Q}_2 + k_{12} \dot{Q}_3 = (k_{11} - k_{12}) \dot{Q}_1$$

$$U_{20} = k_{12} \dot{Q}_1 + k_{11} \dot{Q}_2 + k_{12} \dot{Q}_3 = (k_{11} - k_{12}) \dot{Q}_2 \quad 4.67$$

$$U_{30} = k_{12} \dot{Q}_1 + k_{12} \dot{Q}_2 + k_{11} \dot{Q}_3 = (k_{11} - k_{12}) \dot{Q}_3$$

şeklinde yazılabilir.

Sistemin  $C_{ik}$  ve  $C_{ii}$  kısmi kapasiteleri üç iletkenli çaprazlanmış sisteme ait 4.56 nolu bağıntı yardımı ile bulunur.

Bu bağıntılarda  $a_{ii}$  ve  $a_{ik}$ 'nin yerine  $k_{11}$  ve  $k_{12}$  konulduğunda ve yukarıda verilen değerler dikkate alındığında, kısmi kapasiteler için

$$|K| = (k_{11} - k_{12})^2 (k_{11} + 2k_{12})$$

$$C = C_{12} = C_{23} = C_{31} = \frac{k_{12}}{(k_{11} - k_{12})(k_{11} - 2k_{12})} \cdot \frac{a_m - a_T}{(a_0 - a_m)(a_0 + 2a_m - 3a_T)}$$

4.68

$$C_E = C_{1E} = C_{2E} = C_{3E} = \frac{1}{(k_{11} + 2k_{12})} = \frac{1}{(a_0 + 2a_m - 3a_T)}$$

ifadeleri elde edilir. Bu bağıntılarda  $a_T$  için 4-65 nolu bağıntı göz önüne alındığında  $C_E$  için

$$C_E = \frac{1}{a_0 + 2a_m - 3 \frac{a_{Tm}^2}{a_{TT}}}$$

4.69

bağıntısı elde edilir. Burada  $C_E$  kapasitesi faz iletkenlerinin toprağa karşı olan kısmi kapasiteleri ile koruma iletkenine karşı olan kısmi kapasitelerinin, diğer bir deyişle birbirine paralel olan bu kapasitelerin toplamına eşit bileşke kapasiteyi gösterir. Bundanda anlaşıldığı gibi koruma iletkeni faz iletkenlerinin toprak kapasitelerini büyütecek şekilde tesir eder. Bu kapasiteye faz iletkenlerinin toprağa karşı etkin kapasiteside denir. Sistemin cb işletme kapasitesi,

$$C_b = C_0 + 3C$$

bağıntısında  $C_0$  yerine  $C_E$  koymak suretiyle bulunabilir. Bu takdirde 4-57 nolu bağıntıdan, cb

$$C_b = \frac{1}{k_{11} - k_{12}} = \frac{1}{a_0 - a_m}$$

4.70

bağıntısı yardımı ile bulunabilir. Bu ifadeden anlaşılacağı üzere işletme kapasitesi,  $a_T$  potansiyel katsayısına bağlı değildir. Yani koruma iletkeninin işletme kapasitesine bir etkisi yoktur. Buna karşılık koruma iletkeni, toprak kısmi

kapasitelerini büyütecek ve buna mukabil iletkenler arasındaki kısmi kapasiteleri küçültecek şekilde tesir eder.

$a_0$  ve  $a_m$  potansiyel katsayılarına ait bağıntılar 4-58 nolu bağıntılarda verilmiştir.  $a_{Tm}$  ve  $a_{TT}$  potansiyel katsayıları ise,

$$a_{Tm} = \frac{1}{2\pi\epsilon L} \ln \frac{D_T}{d_T}, \quad a_{TT} = \frac{1}{2\pi\epsilon \cdot L} \ln \frac{2h_T}{R_T} \quad 4.71$$
$$D_T = \sqrt[3]{D_{T1} \cdot D_{T2} \cdot D_{T3}} \quad d_T = \sqrt[3]{d_{T1} \cdot d_{T2} \cdot d_{T3}}$$

bağıntıların yardımı ile elde edilir. Bu bağıntılar 4-69 ve 4-70 nolu denklemlerde göz önüne alındığında sistemin  $C_E$  etkin ve  $C_b$  işletme kapasiteleri için aşağıdaki bağıntılar elde edilir.

$$C_E = \frac{1}{3} \cdot \frac{2\pi \cdot \epsilon \cdot L}{\ln \frac{\sqrt[3]{2h \cdot D^2}}{\sqrt[3]{R \cdot d^2}} - \frac{(\ln \frac{D_T}{d_T})^2}{\ln \frac{2h_T}{R_T}}} \quad 4.72$$
$$C_b = \frac{2\pi \cdot \epsilon \cdot L}{\ln \frac{2h \cdot d}{R \cdot D}}$$

#### 4.10.6.2. Bir Koruma İletkenli Çift Hat Sistemi:

Koruma iletkeni şekil 4.44'de görüldüğü gibi faz iletkenlerine simetrik olarak yerleştirilsin. Önce iki hat sisteminden mesala birinci hat sistemini ele alalım. Dört iletkenli bu sistemin, potansiyel denklem sistemi,

$$U_{10} = (a_0 + a_0') \cdot Q_1 + (a_m + a_m') \cdot Q_2 + (a_m + a_m') \cdot Q_3 + a_{Tm} \cdot Q_T$$
$$0 = a_{T1} Q_1 + a_{T2} Q_2 + a_{T3} Q_3 + a_{T1}' Q_1 + a_{T2}' Q_2 + a_{T3}' Q_3 + a_{TT} \cdot Q_T \quad 4.73$$

olur. Potansiyel katsayıları,

$$a_{Tm} = \frac{a_{T1} + a_{T2} + a_{T3}}{3}, \quad a'_{Tm} = \frac{a'_{T1} + a'_{T2} + a'_{T3}}{3}$$

4.74

$$a_{Tm} = a'_{Tm}$$

göz önüne alındığında 4-73 nolu potansiyel denklem sistemi,

$$U_{10} = (a_0 + a'_0) Q_1 + (a_m + a'_m) Q_2 + (a_m + a'_m) Q_3 + a_{Tm} Q_T$$

4.75

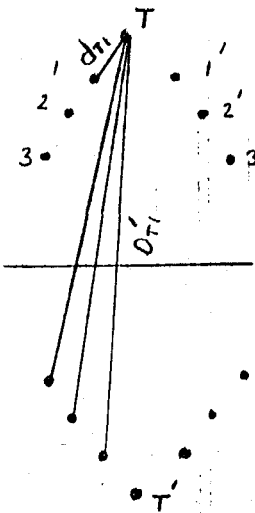
$$0 = 2a_{Tm} Q_1 + 2a_{Tm} Q_2 + 2a_{Tm} Q_3 + a_{TT} Q_T$$

olur. Burada:

$$Q_T = - \frac{2a_{Tm}}{a_{TT}} (Q_1 + Q_2 + Q_3), \quad a_T = \frac{a_{Tm}^2}{a_{TT}}$$

4.76

bağıntıları göz önüne alındığında, 4-75 nolu denklem sistemi,



Şekil 4.44

$$U_{10} = k_{11} Q_1 + k_{12} Q_2 + k_{12} Q_3$$

$$U_{20} = k_{12} Q_1 + k_{11} Q_2 + k_{12} Q_3$$

$$U_{30} = k_{12} Q_1 + k_{12} Q_2 + k_{11} Q_3$$

4.77

$$k_{11} = a_0 + a'_0 - 2a_T$$

$$k_{12} = a_m + a'_m - 2a_T$$

şeklinde üç iletkenli denklem sistemine dönüştürülür.

$$D_T = \sqrt[3]{D_{T1} \cdot D_{T2} \cdot D_{T3}}$$

$$d_T = \sqrt[3]{d_{T1} \cdot d_{T2} \cdot d_{T3}}$$

4.78

$$D'_T = D_T, \quad d_T = d'_T$$

Sistem in kısmi ve işletme kapasiteleri,  $k_{11}$  ve  $k_{12}$ 'nin yukarıda

verilen deęerleri esas alınmak sureti ile 4-56 ve 4-57 nolu baęıntılar yardımı ile hesaplanır. Sistemin etkin kapasitesi,

$$C_E = 2 \frac{l}{(k_{11} + 2k_{12})} = 2 \frac{2\pi \epsilon \cdot l}{(a_0 + 2a_m) + (a_0' - 2a_m') - 3a_T} \quad 4.79$$

baęıntısıyla bulunur. Burada söz konusu ortalama potansiyel kat-sayıları şekil 4.44 yardımı ile,

$$a_0 = \frac{l}{2\pi \epsilon \cdot l} \ln \frac{2h}{R}, \quad a_m = \frac{l}{2\pi \epsilon \cdot l} \ln \frac{D}{d}$$

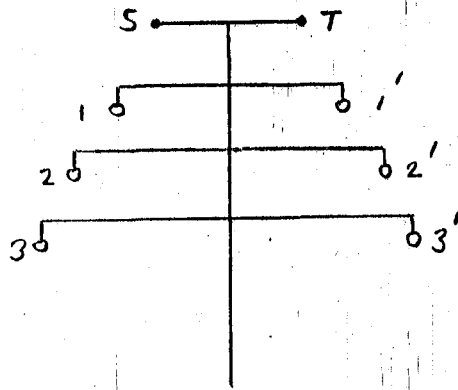
$$a_0' = \frac{l}{2\pi \epsilon \cdot l} \ln \frac{D'}{d''}, \quad a_m' = \frac{l}{2\pi \epsilon \cdot l} \ln \frac{D'}{d'} \quad 4.80$$

$$a_{TT} = \frac{l}{2\pi \epsilon \cdot l} \ln \frac{2h_T}{R_T}, \quad a_{Tm} = \frac{l}{2\pi \epsilon \cdot l} \ln \frac{D_T}{d_T}$$

olur.

#### 4.10.6.3. İki Koruma İletkenli Çift Hat Sistemi:

Şekil 4.45'de görölen iki koruma iletkenli çift hat sisteminde, koruma iletkenlerinin (S,T) direęe nazaran simetrik olarak yerleřtirildięini iarz edelim.



Şekil 4.45

S ve T koruma iletkenlerinin yükleri ile öz ve ortalama potansiyel katsayıları arasında:

$$Q_S = Q_T, \quad a_{SS} = a_{TT}, \quad a_{Sm} = a_{Tm}, \quad a'_{Tm} = a'_{Sm}$$

eşitlikleri göz önüne alındığında söz konusu hattın denklem sistemi,

$$U_{10} = (a_0 + a'_0)Q_1 + (a_m + a'_m)Q_2 + (a_m + a'_m)Q_3 + 2a_{Tm}Q_T \quad 4.81$$

$$0 = 2a_{Tm}(Q_1 + Q_2 + Q_3) + (a_{TS} + a_{TT})Q_T$$

olur. Burada,

$$Q_T = -\frac{2a_{Tm}}{a_{TS} + a_{TT}}(Q_1 + Q_2 + Q_3) \quad 4.82$$

$$Q_T = \frac{2a_{Tm}^2}{a_{TS} + a_{TT}}$$

kısaltmaları göz önüne alındığında 4-81 nolu söz konusu hattın denklem sistemi aşağıdaki gibi üç faz iletkenli bir hattın,

$$U_{10} = k_{11}Q_1 + k_{12}Q_2 + k_{12}Q_3$$

$$U_{20} = k_{12}Q_1 + k_{11}Q_2 + k_{12}Q_3 \quad 4.83$$

$$U_{30} = k_{12}Q_1 + k_{12}Q_2 + k_{11}Q_3$$

$$k_{11} = a_0 + a'_0 - 2a_T, \quad k_{12} = a_m + a'_m - 2a_T$$

denklem sistenime dönüştürülür. Hattın kapasiteleri 4-56 ve 4-57 nolu bağıntılar yardımı ile hesaplanır,

iletim hatlarında işletme kapasitesi  $C_b = 9 \cdot 10^{-9} \text{ F/km}$

toprak telli çift hatta etkin kapasite

$$C_E = 3,5 \cdot 10^{-9} F / km$$

toprak telli çift hat sisteminde faz iletkenleri arasındaki  $C_{ik}$  kapasitesi  $1,8 \cdot 10^{-9} F / km$

arasında ortalama olarak alınabilir.

#### 4.10.7. Demet İletkenlerde Kapasite Hesabı

Çok uzun mesafelere enerji iletiminde ekonomik ve teknolojik sebepler, yüksek gerilimlerin kullanılmasını zorunlu kılar. Çok yüksek gerilimlerde korona olaylarının sebep oldukları yan tesirleri mümkün olduğu kadar müsaade edilebilen sınırların altında tutulabilmesi için enerji iletim hatları buna göre boyutlandırılır.

Korona olayının önüne geçilmesi, ancak iletken yüzeyindeki maksimum alan şiddetinin, korona başlangıç alan şiddetinden küçük tutulması suretiyle olur. Bu da enerji iletim hatlarında ya faz arası açıklıklarının yada iletken yarı çaplarının korona meydana gelmeyecek şekilde büyük seçilmesi suretiyle sağlanır. Bu şekilde hesaplanan iletken yarı çapları, çok yüksek gerilimlerde oldukça büyük değerler alır. Bu durumda bir taraftan lüzumsuz malzeme sarfiyatını önlemek, diğer taraftan tesis ve teknik bakımdan bazı kolaylıklar sağlamak maksadı ile, söz konusu iletkenlerin içi boş iletkenler şeklinde yapılırlar. 400 kv ve bunun üstündeki gerilimlerde ise, bu gibi içi boş iletkenler yerine demet iletkenler kullanılır.

Demet iletkenler aynı fazda birden fazla iletkenin bir eksen etrafında eşit aralıklarla yerleştirilmesi ve kendi aralarında paralel bağlanmaları ile elde edilen iletken gruplarıdır. Demet iletkeni teşkil eden iletkenlere kısmi iletkenler adı verilir.

Demet iletkenler enerji iletiminde avantajlı özelliklere sahiptir. Bu iletkenlerde maksimum olan şiddeti istenilen değere kolaylıkla düşürülebilir. Belli bir alan şiddeti için, tek iletkenli sisteme göre işletme gerilimleri daha yüksektir. Diğer taraftan demet iletkenlerin normal iletkenlere göre kapasitelerininin büyük, endüktanslarınınin küçük olmaları nedeni ile

$$Z = \sqrt{L/C}$$

karakteristik empedansları, normal iletkenlere göre daha küçük olur. Geriliminin yüksek, karakteristik empedansın küçük olması

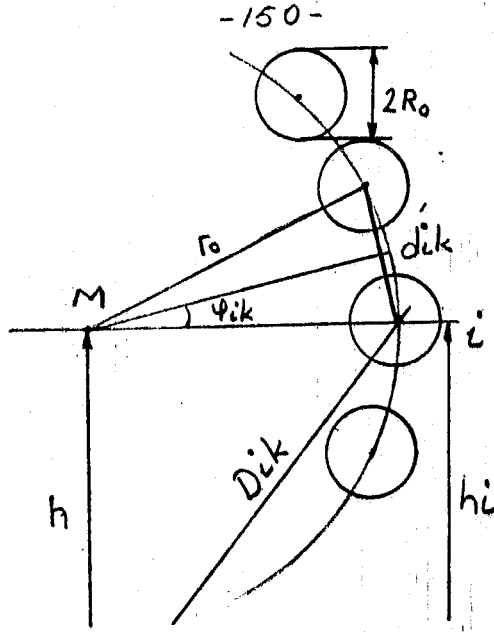
$$N = \frac{U^2}{Z}$$

doğal gücün o oranda büyük olmasını sağlar. Bu avantajları yanında demet iletkenler imal ve tesis bakımından da bir çok kolaylıklar gösterir. Bu bakımdan çok yüksek gerilimlerde demet iletkenlerin kullanılması bir avantaj teşkil eder.

Demet iletkenlerin kapasiteleri, normal olarak potansiyel denklem sistemlerinden gidilerek hesaplanabilir. Fakat demet iletkeni teşkil eden kısmi iletkenlerin sayısınınin büyük olması halinde, hesap işlemleri oldukça uzun zaman alıcı ve yorucu olacağından, esasen tatbikatta karşılaşılan hallerde boyut ölçmelerinde daima belirli bir hata söz konusu olabileceğinden, *yaklaşık* hesap metodu kullanılır. Aşağıda görüleceği üzere yapılacak hesaplarda demet iletkenlerin işletme kapasiteleri ele alınacaktır.

Şekil 4.46'da gösterilen ve yarı çapı  $r_0$  olan bir daire çevresinde eşit aralıklarla çevreselsimetrik tertipte yerleştirilmiş bulunan ve yarı çapları  $R_0$  olan  $n$  sayıda kısmi iletkenin teşekkül eden bir demet iletkenin işletme kapasitesini bulalım.





Şekil 4.46

Kısmi iletkenlerin topraktan olan  $h_i$  yükseklikleri, iletkenler arasındaki  $d_{ik}$  açıklıklarına nazaran oldukça büyük olduğundan, kısmi iletkenlerin ortalama yükseklikleri, yaklaşık olarak demet iletkenin  $h$  ortalama yüksekliğine eşit olarak alınabilir. Bu takdirde kısmi iletkenlerin öz potansiyel katsayıları, yaklaşık olarak,

$$a_{11} \approx a_{22} \approx \dots \approx a_{ii} \approx \frac{1}{2\pi\epsilon \cdot l} \ln \frac{2h}{R_0} \quad 4.84$$

birbirine eşit olur. Kısmi iletkenlerin potansiyelleri, iletkenlerin birbiriyle paralel bağlanmış olmaları nedeni ile birbirine eşit olacağından, demet iletkenin  $Q$  toplam yükünün demet iletkenlerdeki kısmi iletkenlere, eşit olacak şekilde

$$Q_n = \frac{Q}{n}$$

dağılacığı yaklaşık olarak kabul edilebilir. Bu durumda demet iletkenin  $u$  potansiyeli, kısmi iletkenlerden birinin, mesela  $i$ 'ninci iletkenin  $u_i$  potansiyeline eşit olacağına göre demet iletkenin

u potansiyeli, potansiyel denklem sistemine göre,

$$U = U_i = (a_{i1} + a_{i2} + \dots + a_{ii} + a_{in}) \frac{Q}{n} = \frac{Q}{n} \sum_{k=1}^{k=n} a_{ik} \quad 4.85$$

bağıntısı yardımı ile ifade edilebilir. Burada  $a_{ii}$  ve  $a_{ik}$  4.21 nolu bağıntıdaki değerleri göz önüne alındığında, yukardaki ifade:

$$U = \frac{Q}{2\pi\epsilon \cdot L} \ln \frac{\sqrt{2hi \prod_{k=1}^{k=n} D_{ik}}}{\sqrt{R_0 \prod_{k=1}^{k=n} d_{ik}}} \quad 4.86$$

şeklinde yazılabilir. Burada kısmi iletkenler arasındaki  $d_{ik}$  açıklığı, şekil 4.46'dan da görüleceği gibi

$$d_{ik} = 2r_0 \sin \frac{\varphi_{ik}}{2} (k-1) = 2r_0 \sin \frac{\pi}{n} (k-1) \quad 4.87$$

ve dolayısıyla:

$$\prod_{k=1}^{k=n} d_{ik} = (2r_0)^{n-1} \sin \frac{\pi}{n} \cdot \sin \frac{2\pi}{n} \dots \sin \frac{(n-1)\pi}{n} = (2r_0)^{n-1} \cdot \frac{n}{2^{n-1}} = n \cdot r_0^{n-1}$$

olduğundan başlangıçta yapılan kabule göre

$$2hi \approx D_{ik} = 2h$$

alınabileceğinden, demet iletkenin potansiyeli için,

$$U = \frac{Q}{2\pi\epsilon L} \ln \frac{2h}{\sqrt[n]{R_0 \cdot n \cdot r_0^{n-1}}} = \frac{Q}{2\pi\epsilon L} \ln \frac{2h}{R_{en}} \quad 4.88$$

bağıntısı elde edilir. Buradan, demet iletkenin işletme kapasitesi için,

$$C_b = \frac{Q}{U_0} = \frac{2\pi\epsilon L}{L_n \frac{2h}{R_{en}}}$$

4.89

bağıntısı bulunur. Bu bağıntı bize yarı çapı,

$$R_{en} = \sqrt[n]{R_0 \cdot n \cdot r_0^{n-1}} = \sqrt[n]{R_0 \cdot n \left( \frac{d'}{2 \sin \frac{\pi}{n}} \right)^{n-1}}$$

olan düzgün yüzeyle tek bir iletkenin toprak kapasitesini verir. Yarı çapı  $R_{en}$  olan böyle bir iletkene, söz konusu demet iletkenin toprak kapasitesi bakımından eş değeri ve  $R_{en}$  yarı çapında, demet iletkenin toprak kapasitesi bakımından eş değer yarı çapı denir.

Demet iletkenlerin eşdeğer yarı çaplı normal birer iletken gibi ele alınabilmeleri, birden fazla demet iletkenin tesekkül eden normal iletkenli birer sistem gibi ele alınarak yaklaşık olarak hesaplanabileceğini gösterir. Enerji iletiminde demet iletkenler arasındaki ortalama faz açıklıkları, kısmi iletkenler arasındaki açıklıklara nazaran oldukça büyüktür. Bu da bize demet iletkenlerin kapasitelerinin hesaplanmasında yaklaşık hesap metodunun uygulanabileceğini ve normal iletkenli üç fazlı hat sistemleri için bulunan kapasite bağıntılarının demet iletkenli sistemler içinde kullanılabileceğini gösterir.

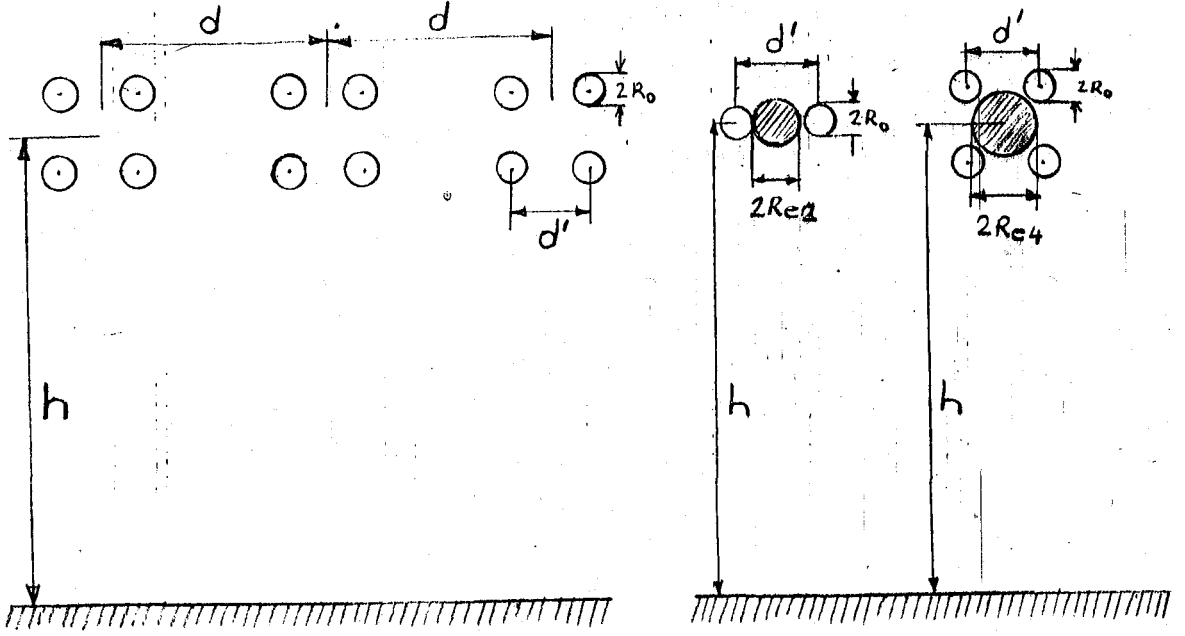
Tatbikatta genellikle ikili, üçlü ve dörtlü demet iletkenler kullanılır. Bunların eşdeğer yarı çapları aşağıdaki bağıntılar yardımı ile verilmiştir.

$$n=2, R_{e2} = \sqrt{R_0 \cdot d'}$$

$$n=3, R_{e3} = \sqrt[3]{R_0 \cdot (d')^2} \quad 4.90$$

$$n=4, R_{e4} = \sqrt[4]{R_0 \cdot (d')^3 \cdot \sqrt{2}}$$

Şekil (4.47 a'da) 4 kısmi iletkenden oluşan demet iletkenli üç fazlı bir hat sisteminin ile şekil 4.47 b'de ikili ve dörtlü demet iletkenin eşdeğer yarı çapları şematik olarak gösterilmiştir.



Şekil 4.47

$$D_0 = 2h \quad \text{ve} \quad d_0 = d \sqrt[3]{2}$$

olduğundan üç fazlı demet iletkenli çaprazlanmış bir hat sisteminin işletme kapasitesi için

$$C_b = \frac{2\pi\epsilon.L}{\ln \frac{d_o}{R_{en}}} = \frac{2\pi\epsilon.L}{\ln \frac{d.\sqrt{2}}{\sqrt[4]{R_o(d_o)^3.\sqrt{2}}}} \quad 4.91$$

bağıntıları yazılabilir. Şekil 4.47 ve 4-90 nolu bağıntıya göre demet iletkenlerin  $R_{en}$  eşdeğer yarı çapları, kısmi iletkenler arasındaki  $(d')$  açıklığa ve bunların  $(R_o)$  yarı çapına, kısmi iletken  $(n)$  sayısına bağlıdır.

## 5. Projeler

Bu kısımda direk tipi, direk boyutları ile 154-380 kv'luk enerji iletim hatlarında kullanılan direklerin çeşitli sistemlere göre parametreleri verilmiş, bunlara ait örnek problemler yapılmıştır. Tablo 5.1'de taşıyıcı direklerin boyutları, tablo 5.2'de çeşitli sistemlere göre parametreler, şekil 5.1 ve şekil 5.2'de de örnek problemlerde kullanılan direk tipleri görülmektedir.

## TAŞIYICI DİREKLERİN BOYUTLARI

DİREK ADI	D1 [m]	D2 [m]	D3 [m]	D [m]	DT [m]	DB [m]	BİZ [m]	H1 [m]	H2 [m]	T [m]	H [m]	DİR. TİPİ
4A1	—	—	—	8,7	11,962	0,457	4,26	—	—	3,5	32,295	3
A	—	—	—	9,0	13,89	0,4	4,0	—	—	3,55	28,0	3
T	6,4	8,2	7	—	—	—	2,20	4,15	4,15	3,15	17,9	2
TA	6,4	8,2	7	—	—	—	2,20	4,15	4,15	3,15	18,7	2
E	7,6	9,6	8,2	—	—	—	2,20	4,1	4,1	5,45	17,15	2
G	8,52	10,68	8,52	—	—	—	2,20	4,64	4,19	5,18	19,14	2
N	7,4	9,2	8	—	—	—	2,20	4,2	4,2	4,1	19,3	2
A	10,8	13,08	10,8	—	—	—	2,20	4,49	4,04	5,79	16,95	2
N1	6,6	9,2	7,2	—	—	—	2,20	4,1	4,1	3,3	19,3	2
TA1	6,4	8,8	7	—	—	—	2,20	4,15	4,15	3,15	18,7	2
E1	7,6	10,2	8,2	—	—	—	2,20	4,1	4,1	5,45	17,15	2
T Çukuro.	7	8,2	7,4	—	—	—	2,20	4,15	4,15	3,15	20,72	2
S1 Çuk.ova	5	6	5	—	—	—	1,20	2,5	2,5	2	16,3	2
A2	—	—	—	6,8	8,9	—	2,20	—	—	1,7	20,6	3
AS	—	—	—	6,7	8,7	—	2,20	—	—	1,7	19,3	3
A1	—	—	—	5,9	7,2	—	2,20	—	—	1,7	19,3	3
AA	—	—	—	6,7	8,7	—	2,20	—	—	1,7	19,3	3
A	—	—	—	5,9	7,5	—	2,20	—	—	1,7	19,3	3
S	—	—	—	6,1	7,3	—	2,20	—	—	1,9	17,9	3
S1	—	—	—	6,85	8,2	—	2,20	—	—	2,35	18,8	3
D	—	—	—	7	7	—	2,20	—	—	3,88	18,9	3
T Çukova	—	—	—	5,9	7,2	—	2,20	—	—	1,7	20,75	3

Tablo-5-1.

380 KV LUK HATLARDA KULLANILAN DİREKLERİN PARAMETRELERİ

O M I K D E Ğ E R L E R

(+) ve (-) BİLEŞEN

SIFIR BİLEŞEN

DİREK TİPİ	KESİT MCM	R OHM/KM	X OHM/KM	Y UMHO/KM	RO OHM/KM	XO OHM/KM	YO UMHO/KM
4A	954.0	0.0353	0.3162	3.54742	0.1851	1.0625	1.5766
	900.0	0.0374	0.3172	3.53684	0.1966	1.0656	1.5718
	874.5	0.0386	0.3177	3.53128	0.2027	1.0573	1.5695
A	954.0	0.0353	0.3221	3.48188	0.1851	1.0821	1.5475
	900.0	0.0374	0.3230	3.47150	0.1966	1.0852	1.5429
	874.5	0.0386	0.3235	3.46633	0.2027	1.0869	1.5406

Tablo 5-2



154 KV LUK ÇİFT DEVRE HATLARIN PARAMETRELERİ

OMİK DEĞERLER

( ) VE ( - ) BİLEŞEN

SIFIR BİLEŞEN

DİREK TİPİ	KESİT MCM	R OHM/KM	X OHM/KM	Y UMHO/KM	RO OHM/KM	XO OHM/KM	YO UMHO/KM
T	795.0	0.0826	0.4017	2.82682	0.3179	1.3499	0.69626
	477.0	0.1375	0.4171	2.72037	0.5293	1.4013	0.67004
	336.0	0.1948	0.4279	2.64946	0.7500	1.4376	0.65258
	266.0	0.2454	0.4353	2.60290	0.9449	1.4627	0.64111
TA	795.0	0.0826	0.4017	2.82682	0.3179	1.3499	0.69626
	477.0	0.1375	0.4171	2.72037	0.5293	1.4013	0.67004
	336.0	0.1948	0.4279	2.64946	0.7500	1.4376	0.65258
	266.0	0.2454	0.4353	2.60290	0.9449	1.4627	0.64111
E	795.0	0.0826	0.3976	2.85741	0.3179	1.3359	0.70380
	477.0	0.1375	0.4129	2.74869	0.5293	1.3873	0.67702
	336.0	0.1948	0.4237	2.67631	0.7500	1.4236	0.65919
	266.0	0.2454	0.4312	2.62882	0.9449	1.4487	0.64749
G	795.0	0.0826	0.4024	2.82226	0.3179	1.3520	0.69514
	477.0	0.1375	0.4177	2.71615	0.5293	1.4034	0.66900
	336.0	0.1948	0.4285	2.64545	0.7500	1.4397	0.65159
	266.0	0.2454	0.4359	2.59904	0.9449	1.4648	0.64016
N	795.0	0.0826	0.3999	2.84060	0.3179	1.3435	0.69966
	477.0	0.1375	0.4152	2.73314	0.5293	1.3950	0.67319
	336.0	0.1948	0.4260	2.66156	0.7500	1.4313	0.65556
	266.0	0.2454	0.4334	2.61459	0.9449	1.4563	0.64399
A	795.0	0.0826	0.3963	2.86704	0.3179	1.3316	0.70617
	477.0	0.1375	0.4116	2.75760	0.5293	1.3830	0.67921
	336.0	0.1948	0.4224	2.68476	0.7500	1.4193	0.66127
	266.0	0.2454	0.4299	2.63697	0.9449	1.4443	0.64950

Tablo 5-2

154 KV LUK ÇİFT DEVRE HATYARIN PARAMETRELERİ

OMİK DEĞERLERİ

DİREK TİPİ	KESİT MCM	(+) VE (-) BİLEŞEN			SIFIR BİLEŞEN		
		R OHM/KM	X OHM/KM	<del>Z</del> Z OMHO/KM	RO OHM/KM	XO OHM/KM	YO OMHO/KM
NI	795.0	0.0826	0.4008	2.83397	0.3179	1.3466	0.69802
	477.0	0.1375	0.4161	2.72700	0.5293	1.3980	0.67167
	336.4	0.1948	0.4269	2.65574	0.7500	1.4343	0.65412
	266.8	0.2454	0.4343	2.60897	0.9449	1.4594	0.64260
TAI	795.0	0.0826	0.4022	2.82378	0.3179	1.3513	0.69551
	477.0	0.1375	0.4175	2.71756	0.5293	1.4027	0.66935
	336.4	0.1948	0.4283	2.64678	0.7500	1.4390	0.65192
	266.8	0.2454	0.4357	2.60033	0.9449	1.4641	0.64047
BI	795.0	0.0825	0.3982	2.85298	0.3179	1.3379	0.70270
	477.0	0.1375	0.4135	2.74460	0.5293	1.3893	0.67601
	336.4	0.1948	0.4243	2.67243	0.7500	1.4256	0.65823
	266.8	0.2454	0.4318	2.62507	0.9449	1.4507	0.64657
TCU	795.0	0.0825	0.4000	2.83956	0.3179	1.3440	0.69940
	477.0	0.1375	0.4153	2.73218	0.5293	1.3955	0.67295
	336.4	0.1948	0.4261	2.66065	0.7500	1.4317	0.65533
	266.8	0.2454	0.4336	2.61371	0.9449	1.4568	0.64377
STC	795.0	0.0825	0.3658	2.11519	0.3179	1.2290	0.76729
	477.0	0.1375	0.3811	2.98641	0.5293	1.2805	0.73557
	336.4	0.1948	0.3919	2.90116	0.7500	1.3167	0.71457
	266.8	0.2454	0.3994	2.84544	0.9449	1.3418	0.70085

Tablo 5-2

-159-

154 KV LUK DEVRE HATLARIN PARAMETRELERİ

OM K K DEĞERLER

(+)VE (-) BİLEŞEN

SIFIR BİLEŞEN

DİREK TİPİ	KESİT MM <sup>2</sup>	R OHM/KM	X OHM/KM	X OMHO/KM	RO OHM/KM	XO OHM/KM	YO OMHO/KM
AZ	795.0	0.0826	0.4168	2.72127	0.2585	1.1879	1.26571
	477.0	0.1375	0.4221	2.62249	0.4303	1.2316	1.21976
	336.4	0.1948	0.4429	2.55652	0.6098	1.2623	1.18908
	266.8	0.2454	0.4504	2.51315	0.7682	1.2836	1.16891
AS	795.0	0.0826	0.4204	2.69728	0.2585	1.1982	1.25455
	477.0	0.1375	0.4357	2.60020	0.4303	1.2418	1.20940
	336.4	0.1943	0.4465	2.53533	0.6098	1.2726	1.17922
	266.8	0.2454	0.4540	2.49267	0.7682	1.2938	1.15938
AI	795.0	0.0826	0.4079	2.78274	0.2585	1.1625 <sup>2062</sup>	1.29430
	477.0	0.1375	0.4232	2.67953	0.4303	1.2062	1.24629
	336.4	0.1948	0.4340	2.61070	0.6098	1.2369	1.21428
	266.8	0.2454	0.4415	2.56549	0.7682	1.2582	1.19325
AA	795.0	0.0826	0.4159	2.72756	0.2585	1.1853	1.26863
	477.0	0.1375	0.4312	2.62832	0.4303	1.2289	1.22248
	336.4	0.1948	0.4420	2.56207	0.6098	1.2597	1.19166
	266.8	0.2454	0.4495	2.51851	0.7682	1.2809	1.17140
A	795.0	0.0826	0.4079	2.78274	0.2585	1.1625	1.29430
	477.0	0.1375	0.4232	2.67953	0.4303	1.2062	1.24629
	336.4	0.1948	0.4340	2.61070	0.6098	1.2369	1.21428
	266.8	0.2454	0.4415	2.56549	0.7682	1.2582	1.19325
S	795.0	0.0826	0.4100	2.76806	0.2585	1.1685	1.28747
	477.0	0.1375	0.4253	2.66591	0.4303	1.2121	1.23996
	336.4	0.1948	0.4361	2.59777	0.6098	1.2429	1.20827
	266.8	0.2454	0.4436	2.55300	0.7682	1.2642	1.18744

-160-

154 KV LUK TEK DEVRE HATLARIN PARAMETRELERİ

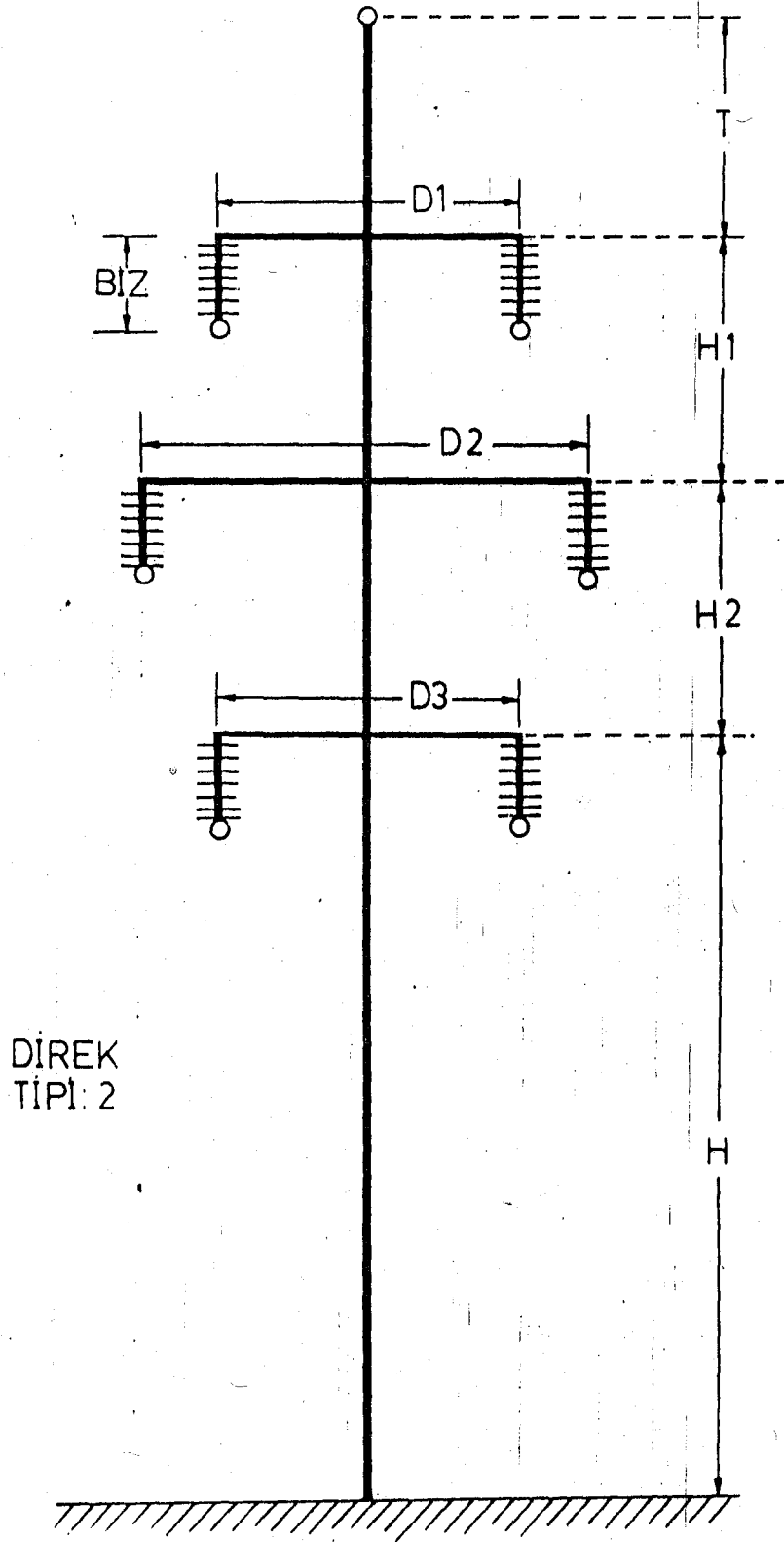
O M I K D E Ğ E R L E R

(+) VE (-) BİLESEN

SIFIR BİLESEN

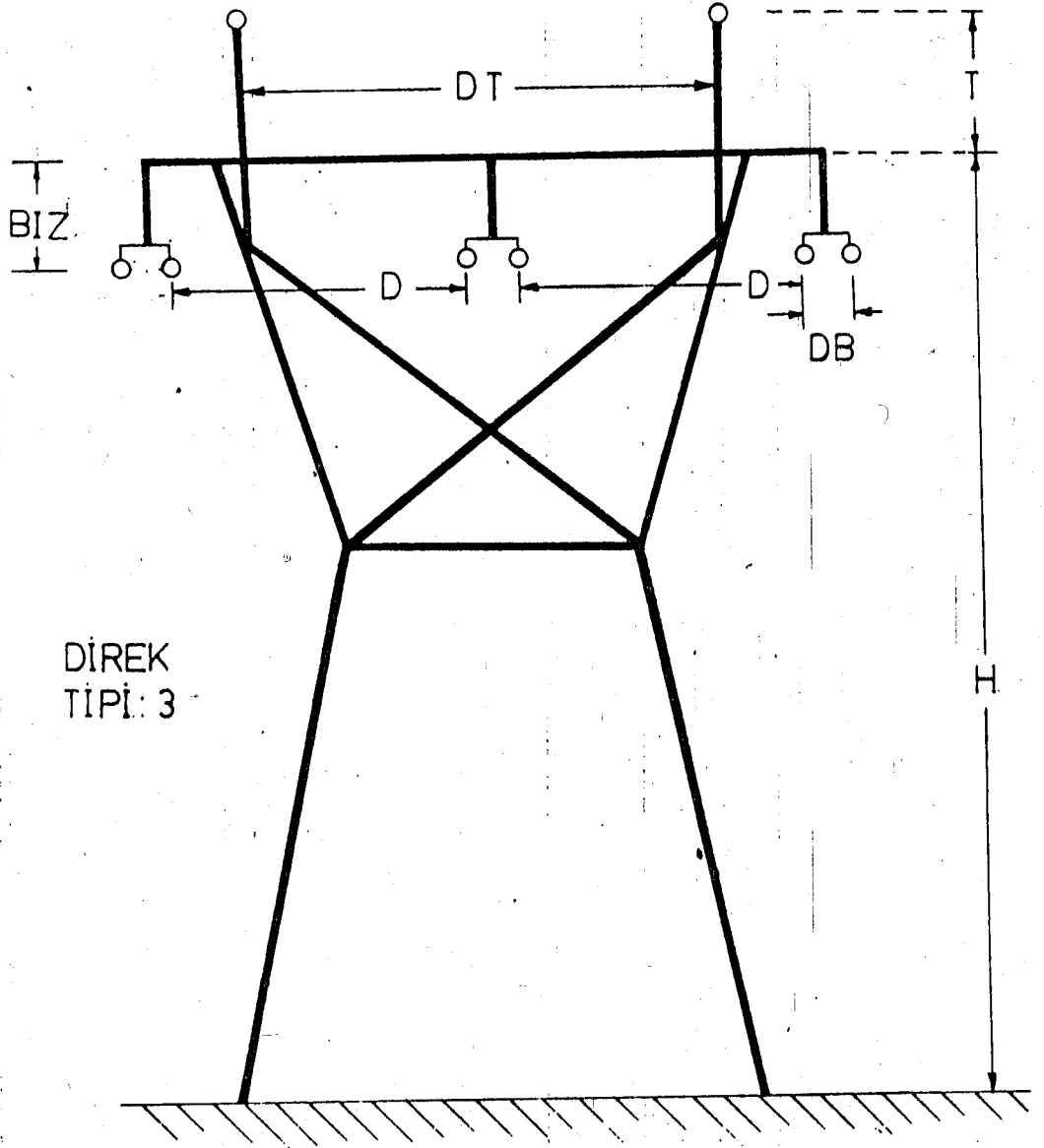
DİREK TİPİ	KESİT MCM	R OHM/KM	X OHM/KM	Y UMHO/KM	RO OHM/KM	X0 OHM/KM	YO UMHO/KM
SI	795.0	0.0826	0.4173	2.71817	0.2585	1.1892	1.26426
	477.0	0.1375	0.4326	2.61961	0.4303	1.2329	1.21842
	336.4	0.1948	0.4434	2.55378	0.6098	1.2636	1.18781
	266.8	0.2454	0.4508	2.51051	0.7682	1.2849	1.16768
D	795.0	0.0826	0.4186	2.70905	0.2585	1.1931	1.26002
	477.0	0.1375	0.4339	2.61114	0.4303	1.2368	1.21448
	336.4	0.1948	0.4447	2.54573	0.6098	1.2675	1.18406
	266.8	0.2454	0.4522	2.50272	0.7682	1.2888	1.16406
TCU	795.0	0.0826	0.4079	2.78274	0.2585	1.1625	1.29430
	477.0	0.1375	0.4232	2.67953	0.4303	1.2062	1.24629
	336.4	0.1948	0.4340	2.61070	0.6098	1.2369	1.21428
	266.8	0.2454	0.4415	2.56549	0.7682	1.2582	1.19325

Tablo s- 2



DİREK  
TİPİ: 2

Şekil-5.1



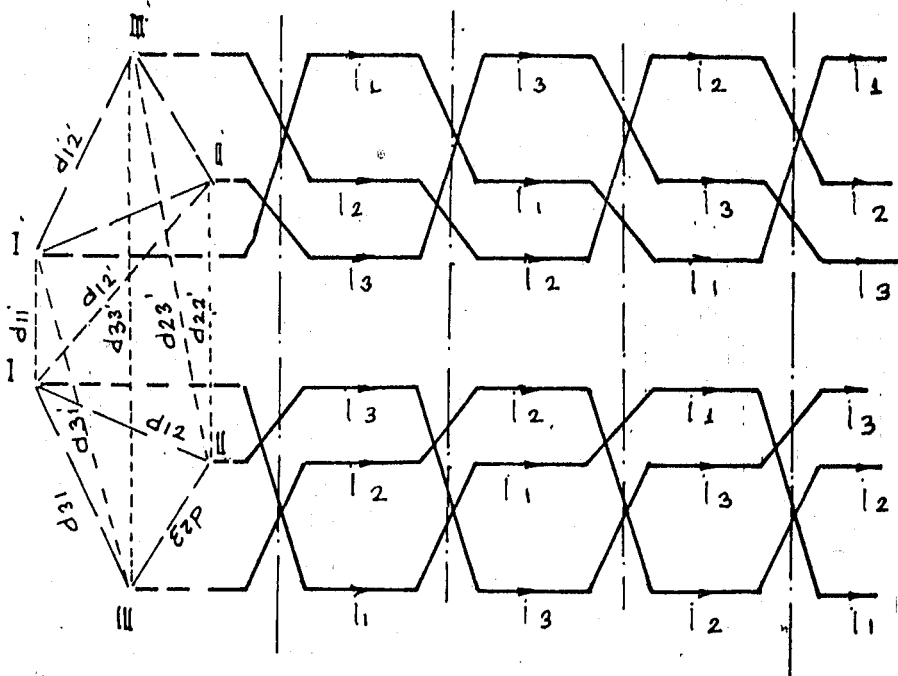
Şekil-6-2

### 5.15 ÖRNEK HESAPLAMALAR

Örnek-14 154 kV tam çaprazlanmış çift devre enerji iletim hattinin kilometre başına selfi

Veriler : Direk tipi: 2  
Direk adı : T

$D_1 = 6,4 \text{ m}$	$D_2 = 8,2 \text{ m}$	$D_3 = 7 \text{ m}$
$BIZ = 2,2 \text{ m}$	$H_1 = 4,15 \text{ m}$	$H_2 = 4,15 \text{ m}$
$T = 3,15 \text{ m}$	$H = 17,9 \text{ m}$	
$S = 795 \text{ mm}$	$R = 15,9077 \text{ mm} = 15,9077 \cdot 10^{-3} \text{ m}$	



Şekil-5-3.

$$\begin{aligned} d_{12} &= 4,246491 \text{ m}, & d_{12}' &= 8,3971721 \text{ m}, \\ d_{23} &= 4,1931492 \text{ m}, & d_{23}' &= 8,6592436 \text{ m}, \\ d_{31} &= 8,3054199 \text{ m}, & d_{31}' &= 10,666771 \text{ m}, \end{aligned}$$

$$\begin{aligned} d &= \sqrt[3]{d_{12} d_{23} d_{31}} & d' &= \sqrt[3]{d_{12}' d_{23}' d_{31}'} \\ d &= 5,2882345 \text{ m} & d' &= 9,1878803 \text{ m} \end{aligned}$$

$$\begin{aligned} d_{11}' &= 6,4 \text{ m}, \\ d_{22}' &= 8,2 \text{ m}, \\ d_{33}' &= 7 \text{ m}, \end{aligned}$$

$$\begin{aligned} d'' &= \sqrt[3]{d_{11}' d_{22}' d_{33}'} \\ d'' &= 7,1619381 \end{aligned}$$





$$d_{12} = 9,04 \text{ m}$$

$$d_{23} = 9,04 \text{ m}$$

$$d_{31} = 18,08 \text{ m}$$

$$d = \sqrt[3]{d_{12} d_{23} d_{31}}$$

$$d = 11,389686 \text{ m}$$

$$L = \frac{\mu_0}{2\pi} \left[ \ln \frac{d}{R} + \frac{1}{4} \right],$$

$\mu_0 = 4 \cdot \pi \cdot 10^{-4} \text{ H/km}$  olduğundan

$$L = 2 \left[ \ln \frac{d}{R} + \frac{1}{4} \right] \cdot 10^{-4} \text{ H/km}$$

$$L = 2 \left[ \ln \frac{11,389686}{17,42 \cdot 10^{-3}} + 0,25 \right] \cdot 10^{-4} \text{ H/km}$$

$$L = 0,00134656 \text{ H/km}$$

$$X_L = 2 \cdot \pi \cdot f \cdot L$$

$$X_L = 2 \cdot 3,14 \cdot 50 \cdot 0,00134656$$

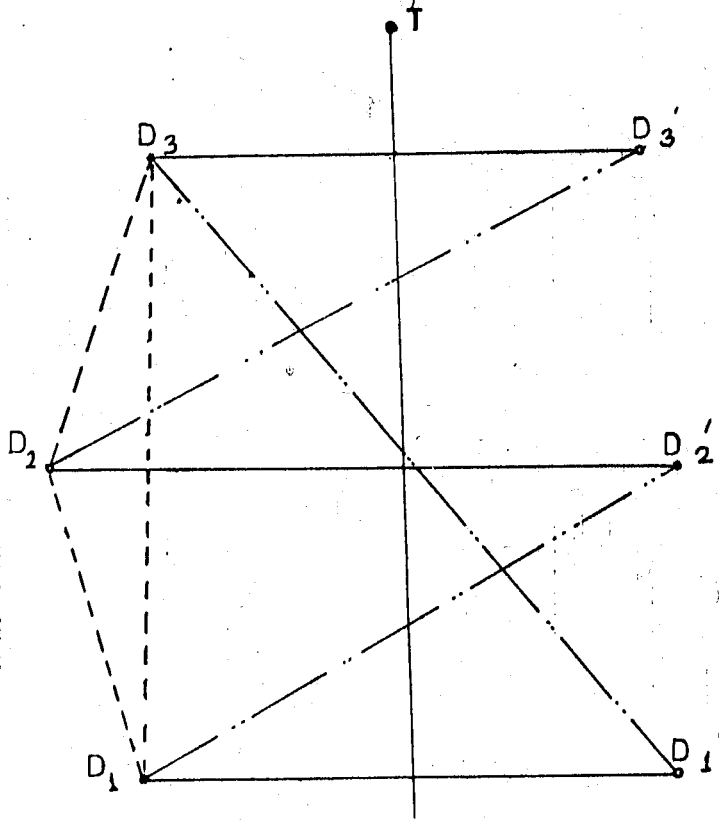
$$X_L = 0,4228 \text{ H/km}$$

Örnek-3- 154 kV uç fazlı çift hat tek koruma iletkenli hat sisteminin işletme kapasitesini bulalım

Veriler: Direk tipi : 2

Direk adı : T

$D_1 = 6,4 \text{ m}$	$D_2 = 8,2 \text{ m}$	$D_3 = 7 \text{ m}$
$BIZ = 2,2 \text{ m}$	$H_1 = 4,15 \text{ m}$	$H_2 = 4,15 \text{ m}$
$T = 3,15 \text{ m}$	$H = 17,9 \text{ m}$	$H_T = 29,35 \text{ m}$
$S = 795 \text{ mm}$	$R = 15,9077 \text{ mm} = 15,9077 \cdot 10^{-3} \text{ m}$	
$L = 100 \text{ km}$	$R_T = 11,13 \text{ mm} = 11,13 \cdot 10^{-3} \text{ m}$	



Şekil-5.5

$$d_{12} = 4,246491 \text{ m},$$
$$d_{23} = 4,1931492 \text{ m},$$
$$d_{31} = 8,3054199 \text{ m},$$

$$d_{23'} = 8,3971721 \text{ m},$$
$$d_{12'} = 8,6592436 \text{ m},$$
$$d_{31'} = 80,666771 \text{ m},$$

$$d_{11'} = 6,4 \text{ m},$$
$$d_{22'} = 8,2 \text{ m},$$
$$d_{33'} = 7 \text{ m},$$

$$d = \sqrt[3]{d_{12} \cdot d_{23} \cdot d_{31}}$$

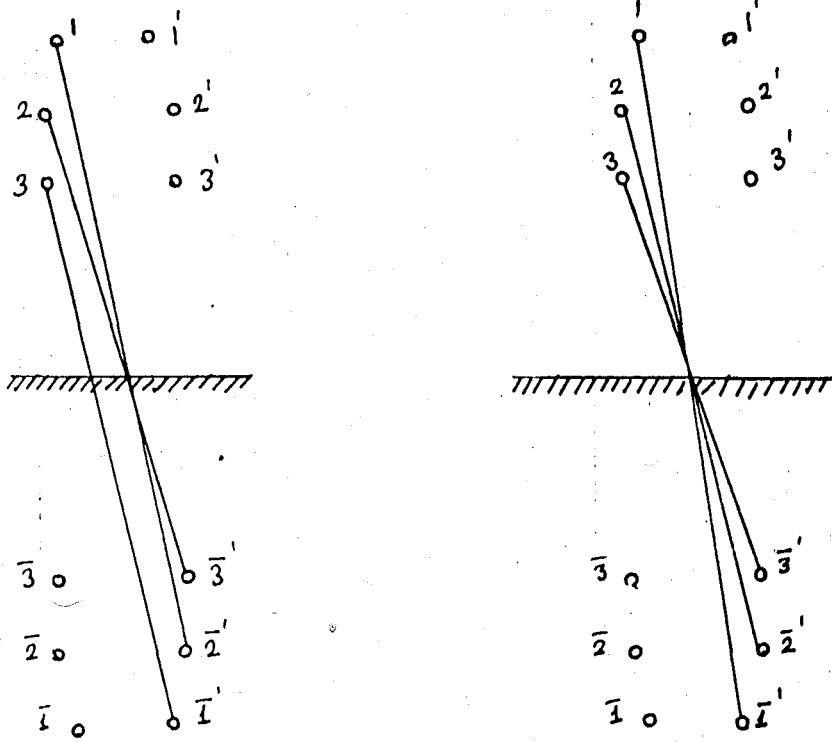
$$d' = \sqrt[3]{d_{12'} \cdot d_{23'} \cdot d_{31'}}$$

$$d'' = \sqrt[3]{d_{11'} \cdot d_{22'} \cdot d_{33'}}$$

$$d = 5,2882345 \text{ m}$$

$$d' = 9,1878803 \text{ m}$$

$$d'' = 7,1619391 \text{ m}$$



Şekil-5-6

$$D_{11} = 47,139288 \text{ m}$$

$$D_{21} = 36,353301 \text{ m}$$

$$D_{31} = 40,261396 \text{ m}$$

$$D_{11}' = 48,424787 \text{ m}$$

$$D_{21}' = 40,538007 \text{ m}$$

$$D_{31}' = 32,170794 \text{ m}$$

$$D_0' = \sqrt[3]{D_{12}' \cdot D_{23}' \cdot D_{31}'}$$

$$D_0'' = 41,014608 \text{ m}$$

$$D_0''' = \sqrt[3]{D_{11}' \cdot D_{21}' \cdot D_{31}'}$$

$$D_0'''' = 39,822694 \text{ m}$$

Farklı yüksekliklerdeki iletkenlerin ortalama yüksekliğini bulalım.

$$h_1 = 24 \text{ m}$$

$$h_2 = 19,85 \text{ m}$$

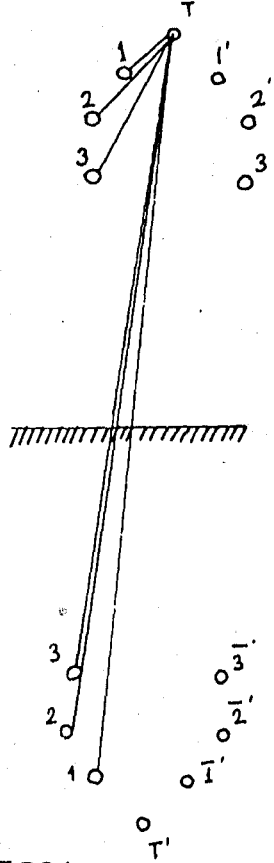
$$h_3 = 15,7 \text{ m}$$

$$h = \sqrt[3]{h_1 \cdot h_2 \cdot h_3}$$

$$h = 19,55647 \text{ m}$$

$$h_0 \approx h$$

Hat iletkenlerinin koruma iletkenine olan ortalama uzaklıkları ve hat iletkenlerinin toprağa karşı simetrilerinin koruma iletkenine olan ortalama uzaklıklarını bulalım.



Şekil-5.7

$$D_{T_1} = 53,445884 \text{ m}$$
$$D_{T_2} = 49,370538 \text{ m}$$
$$D_{T_3} = 45,185755 \text{ m}$$

$$d_{T_1} = 6,2339795 \text{ m}$$
$$d_{T_2} = 10,34698 \text{ m}$$
$$d_{T_3} = 14,091575 \text{ m}$$

$$D_{T_0} = \sqrt{D_{T_1} \cdot D_{T_2} \cdot D_{T_3}}$$

$$d_{T_0} = \sqrt[3]{d_{T_1} \cdot d_{T_2} \cdot d_{T_3}}$$

$$D_{T_0} = 49,218445 \text{ m}$$

$$d_{T_0} = 9,6867816 \text{ m}$$

Hesaplanan bu değerlerden sonra, ( 2 -148.a,b,c ) bağıntılarından sistemin kısmi kapasiteleri ve işletme kapasitesi  $A_{11}$  ve  $A_{12}$  nin değerleri esas alınmak sureti ile faz iletkenlerinin toprağa karşı etkin kapasitesi için  $a_0$ ,  $a_m$  birinci hat sisteminin ve  $a_0'$ ,  $a_m'$  ise, ikinci hat sisteminin birinci hat sistemine yaptığı tesiri gösteren ortalama potansiyel katsayıları aşağıda verilmiştir.

$$a_o = \frac{1}{2\pi\epsilon l} \ln \frac{2 h_o}{R} = 1,8 \cdot 10^5 \ln \frac{2 \cdot 19,57}{15,07 \cdot 10^3} = 1415070,7 \text{ F}^{-1}$$

$$a_m = \frac{1}{2\pi\epsilon l} \ln \frac{D_o}{d_o}$$

Burada  $\left(\frac{d}{2h}\right) \ll 1$  olduğundan  $h_o \approx h$ ,  $D_o = 2h$ ,  $D_{10} = h + h_r$  alınır

$$a_m = \frac{1}{2\pi\epsilon l} \ln \frac{2h}{d_o} = 1,8 \cdot 10^5 \ln \frac{2 \cdot 19,57}{5,28823} = 360173,8 \text{ F}^{-1}$$

$$a_o' = \frac{1}{2\pi\epsilon l} \ln \frac{D_o'}{d_o'} = 1,8 \cdot 10^5 \ln \frac{41,015}{7,1620} = 314126,74 \text{ F}^{-1}$$

$$a_m' = \frac{1}{2\pi\epsilon l} \ln \frac{D_o'}{d_o'} = 1,8 \cdot 10^5 \ln \frac{41,015}{9,1879} = 269289,08 \text{ F}^{-1}$$

$$a_{TT} = \frac{1}{2\pi\epsilon l} \ln \frac{2 h_r}{R_T} = 1,8 \cdot 10^5 \ln \frac{2 \cdot 29,35}{11,13 \cdot 10^3} = 1542699,2 \text{ F}^{-1}$$

$$a_{Tm} = \frac{1}{2\pi\epsilon l} \ln \frac{D_{10}}{d_{T0}} = 1,8 \cdot 10^5 \ln \frac{49,2184}{9,6868} = 292590,62 \text{ F}^{-1}$$

$$a_{Tm}^2 = 8,561 \cdot 10^{10}, \quad a_T = \frac{a_{Tm}^2}{a_{TT}} = 55493,168 \text{ F}^{-1}$$

Faz iletkenlerinin toprağa karşı etkin kapasitesi

$$C_E = 2 \frac{1}{(A_{11} + 2A_{12})} = 2 \frac{2\pi\epsilon l}{(a_o + 2a_m) + (a_o + 2a_m) - 3 a_T}$$

$$C_E = \frac{1}{(1415070 + 2 \cdot 363173,8) + (314126,7 + 2 \cdot 269289) - 3 \cdot 55493,168} \cdot 1,11212 \cdot 10$$

$$C_E = 3,9414 \cdot 10^{-9} \text{ F/m}$$

$$C_E = 3,9414 \cdot 10^{-9} \text{ F/km}$$

Üç fazlı tek koruma iletkenli hatta iletkenler arası kısmi kapasite

$$C_{12} = C_{23} = C_{31} = 2 \frac{A_{12}}{(A_{11} - A_{12})(A_{11} + 2A_{12})}$$

$$A_{11} = a_o + a_o' - 2a_r$$

$$A_{11} = 1415070,7 + 314126,74 - 2.55493,168$$

$$A_{11} = 1729197,4 - 110986,34$$

$$A_{11} = 1618211,1 \text{ F}^{-1}$$

$$A_{12} = a_m + a_m' - 2a_r$$

$$A_{12} = 360173,8 + 269289,08 - 2.55493,168$$

$$A_{12} = 629462,88 - 110986,34$$

$$A_{12} = 518476,54 \text{ F}^{-1}$$

$$C_{12} = 2 \frac{518476,54}{(1618211,1 - 518476,54)(1618211,1 + 2.518476,54)}$$

$$C_{12} = C_{23} = C_{31} = 3,551239 \cdot 10^{-7} \text{ F}$$

Bu bulunan  $C_{12}$  iletkenler arası kısmi kapasite çift hat sistemine göre ve 100 km uzunluğundaki hatta göre yapıldığından, bu hattın, bir hat sistemine göre ve kilometre başına iletkenler arası kısmi kapasitesi

$$C_{12} = 1,7756195 \cdot 10^{-9} \text{ F/km}$$

olarak bulunur.

Bu üç fazlı tek koruma iletkenli çift hat sisteminin işletme kapasitesi de

$$C_b = 2 \frac{1}{A_{11} - A_{12}} = 2 \frac{1}{(a_o - a_m)(a_o' - a_m')}$$

$A_{11}$  ve  $A_{12}$  'yi iletkenler arası kısmi kapasite hesabında daha önce bulmuştuk. Buna göre  $C_b$  işletme kapasitesi,

$$C_B = \frac{2}{1618211,1 - 518476,54}$$

$$C_b = 1,8186207 \cdot 10^{-6} \text{ F}$$

Bu  $C_b$  işletme kapasitesini biz çift hat tek koruma iletkenli 100 km'lik hat için bulduk. Bu işletme kapasitesinin çift hat sisteminin bir hattına düşen ve kilometre başına değerini bulalım.

$\frac{C_b}{2 \cdot 100}$  oranı bize kilometre başına işletme kapasitesini verecektir. Bu değer

$$C_b = 9,0931033 \cdot 10^{-9} \text{ F/km}$$

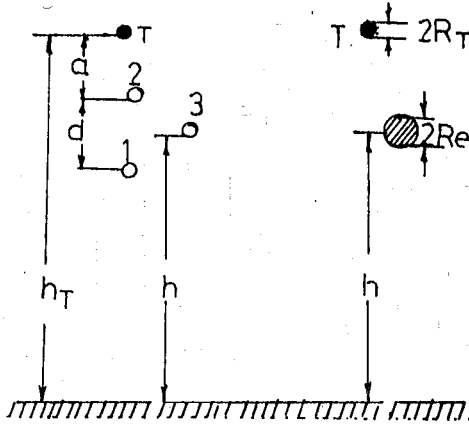
dir.

Örnek-4- Şekil-5.8 de verilen ve eşit kenarlı üçgen şekilde yerleştirilmiş üç fazlı hat sisteminin koruma iletkenli ve iletkenli durumda faz iletkenlerinin toprak kapasiteleri bulunacak ve koruma iletkeninin etkisi hesaplanacaktır.

Hattın geometrik boyutları:

$$l = 1 \text{ km}, \quad R = 5 \text{ mm}, \quad R_T = 3,5 \text{ mm}, \quad a = 50 \text{ cm}$$
$$d = 100 \text{ cm}, \quad h = 10 \text{ m}, \quad h_T = 11 \text{ m}.$$

Bu arada  $d_T \cong d_{T0} = 104 \text{ cm}$  bulunmuştur.



Şekil-5.8

Burada  $(d/2h)^2 \ll 1$  olduğundan, yaklaşık olarak,

$$h_o \cong h, \quad D_o \cong 2h, \quad D_{ro} \cong h + h_r$$

kabul edilecek ve yaklaşık ifadeler kullanılacaktır. Buna göre,

- a. Koruma iletkensiz durumda  
Toprak kısmi kapasitesi

$$C_o = C_{10} \cong C_{20} \cong C_{30} = \frac{2\pi\epsilon l}{3 \ln \frac{2 \cdot h}{\sqrt{R \cdot d}}} \cong 3,88 \cdot 10^{-9} \text{ F}$$

- b. Koruma iletkenli durumda

Faz iletkenlerinin toprağa karşı etkin kapasitesi, diğer bir deyimle bileşke kapasitesi

$$C_E = \frac{2\pi\epsilon l}{3 \left[ \ln \frac{2h}{\sqrt[3]{R d^2}} - \frac{\left( \ln \frac{h + h_r}{d} \right)^2}{\ln \frac{2h_r}{R_r}} \right]} = 4,96 \cdot 10^{-9} \text{ F}$$

olarak bulunur.



## 6. Sonuç

Örnek problemlerde bulunan sonuçlar teorik ve yaklaşık değerlerdir. Bu nedenle pratik ölçmelerle bulunan değerlerden farklı olacaktır. Bu farklılık belirli bir hata sınırı içinde kaldığından, pratik olarak kabul edilebilir, değerlerdir. Hesaplamalar yolu ile bulunan bu değerler TEK'nun ölçü sonucu bulunan değerleri ile karşılaştırıldığında hatanın %10'nun altında kaldığı görülmüştür.

Eğer sonuçların daha gerçekçi değerler olması istenirse, burada kullandığımız yaklaşık hesap metodu yerine kesin hesap metodunun kullanılması gerekir. Bu hesap metodu uzun zaman alıcı ve yorucu bir çalışma gerektireceği aşikardır.

**Tesim Hazırlanmasında Faydalanılan Kaynaklar:**

- 1- Elektroteknik (1) prof. y. müh. Adnan Ergeneli  
İstanbul Devlet Mühendislik ve Mimarlık Akademisi  
Yayımları Sayı: 85/1
- 2- Elektroteknik Prof. y. Müh. Ahmet Akhualar  
İ.T.Ü. Mühendislik- Mimarlık fakültesi Sayı:104
- 3- Analitik ve Denel Fizik Cilt:III  
Deniz kuvvetleri komutanlığı Dİ 1160-M/M.H.O
- 4- Üniversite Fizigi çeviren Prof. Nusret Kürkçüoğlu  
İ.T.Ü. Maden Fakültesi Sayı:804
- 5- Yüksek gerilim Tekniği Cilt 1  
Prof İzzet Gönenç  
İ.T.Ü. Elektrik fakültesi Sayı:1085
- 6- Elektrik santralları ve şebekeleri  
Çeviren Prof. Dr. Mustafa Bayram  
İ.T.Ü. Elektrik Fakültesi Sayı: 1159
- 7- Orta Gerilim Şebekeleri 1. Kısım  
Prof. Mehmet İnan  
İ.T.Ü. Elektrik Fakültesi Sayı:1163